

Bachelorthesis

Simon Karl Eduard Rindelaub

Signalverarbeitung für magnetoresistive
Sensor-Arrays mit Controller und
Einplatinen-Computer

Simon Karl Eduard Rindelaub
Signalverarbeitung für magnetoresistive
Sensor-Arrays mit Controller und
Einplatinen-Computer

Bachelorarbeit eingereicht im Rahmen der Bachelorprüfung
im Studiengang Informations- und Elektrotechnik
am Department Informations- und Elektrotechnik
der Fakultät Technik und Informatik
der Hochschule für Angewandte Wissenschaften Hamburg

Betreuender Prüfer: Prof. Dr.-Ing. Karl-Ragmar Riemschneider
Zweitgutachter: Prof. Dr. Klaus Jünemann

Abgegeben am 26. September 2018

Simon Karl Eduard Rindelaub

Thema der Bachelorarbeit

Signalverarbeitung für magnetoresistive Sensor-Arrays mit Controller und Einplatinen-Computer

Stichworte

TMR-Sensor, tunnel-magnetoresistiv, Sensor-Array, Tiva-Board TM4C1294, Fourier-Transformation, CORDIC, Raspberry Pi, Python, Softwareentwicklung, GUI, PyQt5, Matplotlib

Kurzzusammenfassung

Angefangen bei der Ideenfindung, wird der Entwicklungsprozess der Soft- und Hardware beleuchtet und abschließend das Gesamtsystem in Betrieb genommen und analysiert. Bei dem System handelt es sich um ein Sensor-Array mit Mikrocontroller, welches mit einem Raspberry Pi verbunden ist. Auf dem Raspberry Pi wurde eine Benutzeroberfläche (GUI) entwickelt, mit der die Signalverarbeitung auf dem Mikrocontroller sowie die grafische Ausgabe der Messwerte gesteuert werden kann. Das System soll für Vorführungen genutzt werden und ist daher kompakt gehalten und transportabel.

Simon Karl Eduard Rindelaub

Title of the bachelor thesis

Signal processing for magnetoresistive sensor arrays with controller and single-board computer

Keywords

TMR sensor, tunneling magnetoresistance, sensor array, tiva board TM4C1294, fourier transformation, CORDIC, raspberry pi, python, software development, GUI, PyQt5, matplotlib

Abstract

Starting with brainstorming, the development process of the software and hardware is examined and finally the entire system is put into operation and analyzed. The system is a sensor array with microcontroller connected to a Raspberry Pi. On the Raspberry Pi, a user interface (GUI) has been developed, with which the signal processing on the microcontroller and the graphical output of the measured values can be controlled. The system will be used for demonstrations and is therefore compact and portable.

Vorwort

Die Forschungen zur vorliegenden Arbeit wurden in der Zeit von April 2018 bis September 2018 in dem Forschungsverbundprojekt ISAR an der Hochschule für Angewandte Wissenschaften Hamburg durchgeführt.

Ein großer Dank gilt Prof. Dr.-Ing. K.-R. Riemschneider, den ich sehr für den Umgang mit seinen Studenten und Mitarbeitern schätze. Dank der tollen Projektleitung habe ich mich in dem Team sehr wohl und gut aufgehoben gefühlt.

Weiteren Dank spreche ich meinem Zweitprüfer Prof. Dr. K. Jünemann für die Übernahme der Prüfung und das Interesse an meinem Thema aus.

Besondere Unterstützung habe ich von M.Sc. T. Schütthe erhalten. Er hat viele Stunden investiert und mir stets mit Rat und Tat zur Seite gestanden. Dafür bin ich ihm von ganzem Herzen dankbar.

Herrn G. Müller möchte ich hier ebenso erwähnen und für die Zeit und Mühe bei den Korrekturen danken. Die kritischen und ehrlichen Hinweise und Gespräche haben mir sehr geholfen.

Mit sehr viel Freude habe ich in der Projektgruppe gearbeitet und meine Kommilitonen sehr ins Herz geschlossen. Auch ihnen spreche ich meine Dankbarkeit für die tolle Arbeitsatmosphäre und Unterstützung aus.

Unendlichen Dank empfinde ich für meine Mutter K. Rindelaub und für meine Freundin J. Jankowski. Meine Mutter hat mir stets den Rücken für das Studium freigehalten und mich durch alle Lebenslagen getragen. Meine Freundin gab mir stets halt und hatte immer ein offenes Ohr und offene Arme für mich. Beiden danke ich außerdem sehr für die Zeit und Mühe bei den Korrekturen meiner Arbeit. Ohne die Beiden wäre vieles nicht möglich gewesen.

Begrenzt ist das Leben – unendlich die Erinnerung

Inhaltsverzeichnis

Abbildungsverzeichnis	IX
Tabellenverzeichnis	X
Abkürzungen	XI
Symbolverzeichnis	XI
1 Einleitung	1
1.1 Stand der Technik	1
1.2 Ziel dieser Arbeit	1
1.3 Motivation	1
2 Grundlagen	2
2.1 Methoden der Signalverarbeitung	2
2.1.1 Diskrete Fouriertransformation	2
2.1.2 Interpolation	3
2.1.3 Offsetkompensation	4
2.1.4 Digitale Filter	5
2.1.5 CORDIC-Algorithmus	6
2.2 Funktion des Sensor-Arrays	8
2.2.1 Magnetische Sensoren	10
2.2.2 AMR Sensor	13
2.2.3 TMR Sensor	14
2.3 Verfügbare Hard- und Software aus Vorarbeiten	15
2.4 Einführung in das Interfacedesign	16
3 Entwicklung des Gesamtkonzepts	18
3.1 Systementwurf der Plattformen und Auswahl der Baugruppen	18
3.2 Auswahl der Software-Toolchain	21
3.3 Entwicklung des Programmes	23
3.3.1 Auswahl und Verteilung der Grundfunktionen	23
3.3.2 Entwurf des Programmablaufs	24
3.4 Konzept des mechanischen Aufbaus	26
4 Software auf dem Mikrocontroller	28
4.1 Modifikationen von Vorarbeiten	28
4.2 Implementierung der Signalverarbeitungsmethoden	29

4.3	Kommunikation mit übergeordneten Systemkomponenten	34
5	Software auf dem Einplatinen-Computer	37
5.1	Entwicklung der Bedienoberfläche	37
5.2	Auswahl und Implementierung der Darstellungsfunktionen	39
5.3	Datenverarbeitung im Backend	42
5.3.1	Kalibrierfenster	42
5.3.2	Hauptfenster	45
5.3.3	Filtereinstellungen	47
6	Evaluation	49
6.1	Inbetriebnahme des Gesamtsystems	49
6.2	Entwicklung eines Benutzerhandbuchs	54
7	Zusammenfassung und Ausblick	56
7.1	Bewertung der Ergebnisse	56
7.2	Ansätze zur Weiterführung	58
7.3	Fazit und Beitrag zum Gesamtprojekt	60
	Literatur	63
	Anhang	
A	Quellcode auf dem Mikrocontroller	65
B	Quellcode auf dem Raspberry Pi	107
C	Berechnungen mit Octave	135
D	Grafiken und Schaltpläne	136
E	Bedienungsanleitung	144
F	CD	161
	Selbstständigkeitserklärung	163

Abbildungsverzeichnis

2.1	Vergleich zweier Interpolationsmöglichkeiten Anhand diskreter Werte . . .	3
2.2	Berechnungsprinzip der Interpolation	4
2.3	Grafische Darstellung der Offsetberechnung	5
2.4	Erklärung der Funktionsweise des CORDIC-Algorithmus Anhand einer Winkelbestimmung	8
2.5	Schematische Abbildung eines Sensors im Vergleich zur Sensormatrix . . .	9
2.6	Schematische Darstellung der Funktionsweise der Sensormatrix	9
2.7	Ausgangssignale von Sinus und Cosinus bei einer 360° Drehung eines Gebermagneten über dem Sensor	11
2.8	Ausgangssignalfeld der Sinus- und Cosinus-Signale bei einer 360° Drehung eines Gebermagneten über dem Sensor-Array	11
2.9	Entwicklungshierarchie der bekanntesten Magnetfeldsensoren	12
2.10	Ausgangssignale des TMR-, GMR- und AMR-Sensors im Laufe einer 360° Drehung des Gebermagneten	13
2.11	Röntgenbild und Schaltplan eines AMR-Winkelsensors	14
2.12	Physikalischer Aufbau wichtiger XMR-Sensoren und deren Betriebsart . . .	15
2.13	Ertser Hardwareaufbau des Controllerboards mit AMR-Sensormatrix . . .	16
2.14	Vergleich von gutem und schlechtem mapping	17
3.1	Erster Konzeptentwurf mit Touch-Display und Schnittstellen der einzelnen Komponenten	18
3.2	Finaler Konzeptentwurf ohne Touch-Display und mit Schnittstellen der einzelnen Komponenten	20
3.3	Schematischer Aufbau des Konzeptentwurfes	20
3.4	Toolchain für die Entwicklung der Mikrocontroller-Steuerung und Toolchain für die Entwicklung des Graphical User Interface (GUI)	21
3.5	Schematischer Arbeitsablauf, der von einer Signalverarbeitung und Bedienoberfläche umgesetzt werden muss	25
3.6	Erster Aufbau eines Transportkonzeptes	26
3.7	Darstellung des fertigen Konzepts der Magnethalterung	27
4.1	Programmablauf auf dem Mikrocontroller	31
4.2	Schematische Darstellung des Algorithmus zum Füllen der Filtermatrizen	32
4.3	Grafische Darstellung der Tief- und Bandpassfilter	33
4.4	Notwendiger Informationsfluss zwischen den Subsystemen	35

5.1	Aufteilung der Funktionen auf verschiedene Fenster und Skizzierung des Nutzungsablauf	38
5.2	Grundgerüst der Klasse DiagrammX eines PyQt5 Fensters zur Darstellung eines Matplotlibgraphen	40
5.3	Auswahl von drei Messungen für den Scatter-Plot	41
5.4	Grundgerüst der Klasse CalibrationWindow zur Steuerung der Sensorkalibrierung	44
5.5	Grundgerüst der Klasse MainWindow sowie des SendRecieveThread	46
5.6	Grundgerüst der Klasse MainWindow sowie des CoeffWindowX	48
6.1	Auswahl von drei Messungen für den Scatter-Plot	51
6.2	Auswahl von drei Messungen für den Quiver-Plot	52
6.3	Auswahl von drei Messungen für das Histogramm	53
6.4	Darstellung des Test vom öffnen von vier Fenstern	54
7.1	15×15 Matrix mit ungefilterten Werten im Scatter-Plot	57
D.1	Pinbelegung des Tiva Boards TM4C1294	136
D.2	Fenster zum Durchführen oder Laden einer Kalibrierung	137
D.3	Hauptfenster für grundlegende Einstellungsmöglichkeiten	137
D.4	Beispiel eines Diagrammfensters	138
D.5	Einstellungsfenster für eine 8×8 Filtermatrix	138
D.6	Einstellungsfenster für eine 15×15 Filtermatrix	139
D.7	15kA/m Halbacharray zum durchführen der Langzeitkalibrierung	139
D.8	Quadrupol zum durchführen der schnellen Kalibrierung	140
D.9	Quadrupol mit Metallspanfolie zur Visualisierung der Feldlinien	140
D.10	Aussteuerung von 0° bis 360° des Histogramms für eine 8×8 Matrix	141
D.11	Histogramm für eine 15×15 Matrix ohne Filterung	141
D.12	Histogramm für eine 15×15 Matrix mit Bandpass-Filterung	141
D.13	Scatter-Plot einer 15×15 Matrix mit Bandpass	142
D.14	Scatter-Plot einer 15×15 Matrix mit Tiefpass	142
D.15	Quiver-Plot einer 15×15 Matrix mit Tiefpass	142
D.16	Quiver-Plot einer 15×15 Matrix mit Bandpass	143
F.1	Ordnerstruktur der beigefügten CD.	161

Tabellenverzeichnis

2.1	Vergleich von Sensorgenerationen an Hand von Winkelsensoren.	10
2.2	Vergleich von Sensorspezifikationen vier bedeutender Magnetfeldsensoren.	12
3.1	Gegenüberstellung der Vor- und Nachteile eines Raspberry Pi, bezogen auf den Anwendungsbereich in diesem Projekt.	19
4.1	Gegenüberstellung verfügbarer Informationen auf dem Mikrocontroller und dem Raspberry Pi	35
4.2	Befehlsauflistung der Kommunikation zwischen Rasperry Pi und MC . .	36
6.1	Stichpunkte zur Inbetriebnahme des Gesamtsystems	50

Abkürzungen

AMR	Anisotropic Magneto-Resistance
CCS	Code Composer Studio v6
DFT	Diskrete Fourier-Transformation
FFTW	Fastest Fourier Transform in the West
GMR	Giant Magneto-Resistance
GUI	Graphical User Interface
IDE	Integrated Development Environment
IDFT	inverse Diskrete Fourier-Transformation
ISAR	Integrated Sensor-Array
KFZ	Kraftfahrzeug
KQ-Methode	Methode der kleinsten Quadrate
MC	Mikrocontroller
MIT	Massachusetts Institute of Technology
TI	Texas Instruments
TMR	Tunneling MagnetoResistance

1 Einleitung

1.1 Stand der Technik

Der Stand der Technik lässt sich sehr gut an dem Beispiel festhalten, dass der PC, der vor einigen Jahrzehnten noch ein ganzes Zimmer füllte, heute in eine Hosentasche passt und dabei noch weitaus mehr Funktionen mit sich bringt. Was dabei deutlich wird: Die Bauteile werden immer kleiner, damit aber auch komplexer. Um ein System von komplexen Bauteilen zu steuern, benötigt es eine Überwachungsmöglichkeit. Als einfaches Überwachungsgerät wird in diesem Fall ein Sensor verwendet. Die Sensoren von früher wurden heute um eine komplexe Steuerung, teils sogar mit Messwertauswertung, erweitert. Das große Problem, welches es in den Griff zu bekommen gilt, ist die Störsicherheit. Der Sensor soll in rauen Umgebungen weiterhin zuverlässige Messwerte liefern.

1.2 Ziel dieser Arbeit

Im Verlauf dieser Bachelorarbeit wird ein Demonstrationskoffer für das Forschungsprojekt Integrated Sensor-Array (ISAR) entwickelt. Eingesetzt wird ein Sensor-Array mit Tunneling MagnetoResistance (TMR) Sensoren zur Winkelbestimmung von sich über dem Sensorfeld drehender Gebermagnete. Das Gesamtsystem soll die Möglichkeit bieten, den Magneten zu drehen und die Messungen in verschiedenen Diagrammen auf einem Monitor auszugeben. Das Menü und die Graphen werden in einer GUI dargestellt. Die Ansteuerung des Sensorboards wird über das Tiva-Board TM4C1294 geregelt. Ebenfalls werden komplexe Rechnungen wie die zweidimensionale Diskrete Fourier-Transformation (DFT), Funktionsapproximationen und der CORDIC-Algorithmus auf diesem Board implementiert.

1.3 Motivation

Die in dieser Arbeit verwendeten Sensoren sollen in Zukunft in Automobilen eingesetzt werden. Die Anforderungen an die bereits erwähnte Störsicherheit sind in dieser Branche besonders hoch. Erste Prototypen des Sensor-Arrays sind bereits entworfen und am Ende soll ein fertiger Chip hergestellt werden können. Um die in dem Projekt bereits gewonnenen Erkenntnisse und Erfahrungen auf Messen und Veranstaltungen vorführen zu können, bedarf es eines kleinen, tragbaren Demonstrationssystems. Dieses soll die Vorteile des Sensor-Arrays den Interessenten verständlich veranschaulichen und zur eigenständigen Bedienung und zu Versuchen einladen.

2 Grundlagen

In diesem Kapitel wird auf die mathematischen und technischen Grundlagen eingegangen, die für das Verständnis dieser Arbeit benötigt werden. Die mathematischen Grundlagen beinhalten Formeln aus der Signalverarbeitung und Statistik sowie Rechenoperationen. Die technischen Grundlagen beziehen sich auf das Sensor-Array, die einzelnen Sensoren und deren Funktionsweise. Es werden zwei Sensortypen näher beleuchtet, die in der Projektentwicklung von ISAR eine wichtige Rolle spielen.

2.1 Methoden der Signalverarbeitung

In diesem Abschnitt werden die wichtigsten Formeln und Methoden zur Signalverarbeitung erläutert und warum sie in der jeweiligen Form umgesetzt wurden. In Kapitel 3.3 wird auf diese Methoden bezüglich der Implementierung eingegangen und wie sie auf dem Board realisiert werden.

2.1.1 Diskrete Fouriertransformation

Die DFT ist eine Transformation aus dem Bereich der Fourier-Analyse. Ein zeitdiskretes endliches Signal wird auf ein diskretes, periodisches Frequenzspektrum (Bildbereich) abgebildet. Die DFT besitzt in der digitalen Signal- und Bildverarbeitung zur Analyse eine große Bedeutung und kommt vielfältig zur Anwendung [23].

Die DFT ist in der Signal- und Bildverarbeitung ein weit verbreitetes Werkzeug. Gebräuchliche Anwendungen sind die Bestimmung der Frequenzanteile aus einem abgetasteten Signal oder die Zuordnung von Frequenzen und Amplituden. In dieser Arbeit wird die DFT angewandt, um die Implementierung digitaler Filter zu vereinfachen. Nach der Transformation der Datenwerte vom Zeit- in den Bildbereich, wird die Signalfilterung durch eine Matrixmultiplikation realisiert. Eine rechenaufwendige Faltung ist nicht mehr notwendig. Nachfolgend eine Darstellung der Integration der DFT mit der Ausgangsgleichung (2.1).

$$\hat{g}_{k,l} = \sum_{m=0}^{M-1} \left(\sum_{n=0}^{N-1} g_{m,n} \cdot \exp\left(-2\pi i \cdot \frac{mk}{M}\right) \right) \exp\left(-2\pi i \cdot \frac{nl}{N}\right) \quad (2.1)$$

Um diese Funktion nun auf einem Mikrocontroller (MC) zu implementieren, werden die

Exponentialfunktionen vereinfacht.

$$\exp\left(\frac{-2\pi i m k}{M}\right) = W_M^{-mk} \quad \exp\left(\frac{-2\pi i n k}{N}\right) = W_N^{-nl} \quad (2.2)$$

Diese neuen Faktoren aus Gleichung (2.2) werden Twiddle-Faktoren genannt und in der Twiddle-Matrix zusammengefasst. Die Vereinfachung besteht darin, die Eingangssignalmatrix G_{MN} mit den Twiddle-Matrizen W_M^{-mk} und W_N^{-nl} zu multiplizieren, um so weitere rechenaufwendige Multiplikationen zu vermeiden.

$$\hat{G} = W_M^{-mk} \cdot G \cdot W_N^{-nl} \quad (2.3)$$

Die Twiddle-Matrizen können bereits zum Programmstart initialisiert werden und müssen nicht im laufenden Prozess durchgehend neu berechnet werden. Nach der Filterung der Eingangswerte (siehe Kap. 2.1.4) wird die Matrix mittels inverser diskreter Fourier-Transformation (IDFT) wieder in den Zeitbereich transformiert. Analog gilt die Gleichung (2.4), wobei nun der Exponent der e-Terme positiv ist. Diese Gleichung lässt sich ebenfalls mit Hilfe der Twiddle-Faktoren vereinfachen (2.5), um anschließend die Matrizenmultiplikationen durchzuführen zu können (2.6). Auch diese inversen Twiddle-Matrizen werden zum Programmstart initialisiert.

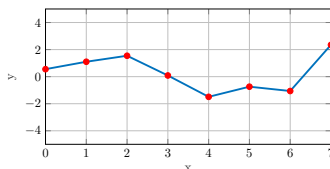
$$\hat{g}_{k,l} = \sum_{m=0}^{M-1} \left(\sum_{n=0}^{N-1} g_{m,n} \cdot \exp\left(2\pi i \cdot \frac{mk}{M}\right) \right) \exp\left(2\pi i \cdot \frac{nl}{N}\right) \quad (2.4)$$

$$\exp\left(\frac{2\pi i m k}{M}\right) = W_M^{mk} \quad \exp\left(\frac{2\pi i n k}{N}\right) = W_N^{nl} \quad (2.5)$$

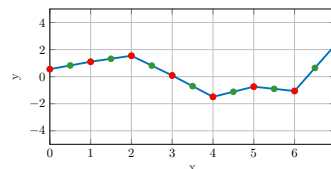
$$G = W_M^{mk} \cdot \hat{G} \cdot W_N^{nl} \quad (2.6)$$

2.1.2 Interpolation

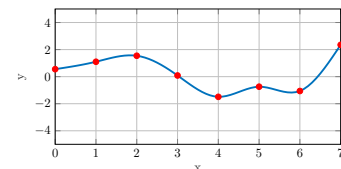
Die Interpolation beschreibt in der Mathematik das Bilden einer kontinuierlichen Funktion anhand von diskreten Werten. Ziel ist, dass auch angenäherte Werte, die zwischen



(a) Zu interpolierende Punkte.



(b) Lineare Interpolation.



(c) Spline Interpolation.

Abbildung 2.1: Vergleich zweier Interpolationsmöglichkeiten Anhand diskreter Werte.

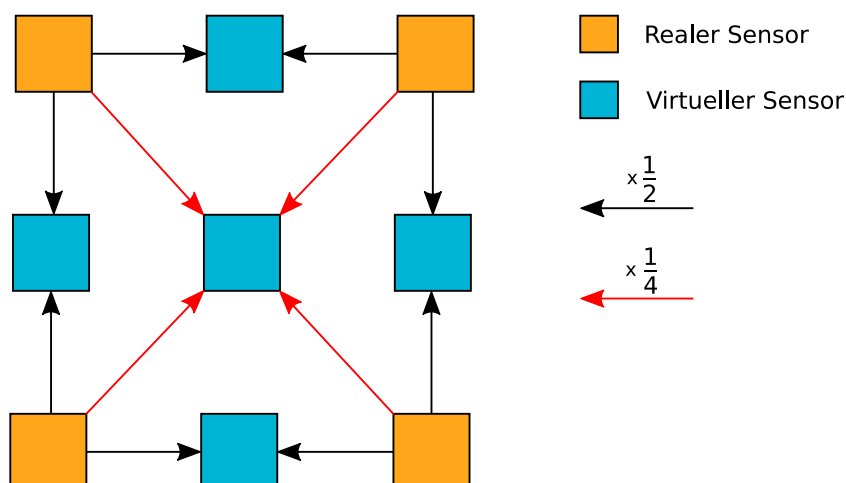


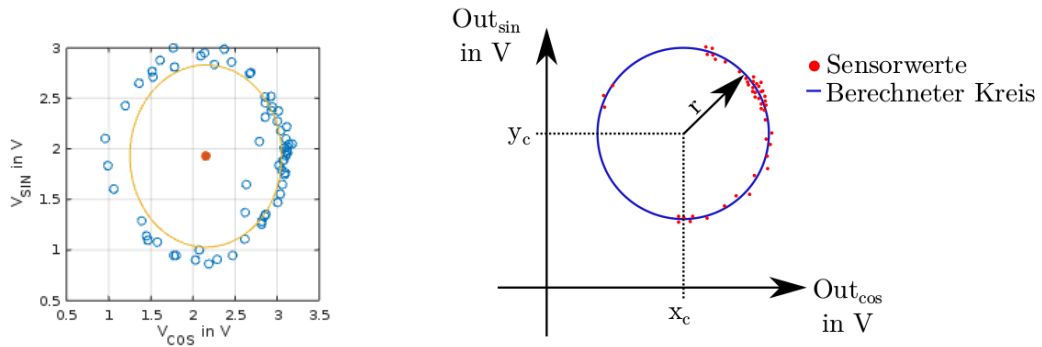
Abbildung 2.2: Berechnungsprinzip der Interpolation.

den Messpunkten liegen, verfügbar sein sollen. Am häufigsten wird in der Praxis die lineare Interpolation angewendet, da diese einfach zu implementieren und berechnen ist und bereits eine gute Approximation der Werte liefert. Die nachfolgende Abbildung 2.1 zeigt schematisch, wie diskrete Werte 2.1(a) einmal linear interpoliert 2.1(b), oder durch eine Funktion angenähert werden 2.1(c).

Die Interpolation spielt für dieses Projekt eine tragende Rolle, da in Zukunft statt der 8×8 -Sensormatrix eine 15×15 -Sensormatrix verwendet werden soll. Somit können schon vor der Hardwareentwicklung erste Simulationen durchgeführt werden. Eine Matrix mit 15×15 Sensoren bietet die Vorteile einer höheren Störsicherheit und Genauigkeit. Das Berechnungsprinzip der virtuellen Sensoren wird mit Hilfe der linearen Interpolation in Abbildung 2.2 verdeutlicht. Je nach Position des virtuellen Sensors werden entweder je $\frac{1}{4}$ der diagonal umliegenden Sensorwerte als Einfluss einbezogen oder je $\frac{1}{2}$ der horizontal oder vertikal benachbarten Sensorwerte.

2.1.3 Offsetkompensation

Der Offset- oder auch Nullpunktfehler ist ein Problem realer Messsysteme. Dabei hat nicht jedes gemessene Signal der einzelnen Sensoren der Sensor-Matrix den selben Offset. Zur Lösung wird die Methode der kleinsten Quadrate (KQ-Methode) angewendet. Die aufgenommenen Messwerte werden, wie in Abbildung 2.3(a) abgebildet, kreisförmig im Koordinatensystem angeordnet. Zur Ausgleichsrechnung wird eine Kreisfunktion verwendet (2.9), um die Residuen zu minimieren. Für die Berechnungen müssen die 8×8 Sinus- und Cosinus-Signal-Wert-Matrizen zu je einem 1×64 Vektor transformiert werden (Gleichungen (2.7) und (2.8)).



(a) Methode der kleinsten Quadrate mit Kreisplot.

(b) Kreisplot mit Offsetwerten y_c (Imaginärteil) und x_c (Realteil).

Abbildung 2.3: Grafische Darstellung der Offsetberechnung.

$$\mathbf{x} = (V_{COS11} \quad V_{COS12} \quad \dots \quad V_{COS21} \quad \dots \quad V_{COS88})^T \quad (2.7)$$

$$\mathbf{y} = (V_{SIN11} \quad V_{SIN12} \quad \dots \quad V_{SIN21} \quad \dots \quad V_{SIN88})^T \quad (2.8)$$

Aus den beiden Vektoren wird eine Matrix $\mathbf{A} = (\mathbf{x}, \mathbf{y}, 1)$ erstellt. Diese hat die Dimension 64×3 . Nun können der Kreisfunktionsvektor \mathbf{b} und der Offsetvektor \mathbf{c} berechnet werden.

$$\mathbf{b} = (-(\mathbf{x}^2 + \mathbf{y}^2)) \quad (2.9)$$

$$\mathbf{c} = (\mathbf{A}^T \cdot \mathbf{A})^{-1} \cdot \mathbf{A}^T \cdot \mathbf{b} \quad (2.10)$$

Der Offsetvektor \mathbf{c} (2.10) ist ein 3×1 Vektor. Die Werte c_1, c_2 und c_3 werden genutzt, um den mittleren Offset der Messdaten zu bestimmen (2.11). Diese Werte sind in Abbildung 2.3(b) grafisch veranschaulicht.

$$x_c = -\frac{c_1}{2} \quad y_c = -\frac{c_2}{2} \quad r = \sqrt{\frac{c_1^2 + c_2^2}{4} - c_3} \quad (2.11)$$

2.1.4 Digitale Filter

Allgemein dient ein Filter in der Signalverarbeitung zum Entfernen unerwünschter Messsignalanteile, also gewisser Frequenzbereiche. Dazu zählt zum Beispiel hochfrequentes, (weißes) Rauschen oder das 50Hz Netzbrummen. Ein besonderer Vorzug des in dieser Arbeit entwickelten Testsystems ist, dass die Filterkoeffizienten-Matrizen einfach implementiert werden können. Diese können zuvor mit Hilfe eines anderen Programms, wie MATLAB, berechnet werden. Neben den Digitalfiltern gibt es noch die Analogfilter, welche aus passiven Bauelementen, wie Widerständen, Spulen und Kondensatoren oder

aktiv mit Operationsverstärkern aufgebaut werden. Digitalfilter hingegen werden mit Logikbausteinen wie FPGAs oder in Form von Programmcode auf einem Signalprozessor realisiert (detailliertere Informationen finden Sie in der Literatur [22]).

Der erste Schritt des Filterentwurfs umfasst das Bestimmen des relevanten Frequenzbereichs. Erst im Anschluss können Grenzfrequenzen berechnet und ein Filter entwickelt werden. Zur Verfügung stehen ideale Filterfunktionen von Tiefpass, Hochpass, Bandpass und Bandsperre. Für die Filterung der Eingangssignal-Matrixen werden entsprechend große Filtermatrizen benötigt. Für die einfache Berechnung einer solcher Matrix gilt

$$\mathbf{h}_{2i} = \mathbf{h}_{1i} \cdot \mathbf{w}_i \quad (2.12)$$

wobei \mathbf{h}_{2i} die Filterterkoeffizienten-Matrix, \mathbf{h}_{1i} eine ideale Filterkoeffizienten-Matrix und \mathbf{w}_i eine Fensterfunktions-Matrix ist [19]. Das Beispiel aus Gleichung (2.14) beschreibt ein Hammingfenster.

$$\Omega_C = \frac{\omega_C}{f_S} \quad n : 0 \dots N \quad N : \text{AnzahlSchritte}$$

$$\mathbf{h}_1(i) = \begin{cases} \frac{\Omega_C}{\pi} & n = \frac{N-1}{2} \\ \frac{\sin\left(\left(n - \frac{N-1}{2}\right) \cdot \Omega_C\right)}{\left(n - \frac{N-1}{2}\right) \cdot \pi} & \text{sonst} \end{cases} \quad (2.13)$$

$$\mathbf{w}(i) = 0.54 + 0.46 \cdot \cos\left(\frac{2 \cdot \pi \cdot \left(i - \frac{N-1}{2}\right)}{N}\right) \quad (2.14)$$

2.1.5 CORDIC-Algorithmus

Bereits zu Beginn der Entwicklung erster umfangreicher, digitaler Rechensysteme wurde sich Gedanken über die Implementierung mathematischer Funktionen gemacht. Komplexe Funktionen, wie Exponential-, Wurzel-, trigonometrische Funktionen oder Logarithmen, waren Anfangs nicht realisierbar. Einige aufwändig konstruierte mechanische Rechenmaschinen, wie die Curta I (1948), konnten Wurzeln ziehen [3]. Als ab Mitte des 20. Jahrhunderts die Produktionszahl der elektromechanischen Rechenmaschinen wuchs, waren die Geräte aufgrund des Platzbedarfs für die Rechenwerke immer noch sehr groß. Komplexe Funktionen wurde zu der Zeit noch mittels Polynom-Approximation (Potenz-, Taylor-Reihe) oder Look-Up-Tabellen berechnet [18]. Um nun die Größe der Rechenwerke zu minimieren und die Geschwindigkeit der Maschinen zu steigern, entwickelte J.E. Volder 1959 den CORDIC-Algorithmus (COordinate Rotation DIgital Computer) [21].

Die Algorithmen arbeiten ausschließlich mit schnellen Operationen, also Additionen und Multiplikationen mit Zweier-Potenzen, die in Hardware einfach umgesetzt werden können [1]. Mit einem Berechnungsbeispiel soll die Funktionsweise des CORDIC erklärt werden.

Die Drehung eines Vektors (x_0, y_0) um einen Winkel Θ wird durchgeführt und es soll der Endpunkt (x_n, y_n) bestimmt werden. Gleichung (2.15) stellt die Berechnung mit Hilfe einer Rotationsmatrix dar. Der in Abbildung 2.4(a) dargestellte Winkel soll mit Hilfe des CORDIC bestimmt werden. Durch Drehung des Vektors $(1, 0)$, gezeigt in Gleichung (2.16), um den Winkel Θ , wie in Abbildung 2.4(b) dargestellt, können $\sin \Theta$ und $\cos \Theta$ berechnet werden.

$$\begin{pmatrix} x_n \\ y_n \end{pmatrix} = \begin{pmatrix} \cos \Theta & -\sin \Theta \\ \sin \Theta & \cos \Theta \end{pmatrix} \cdot \begin{pmatrix} x_0 \\ y_0 \end{pmatrix} \quad (2.15)$$

$$\begin{pmatrix} x_n \\ y_n \end{pmatrix} = \begin{pmatrix} \cos \Theta & -\sin \Theta \\ \sin \Theta & \cos \Theta \end{pmatrix} \cdot \begin{pmatrix} 1 \\ 0 \end{pmatrix} \quad (2.16)$$

Mit der Umformung $\cos \Theta = \frac{1}{\sqrt{1 + \tan^2 \Theta}}$ ergibt sich für die Rotationsmatrix eine allei-

nige Abhängigkeit von der Winkelfunktion $\tan \Theta$ (2.17). Die Drehung um den Winkel Θ wird mit Teilwinkeln α_i realisiert. Diese sind vorab berechnet worden, um schnelle Operationen zu ermöglichen. Durch angepasste Vorzeichen $\sigma_i \in \{-1, 1\}$ werden die Teilwinkel entsprechend addiert oder subtrahiert (2.18). Somit wird der zu berechnende Winkel durch eine alternierende Approximation angenähert.

$$\begin{pmatrix} x_n \\ y_n \end{pmatrix} = \frac{1}{\sqrt{1 + \tan^2 \Theta}} \cdot \begin{pmatrix} 1 & -\tan \Theta \\ \tan \Theta & 1 \end{pmatrix} \cdot \begin{pmatrix} x_0 \\ y_0 \end{pmatrix} \quad (2.17)$$

$$\Theta = \sum_{i=0}^{N-1} \sigma_i \cdot \alpha_i \quad (2.18)$$

Als Hilfsvariable zur Winkelberechnung wird z_i eingeführt. Gleichung (2.19) beschreibt, dass sich der resultierende Winkel aus den vorigen Teilwinkeln α_i , multipliziert mit dem Vorzeichenfaktor σ_i , ergibt. Dieses Verfahren wird ebenfalls in Abbildung 2.4(c) und als sukzessive Approximation in Abbildung 2.4(d) deutlich.

$$z_{i+1} = z_i - \sigma_i \cdot \alpha_i \quad \sigma_i = \begin{cases} 1 & z_i \leq 0 \\ -1 & z_i \geq 0 \end{cases} \quad (2.19)$$

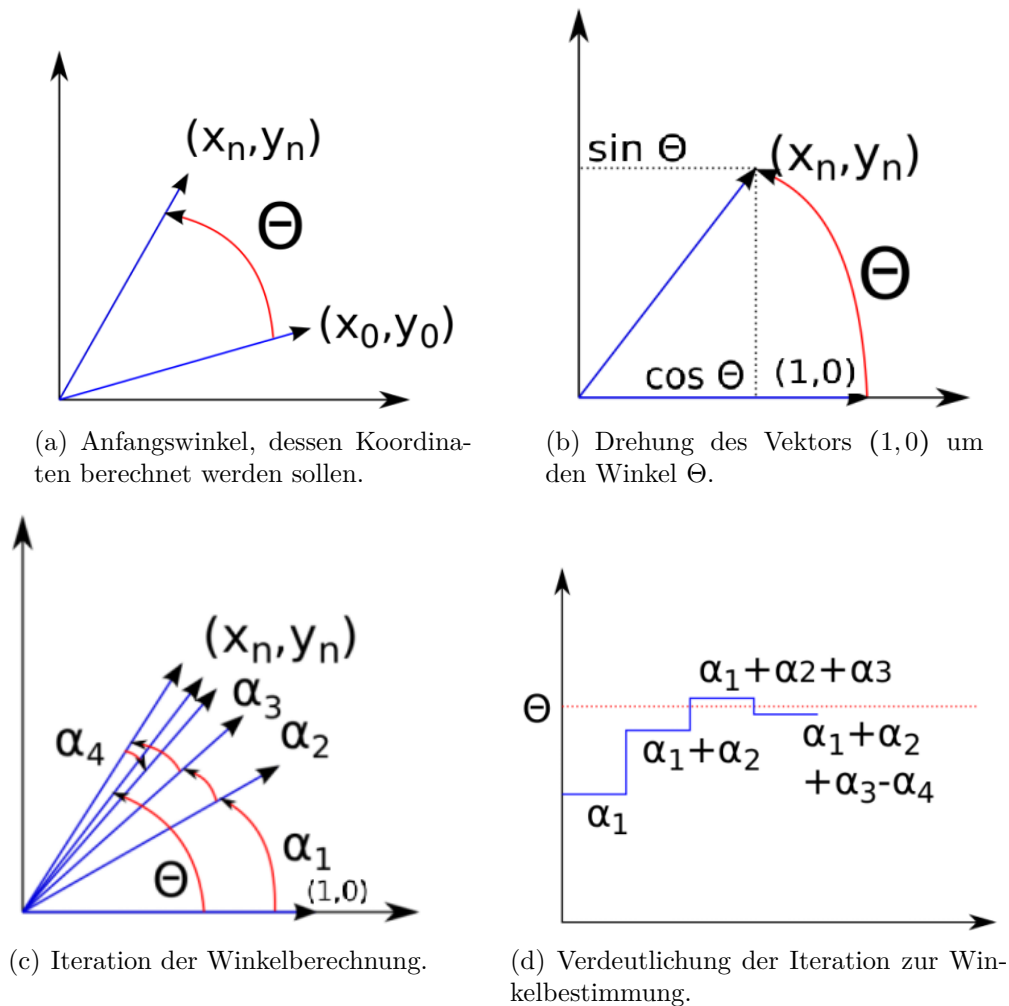


Abbildung 2.4: Darstellung der Funktionsweise des CORDIC-Algorithmus Anhand einer Winkelbestimmung [13].

2.2 Funktion des Sensor-Arrays

Derzeitig sind in den meisten Anwendungen von Magnetsensoren, wie ABS-Sensoren oder Rotorlagegebern, nur einzelne Sensoren verbaut. Für sicherheitskritische Anwendungen ist ein einzelner Sensor jedoch nicht ausreichend, da kein Vergleich der Genauigkeit möglich ist. Das System ist deutlich anfälliger für Störungen. Um dem Problem entgegenzuwirken, sollen in diesem Projekt mehrere Sensoren zu einer $N \times N$ Matrix zusammengeschaltet werden. Einen Vergleich der bisherigen (Abbildung 2.5(a)) und der zukünftigen (Abbildung 2.5(b)) Sensoren zeigt die Abbildung 2.5.

Die Sensormatrix, die für diese Bachelorarbeit verwendet wird, ist eine 8×8 Matrix. Jeder Sensor gibt einen Sinus- und Cosinuswert aus, anhand dessen der derzeitige

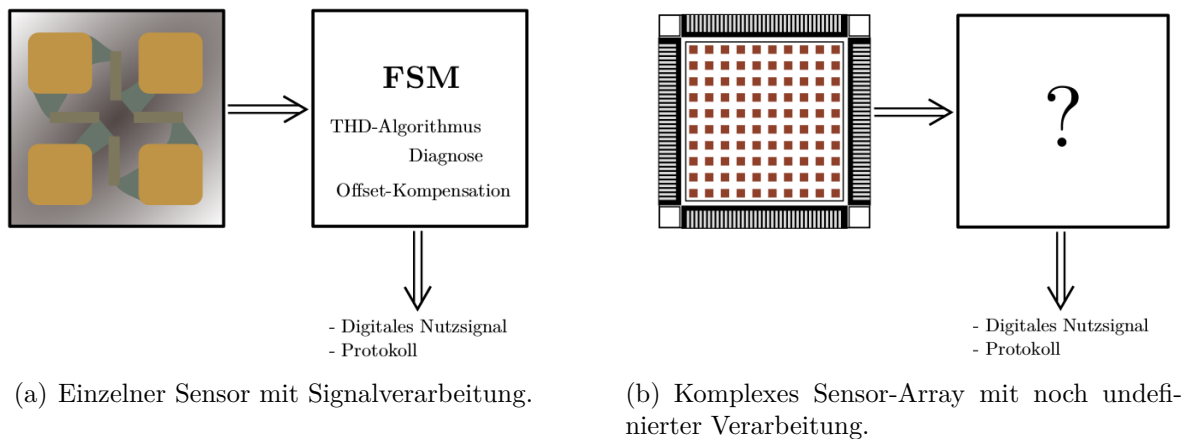


Abbildung 2.5: Schematische Abbildung eines Sensors (derzeitige Anwendung) im Vergleich zur Sensormatrix (neue Sensorgeneration). Für die neue Generation sind die Verarbeitungsmethoden noch in den Entwicklungsprozessen.

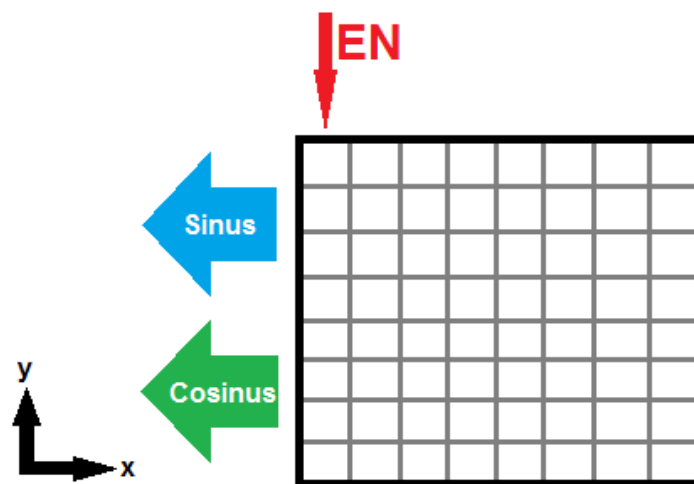


Abbildung 2.6: Schematische Darstellung der Funktionsweise der Sensormatrix.

Winkel des Gebermagnetfeldes bestimmt werden kann. Zum Einlesen der Werte werden die Enable-Leitungen vom Controller in einer Schleife von eins bis acht durchlaufend auf High-Pegel gesetzt (Y-Richtung), siehe Abbildung 2.6. Nach dem Einschwingvorgang werden die Werte (X-Richtung) vom Mikrocontroller ausgelesen und verarbeitet. Durch dieses Verfahren kann spaltenweise jeder Sensorwert ermittelt und anschließend gespeichert werden. Für die Signalverarbeitung wird anschließend, wie in Kapitel 2.1 beschrieben, die Wertematrix verwendet. Da in dieser Bachelorarbeit Winkelsensoren zum Einsatz kommen, wird ein Vergleich zwischen einem einzelnen Sensor und der Sensormatrix in nachfolgender Tabelle 2.1 festgehalten.

Tabelle 2.1: Vergleich von bisherigen und zukünftigen Sensorgenerationen an Hand von Winkelsensoren.

Sensor mit 2 oder 4 Messbrücken	Sensor-Array mit $N \times N$ Sensoren
<ul style="list-style-type: none"> • Winkelberechnung aus Brückensignalen (Sinus und Cosinus) • Feld des Gebermagneten möglichst homogen • Präzise Lageausrichtung Sensor/Magnet ist ergebnisrelevant • Wenig Information über Lagefehler • Unterscheidung Nutz- und Störsignal ist problematisch 	<ul style="list-style-type: none"> • Winkelberechnung aus $N \times N$ Signalen • Unterschiedliche Magnetisierungen und Geometrien für den Gebermagneten • Weite Toleranzen beim Einbau des Sensors • Lageberechnung und Korrektur durch höheren Informationsgehalt ermöglicht • Trennung von Nutz- und Störsignal wird angestrebt

Anhand der Tabelle 2.1 wird deutlich, welche Vorteile ein Sensor-Array, besonders in den vorgesehenen Einsatzgebieten in der Automobilelektronik, bietet. Hervorzuheben sind die Toleranzen beim Einbau, die es trotz einer Verschiebung von Sensor und Magnetfeld ermöglichen, eine Lageberechnung und Fehlerkorrektur durchzuführen. Um diesen Prozess noch zu verbessern, wird auf eine genaue Trennung von Nutz- und Störsignal hingearbeitet. Abbildung 2.7 zeigt einen einzelnen, herkömmlichen Sensor und die Ausgangssignale einer 360° Drehung des Gebermagneten. Dieses Prinzip wird bereits vielfach in der Industrie angewandt. Diese Arbeit verwendet das in Abbildung 2.8 schematisch dargestellte Sensor-Array und dessen Ausgangswerte. Hierbei handelt es sich nun um ein Ausgangsfeld mit den jeweiligen Sinus- und Cosinuswerten H_x und H_y jedes Sensors.

2.2.1 Magnetische Sensoren

Die ersten magnetischen Messgeräte¹ sind bereits seit Jahrhunderten im Einsatz. Die früheste Erfindung war der Kompass. Erste magneto-resistive Effekte hingegen beschrieb

¹Der Begriff „Sensor“ etablierte sich erst vor circa 30 Jahren, als Messfühler immer mehr in Konsumanwendungen (z.B. Kraftfahrzeug- und Haustechnik) etabliert wurden.

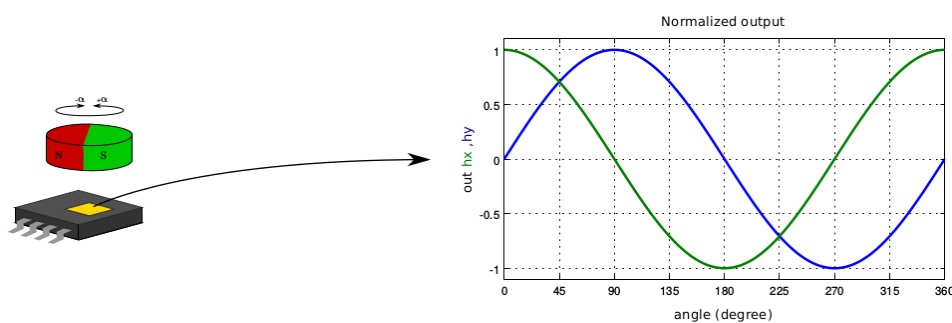


Abbildung 2.7: Ausgangssignale von Sinus und Cosinus bei einer 360° Drehung eines Gebermagneten über dem Sensor.

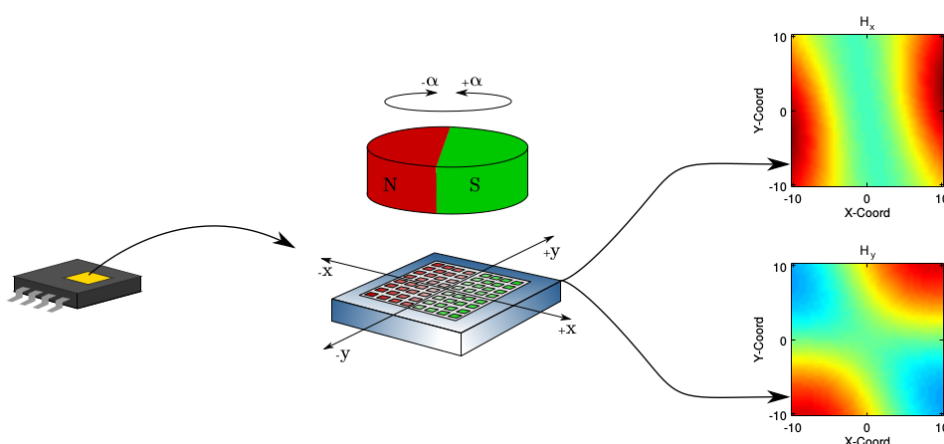


Abbildung 2.8: Ausgangssignalfeld der Sinus- und Cosinus-Signale bei einer 360° Drehung eines Gebermagneten über dem Sensor-Array.

Lord Kelvin im Jahre 1856 [24]. Damals wurden Messgeräte noch ausschließlich genutzt, um das Erdmagnetfeld zu detektieren und später auch zu messen. Die heutigen Einsatzgebiete sind um ein Vielfaches umfangreicher geworden. Jedes Einsatzgebiet stellt andere Anforderungen an Bauform, Größe des Sensors und mögliches Messprinzip. Besonders mit der Erfindung neuer Messprinzipien wurden die Sensoren stetig komplexer in ihrem Aufbau. Trotz der wachsende Komplexität und reduzierter Größe der Sensoren blieben jedoch die Anforderungen an Störanfälligkeit und Stabilität bestehen, was selbst mit heutigen Produktionsmöglichkeiten immer wieder neue Herausforderungen darstellt.

Heute werden etwa 50% aller produzierter Sensoren für die Automobilindustrie hergestellt. Dabei kommen immer häufiger sogenannte „smarte Sensoren“ zum Einsatz. Diese sind als Mikrochip entwickelt und beinhalten in ihrem Programmcode bereits eine teils sehr umfangreiche Signalverarbeitung und Fehlerkorrektur [14, S. 17]. Von den vielen Sensoren zur Erfassung von magnetischen Feldern sind Hall-Sensoren sowie Anisotropic Magneto-Resistance (AMR)-, Giant Magneto-Resistance (GMR)- und TMR-Sensoren

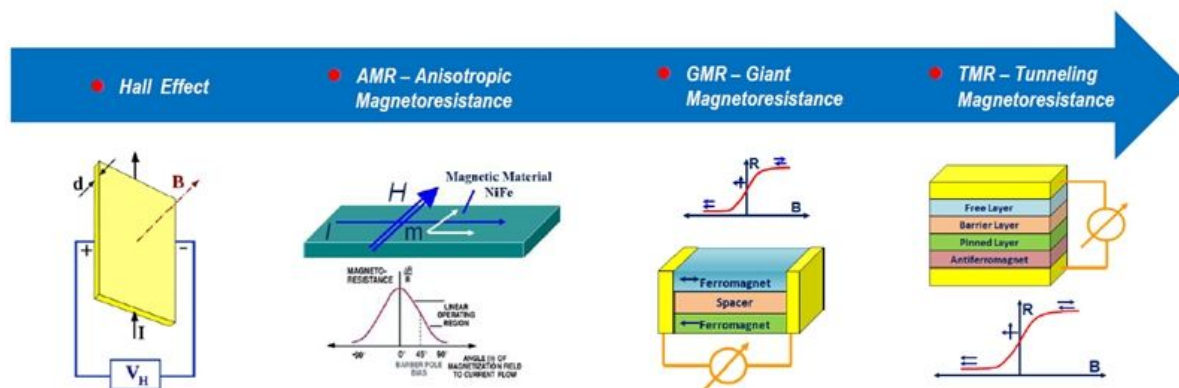


Abbildung 2.9: Entwicklungshierarchie der bekanntesten Magnetfeldsensoren. Die jüngste Erfindung ist der TMR [20].

Tabelle 2.2: Vergleich von Sensorspezifikationen vier bedeutender Magnetfeldsensoren [20].

	Hall	AMR	GMR	TMR
Verbrauch (mA)	5~20	1~10	1~10	0.001~0.01
Fläche (mm²)	1 × 1	1 × 1	1 × 2	0.5 × 0.5
Sensitivität (mV/V/Oe)	~0.05	~1	~3	~100
Dynamic Range (Oe)	~10000	~10	~100	~1000
Auflösung (nT/Hz^{1/2})	>100	0.1~10	1~10	0.1~10
Temperaturbereich (°C)	<150	<150	<150	<200

aufgrund der technischen Fortschritte besonders hervorzuheben. Eine Veranschaulichung der Entwicklungsgeschichte ist in Abbildung 2.9 dargestellt. Die in diesem Projekt verwendeten magnetischen Sensoren AMR und TMR werden nachfolgend hinsichtlich ihres Aufbaus und Messprinzips erläutert.

Die Tabelle 2.2 zeigt auf, nach welchen Kriterien Sensoren ausgewählt werden. Für die spezifischen späteren Anwendungen im Kraftfahrzeug (KFZ) sind neben Stromverbrauch, die Größe und insbesondere - wegen des Einsatzes in sicherheitskritischen Anwendungen - auch die Auflösung und Sensitivität des Sensors. Bei der Überlegung der Zusammenschaltung als 8×8 oder 15×15 Sensor-Array ist die Gesamtleistung ein sehr wichtiger Punkt. Der angegebene Wert aus der Tabelle muss demnach mit 64 oder mit 225 multipliziert werden. Erste Versuche wurde Anfangs mit dem AMR-Sensor und schließlich mit dem deutlich energieeffizienteren TMR-Sensor durchgeführt.

Ein Vorzug des TMR-Sensors wird in Abbildung 2.10 deutlich, wo die Ausgangssignale verschiedener Magnetfeldsensoren aufgezeichnet sind. Die Spannungsamplitude ist im

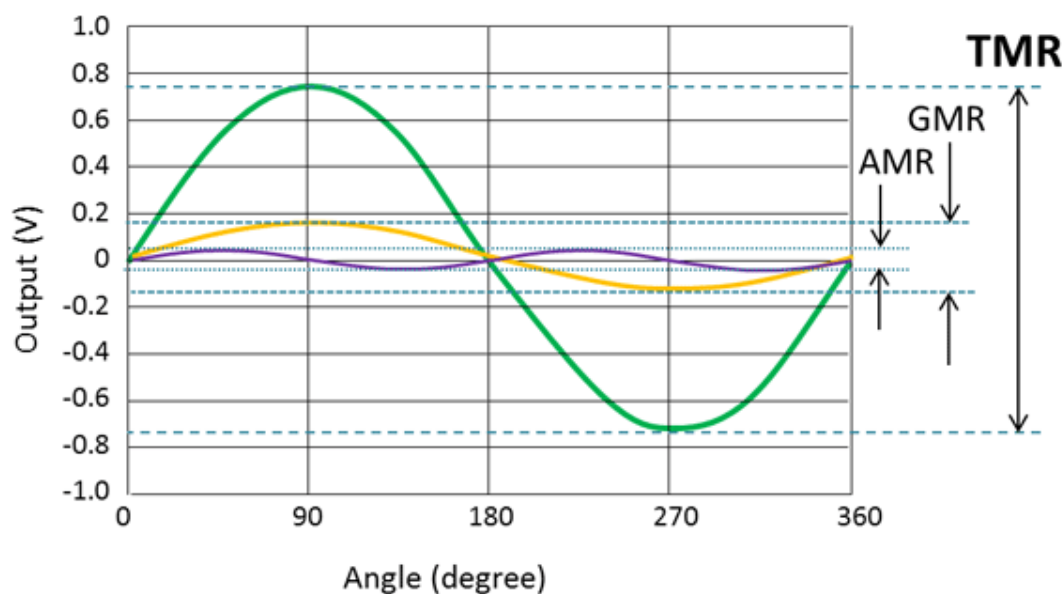


Abbildung 2.10: Ausgangssignale des TMR-, GMR- und AMR-Sensors im Laufe einer 360° Drehung des Gebermagneten [5].

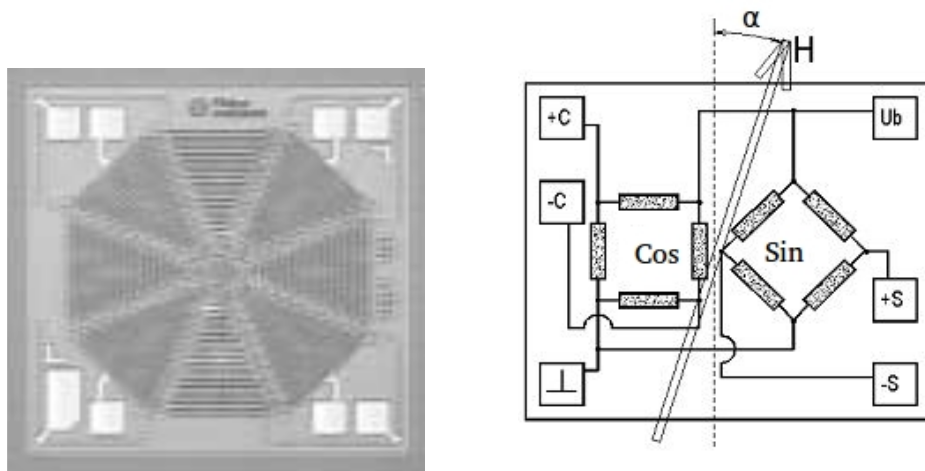
Gegensatz zum AMR-Sensor fast 20 mal größer. Dies bietet eine deutlich erhöhte Störfestigkeit, Stabilität und erfordert keine Nachverstärkung. Wie diese große Amplitude zustande kommt, wird in dem Unterkapitel 2.2.3 ausführlich erläutert.

2.2.2 AMR Sensor

Der anisotrope magnetoresistive Effekt beruht auf anisotroper (von der Raumrichtung abhängiger) Streuung. Der Effekt lässt sich sehr gut in einer dünnen Schicht (ca. 20 nm) aus Permalloy² beobachten. Der elektrische Widerstand der Schicht ist vom äußeren Magnetfeld abhängig. Nur Magnetfeldkomponenten in der Schichtebene haben dabei einen merklichen Einfluss auf den Widerstand. Wenn das äußere Magnetfeld in der Stromrichtung oder gegen die Stromrichtung gerichtet ist, hat der Widerstand den größten Wert. Den kleinsten Widerstand misst man, wenn das äußere Magnetfeld senkrecht zur Stromrichtung in der Schichtebene gerichtet ist [10].

Um nun den reinen Winkeleffekt zu erhalten, muss eine AMR-Schicht bei ihrer Sättigungsfeldstärke betrieben werden, d.h. der interne Magnetisierungsvektor \vec{m} richtet sich parallel zum äußeren Magnetfeld aus. In dieser Betriebsart arbeitet der Sensor als Winkelmesssystem und wird als Wheatstone-Brückenschaltung realisiert. Abbildung 2.11 zeigt das Foto 2.11(a) eines AMR-Winkelsensors und ein Schaltbild 2.11(b), jeweils bestehend aus zwei um 45° verdreht angeordneten Wheatstone-Messbrücken [4, S. 274].

²Eine Legierung aus Nickel (81 %) und Eisen (19 %).



(a) Röntgenbild des AMR-Sensor-Aufbaus. Die acht mäanderförmigen Wheatstone-Messbrücken sind je um 45° verdreht [4].

(b) Schaltplandesign eines AMR-Winkelsensors [16] mit Messfeld H und resultierendem Winkel α .

Abbildung 2.11: Röntgenbild und Schaltplan eines AMR-Winkelsensors zeigen den genauen Aufbau der um 45° gedrehten Wheatstonebrücken.

AMR-Sensoren als Winkelmesser - genauer Feldrichtungsmesser - werden im Sättigungsbereich betrieben. Somit ist das Messprinzip weitgehend unabhängig von Montagetoleranzen, Magnettoleranzen sowie alterungs- und temperaturbedingten Magnetänderungen. Mit den Ausgangssignalen des Sensors aus Gleichung (2.20) lässt sich der Winkel gemäß Gleichung (2.21) bestimmen. Was jedoch zu beachten ist und einen großen Unterschied zwischen den AMR- und den GMR-/TMR-Sensoren darstellt, ist der verminderte Messbereich des AMR-Sensors. Dieser ist über die 360° Drehung eines Gebermagneten doppel-periodisch, das heißt der Sensor misst nur im Bereich 0° bis 180° , was in der Abbildung 2.10 zu erkennen ist (lila Signal).

$$u_1 = \hat{u}_1 \cdot \sin(2\alpha) \quad u_2 = \hat{u}_2 \cdot \cos(2\alpha) \quad (2.20)$$

$$\alpha = \frac{1}{2} \cdot \arctan\left(\frac{u_1}{u_2}\right) \quad (2.21)$$

2.2.3 TMR Sensor

Der tunnel-magneto-resistive Effekt ist ein Phänomen, welches ausschließlich mit der Quantenmechanik erklärt werden kann (zur Erklärung wird die Abbildung 2.12 herangezogen). Da bei Schichtdicken im Nanometerbereich Isolationsschichten für Elektronen durchlässig werden, verschwimmt hier die Grenze zwischen Leitern und Nichtleitern. Dieses Durchwandern wird als „Tunneleffekt“ bezeichnet. Oftmals ein unerwünschtes

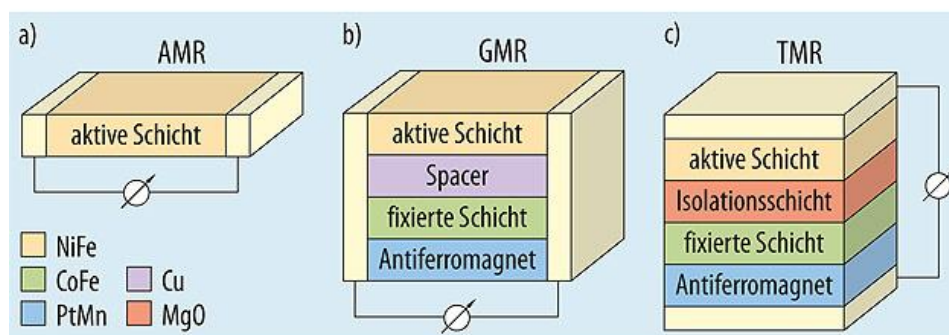


Abbildung 2.12: Physikalischer Aufbau wichtiger XMR-Sensoren und deren Betriebsart (Anschluss einer Betriebsspannung) [9].

Problem, macht es diese neue Sensorgeneration erst möglich. Es ändert sich der elektrische Widerstand, wenn der Sensor einem magnetischen Feld ausgesetzt wird. Zwischen den ferromagnetischen Schichten (gelb und grün) befindet sich die bereits erwähnte Isolationsschicht (rot). Die unterste (blaue) Antiferromagnetische Schicht ist notwendig, um die Magnetisierung der untersten Ferritschicht zu fixieren. Die Obere folgt dem äußeren Feld. Die Durchlässigkeit der Isolationsschicht - und damit einhergehend der Widerstandswert - hängt nun vom Winkel zwischen den Magnetisierungsrichtungen der Ferritschichten ab. Bei paralleler Ausrichtung der Felder ist der Widerstand am kleinsten, bei antiparalleler am Größten. Die erreichbare Widerstandsänderung $\frac{\Delta R}{R}$ ist aufgrund der vertikalen Stromflussrichtung durch die Schichten um ein Vielfaches größer als beim GMR. Bei Raumtemperatur wurden Änderungen bis zu 600% gemessen. Unter Laborbedingungen und bei einer Betriebstemperatur von -170°C sind Änderungen von über 1000% gemessen worden. Dies führt zu höheren Signalamplituden (siehe Abbildung 2.10), welche somit wenig Nachverstärkung benötigen. Der Grundwiderstand lässt sich außerdem von einigen Ohm bis Megaohm variieren, wodurch der Sensor für verschiedene Anwendungen angepasst werden kann [9].

2.3 Verfügbare Hard- und Software aus Vorarbeiten

Zu Beginn der Projektentwicklung ist eine AMR-Sensormatrix entwickelt worden. Abbildung 2.13 zeigt das Tiva Board mit der angeschlossenen AMR-Matrix. Die Controlleransteuerung wurde von Herrn M. Sc. Thorben Schütthe entwickelt und implementiert. Damit gibt es die Möglichkeit über das Terminal den Befehl „-test“ an den Controller zu senden und anschließend die Rohdaten der 8×8 Matrizen für den Sinus- und

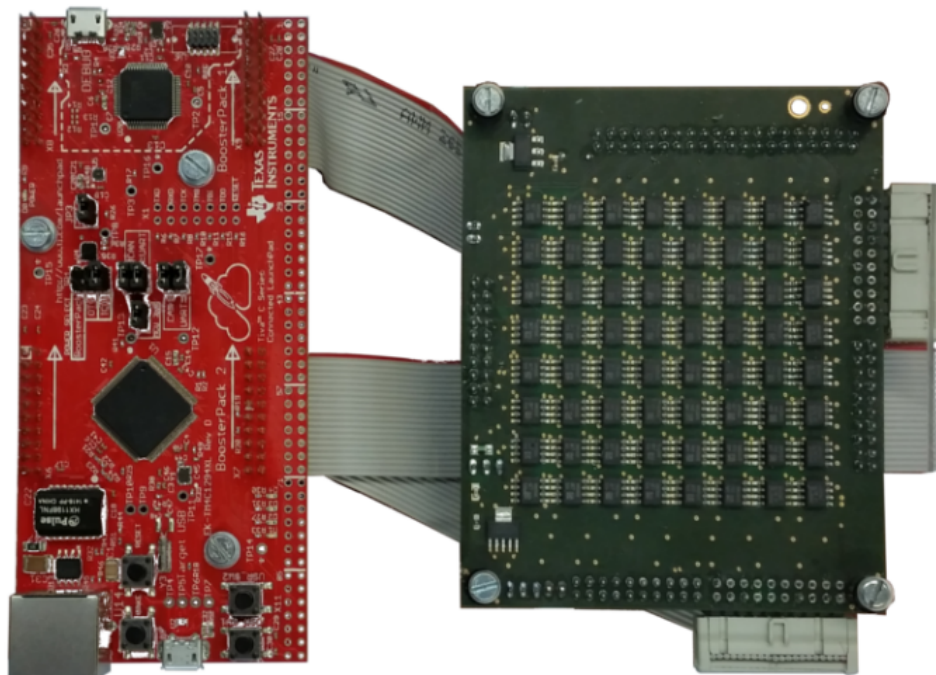


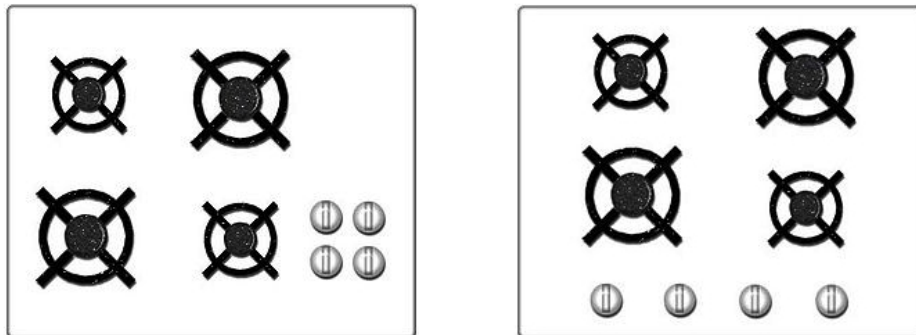
Abbildung 2.13: Ertser Hardwareaufbau des Controllerboards mit einer AMR-Sensormatrix.

Cosinusanteil zu erhalten. Diese Werte können mit Octave weiterverarbeitet und visualisiert werden. Auch hier hat Herr Schütthe erste Testskripte entworfen. Die Entwicklung einer TMR-Sensormatrix wurde in der Bachelorarbeit “Tunnel-Magnetoresistives Sensor-Array - Controllersteuerung, Platinen-Layout und Prüfstandserprobung“ von Herrn B. Sc. Abraham Begic behandelt. Er entwickelte eine neue Platine mit 64 TMR-Sensoren, passte die Ansteuerung für die TMR-Sensoren an und führte erste Testmessungen durch. Diese neue TMR-Matrix mit Ansteuerung soll nun als Grundlage für diese Arbeit dienen.

2.4 Einführung in das Interfacedesign

Die Steuerung des Mikrocontrollers und die Bedienung der Ausgabeoptionen werden über eine grafische Oberfläche getätigt. Für die Entwicklung dieser Schnittstelle zwischen Mensch und Computer hat Donald Norman, Professor für Kognitionswissenschaften in Kalifornien, sechs Richtlinien aufgestellt. Von diesen sechs Richtlinien werden die für dieses Projekt besonders relevanten kurz erläutert [11]. In Kapitel 5.1 wird genauer auf die Nutzung dieser Richtlinien bei der Entwicklung der grafischen Bedienoberfläche eingegangen.

- **Visibility** ist ein wichtiges Grundprinzip, denn je sichtbarer Objekte bzw. Funktionen sind, desto schneller werden sie vom Benutzer wahrgenommen und erkannt.



(a) Gutes Mapping: Die Zuordnung von Schaltfläche und Kochstelle ist direkt zu erkennen.

(b) schlechtes Mapping: Die Zuordnung von Schaltfläche und Kochstelle ist nicht sofort ersichtlich.

Abbildung 2.14: Vergleich von gutem und schlechtem mapping [15].

Die Kernfunktionen sollten also direkt zu sehen sein, um den Benutzer mit den Bedienmöglichkeiten vertraut zu machen.

- **Mapping** bezieht sich auf die Verbindung zwischen der Nutzung und dem resultierenden Effekt. Ein Vergleich zeigt Abbildung 2.14, wobei die Zuordnung der Bedienelemente zu den vier Kochstellen bei einem guten Mapping 2.14(a) sofort erkennbar ist.
- **Affordance** beschreibt die natürliche, gewohnte Nutzung von bekannten als auch unbekannt Funktionen und Objekten. Ein einfaches Beispiel ist die Nutzung eines Buttons, der von einem Nutzer geklickt werden kann. Die intuitive Benutzbarkeit der implementierten Funktionen sollte möglichst hoch gehalten werden.

3 Entwicklung des Gesamtkonzepts

Im Anschluss an die Einführung in die mathematischen- und signalverarbeitungstechnischen Grundlagen wird in diesem Kapitel die konkrete Konzeptentwicklung beschrieben. Beginnend bei den ersten Entwurfsideen werden die Vor- und Nachteile der jeweiligen Systeme, hinsichtlich des späteren Nutzen als kompaktes Demonstrationssystem, beleuchtet. Dieser Entwicklungsprozess ist in Unterkapitel für die jeweiligen Hard- und Softwarebestandteile des Gesamtsystems gegliedert.

3.1 Systementwurf der Plattformen und Auswahl der Baugruppen

Zu Beginn der Entwicklung wurden die Anforderungen festgehalten, die das System im Laufe der Arbeit erfüllen soll. Der Zweck des Demonstrationskoffers ist es, die in Kapitel 2.2 diskutierten Vorteile des Sensor-Arrays zu demonstrieren und anschaulich zu visualisieren. Dabei müssen die aus Vorarbeiten (siehe Kapitel 2.3) bereits vorhandenen Komponenten eingebunden werden. In Abbildung 3.1 ist der erste Systementwurf dargestellt. Nachfolgend werden die einzelnen Komponenten und die Entwicklung des Gesamtsystems im Projektverlauf erklärt.

Die Sensormatrix ist via Pinleiste mit dem Tiva-Board TM4C1294 verbunden. Eine Abbildung des Tiva-Boards findet sich im Anhang D.1. Für die grafische Ausgabe der

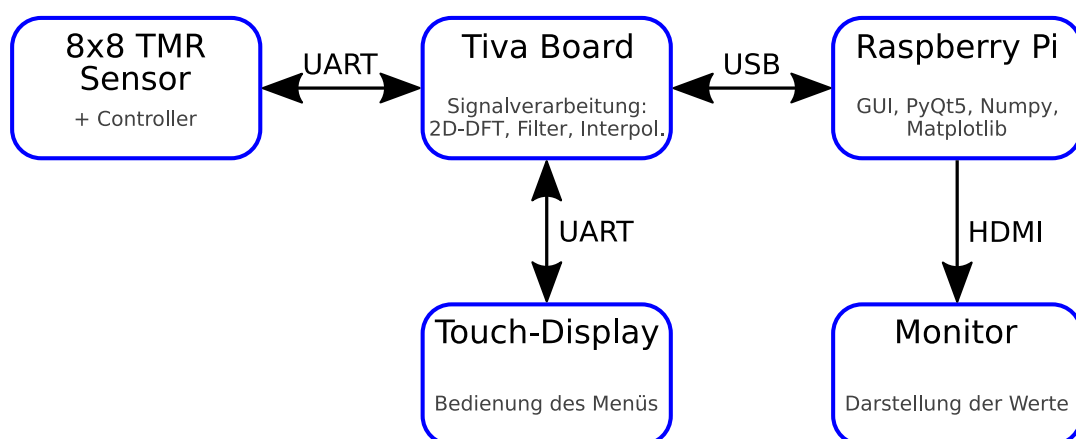


Abbildung 3.1: Erster Konzeptentwurf mit Touch-Display und Schnittstellen der einzelnen Komponenten.

Tabelle 3.1: Gegenüberstellung der Vor- und Nachteile eines Raspberry Pi.

Vorteile	Nachteile
<ul style="list-style-type: none"> • Viele Anschlussmöglichkeiten • Beste Anbindungsmöglichkeiten für Python-Anwendungen • Schnelles System für einfache grafische Anwendungen • Großer Arbeitsspeicher von 1GB • Quad-Core Prozessor • Kompaktes System (lässt sich überall einbauen) • Große Menge und Qualität von Internetquellen (Foren, Anleitungen, Beispiele) 	<ul style="list-style-type: none"> • Geringe Geschwindigkeit im Vergleich zum MC bezüglich der Signalverarbeitung • Geringe Zahl an Bibliotheken (im Gegensatz zu Ubuntu) • Spätere Verfügbarkeit von Programmupdates

Messwerte wird als Plattform ein Raspberry Pi 3 genutzt. Die Vor- und Nachteile sind in Tabelle 3.1 zusammengefasst. Der Raspberry Pi bietet ausreichend Rechenleistung, Speicherplatz sowie die notwendigen Ausgänge zum Anschluss der Peripheriegeräte. Ein USB-Port wird für die Anbindung des Mikrocontrollers und zwei weitere für Maus und Tastatur benötigt. Der HDMI-Ausgang wird mit einem für den Koffer passenden Monitor verbunden. Des Weiteren bietet der Raspberry Pi mit dem Betriebssystem Raspbian und der Programmiersprache Python viele Bibliotheken zur Entwicklung einer grafischen Benutzeroberfläche und Darstellungsmöglichkeiten der Messwerte. Die in der Tabelle 3.1 aufgelisteten Nachteile fallen für dieses Projekt kaum ins Gewicht, da der Raspberry Pi nicht für Echtzeitanwendungen eingesetzt werden soll. Auf die Auswahl der Software und Schwierigkeiten mit Updates und Programmversionen wird im nachfolgenden Unterkapitel 3.2 vertiefend eingegangen.

Neben dem Sensor-Array sollte gemäß dem ursprünglichen Projektentwurf ein Touch-Display an die Pins des Mikrocontrollers angeschlossen werden. Auf diesem sollten die Bedienelemente zur Steuerung des Mikrocontrollers dargestellt werden. Der Vorteil eines Touch-Displays ist, dass die Maus und die Tastatur als Peripheriegeräte entfallen würden. An dem Tiva-Board stehen derzeit nicht genügend Pins zur Verfügung, um ein Touch-Display anschließen zu können. Perspektisch werden noch welche frei, wenn die Arbeit

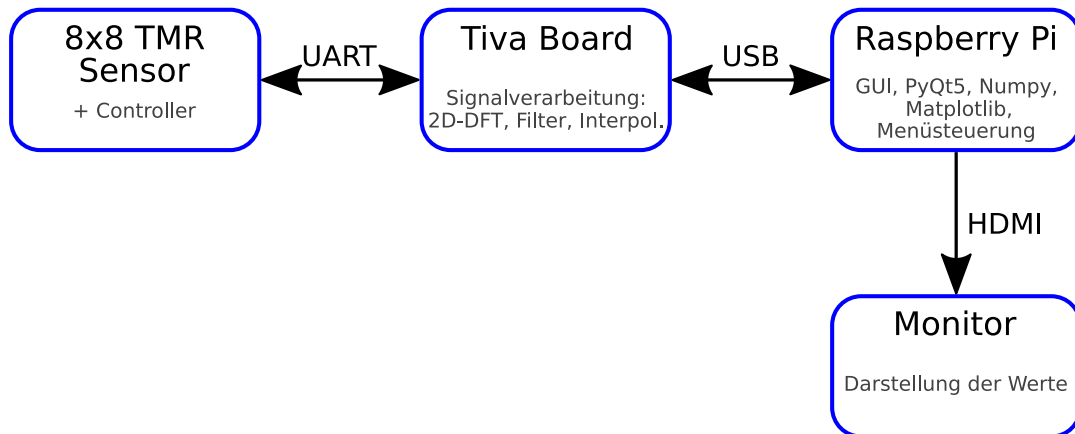


Abbildung 3.2: Finaler Konzeptentwurf ohne Touch-Display und mit Schnittstellen der einzelnen Komponenten.

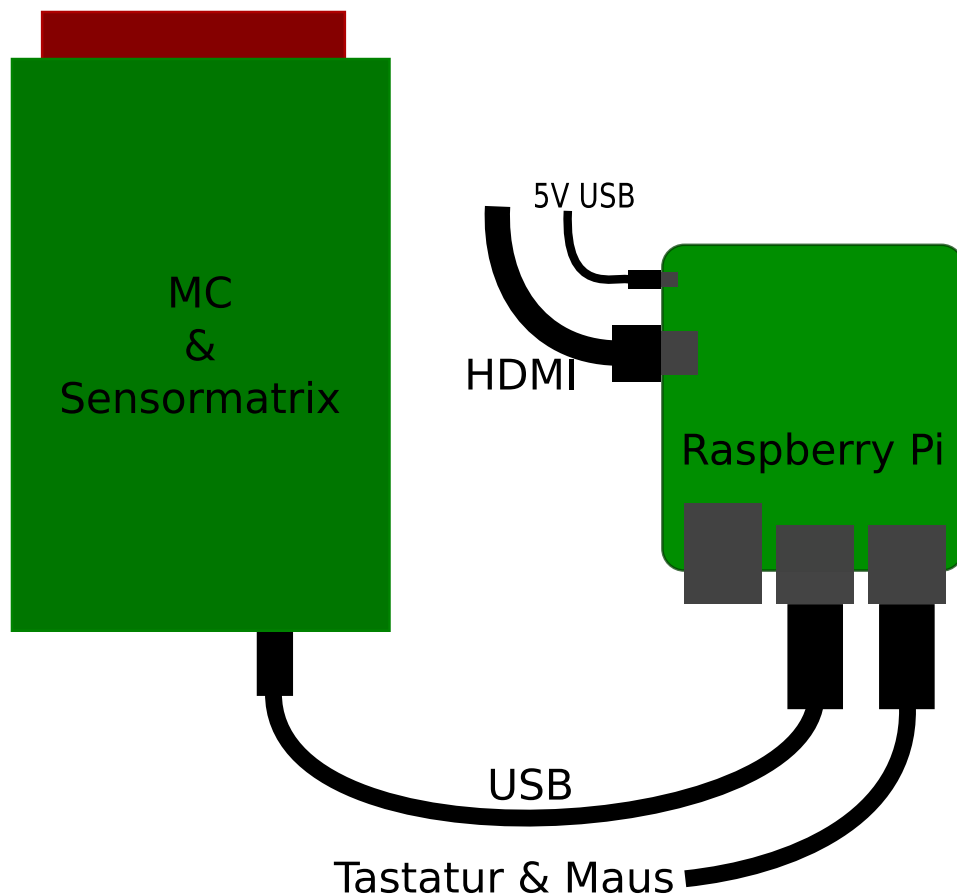


Abbildung 3.3: Schematischer Aufbau des Konzeptentwurfes mit Angabe der Verbindungen und Komponenten

von Herrn Begic zum Entwurf einer TMR-Sensor-Matrix abgeschlossen wird. Im Zweifelsfall aber eine AMR-Sensormatrix eingesetzt werden soll, kann kein Touch-Display verbaut werden. Die AMR-Matrix muss an die 20-Pin-Boosterpacks des Tiva-Boards, siehe Zeichnung D.1 im Anhang, angeschlossen werden. Die TMR-Matrix wird an das 42-Pin-Breadboard angeschlossen. Abbildung 3.2 zeigt den veränderten und finalen Entwurf des Gesamtsystems. Somit kann ein schematischer Aufbau entworfen werden, siehe Abbildung 3.3, der in die Realität umgesetzt werden kann.

3.2 Auswahl der Software-Toolchain

Unter dem Begriff *Toolchain* wird im allgemeinen Sinne die „Werkzeugkette“ bezeichnet, die benötigt wird, um Programmcode ausführbar zu machen. Eine „native“-Toolchain gibt dabei an, dass die Maschine, auf der der Code gebaut wird, dieselbe ist, auf der dieser später ausgeführt wird. In dieser Arbeit kommt die „cross“-Toolchain zur Anwendung, wo das Target eine andere Maschine ist [2]. Für die Subsysteme MC und Raspberry Pi sind in Abbildung 3.4 die Toolchains aufgezeigt. Auf dem Raspberry Pi wird der Code geschrieben, kompiliert und ausgeführt. Der Code für den MC hingegen wird auf einem separaten Computer entwickelt, dort kompiliert und zum Laufen auf den MC geflasht. An erster Stelle der Toolchain-Entwicklung steht die Wahl einer geeigneten Programmiersprache. Zur Auswahl stehen unzählige Programme, Softwarepakete und Programmiersprachen mit Fokus auf bestimmte Anwendungsgebiete. Zur Signalverarbeitung eignet sich in besonderem Maße die Programmiersprache C. Mit C lässt

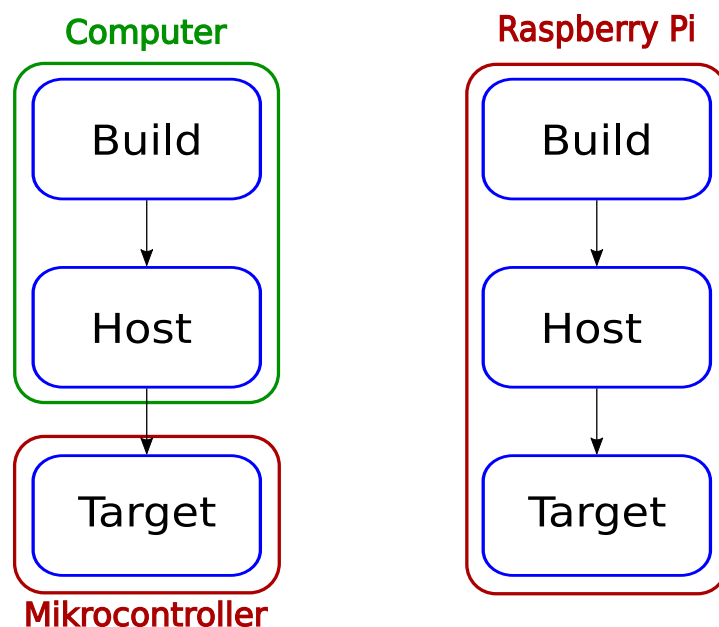


Abbildung 3.4: Toolchain für die Entwicklung der Mikrocontroller-Steuerung (links) und Toolchain für die Entwicklung der GUI (rechts).

sich hardwarenah auf den meisten Mikrocontrollern programmieren und es bietet viele Bibliotheken mit spezifischen Funktionen. Außerdem ist die Ansteuerung der Sensor-Matrix bereits in C programmiert. Dieser Code wird im Laufe dieser Arbeit erweitert (siehe Kapitel 3.3.1). Ein weiterer Punkt, der für C spricht, ist die lange Existenz. C wurde bereits 1972 von Dennis Ritchie entwickelt und verbreitete sich fortan über die ganze Welt [17]. Daher gibt es Unmengen an Programmbeispielen und Hilfen zur Entwicklung im Internet. Als Entwicklungsumgebung wird das Code Composer Studio v6 (CCS) eingesetzt. Dieses ist ein Integrated Development Environment (IDE) aus dem Hause Texas Instruments (TI), um Anwendungen für die eingebetteten Prozessoren zu entwickeln. Für das Projekt kann der eingesetzte MC in den Einstellungen ausgewählt werden, um passende Bibliotheken und Hardwareinformationen in das Projekt zu implementieren. Der fertige Programmcode kann kompiliert werden, anschließend auf das Board geflasht und ausgeführt werden.

Anfänglich sollte GNU Octave, eine MATLAB nahe open-source Software, auf dem Raspberry Pi installiert werden, um den bereits vorhandenen Code zum empfangen von Sensorwerten zu übernehmen. Für den Raspberry Pi gab es jedoch nicht die aktuellste Version von Octave und damit nicht alle benötigten Pakete¹. Die aktuelle Version von Octave gibt es derzeit nur für eine instabile Version des Betriebssystems Raspbian. Für die Aktivierung werden in der Datei `sources.list` im Ordner `/etc/apt/` die nachfolgende Änderungen vorgenommen. Der mit `# Stable` markierte Text wird auskommentiert.

```
# Stable
deb http://ftp.debian.org/debian stable main contrib non-free
deb-src http://ftp.debian.org/debian stable main contrib non-free

# Unstable
deb http://ftp.debian.org/debian unstable main contrib non-free
deb-src http://ftp.debian.org/debian unstable main contrib non-free
```

Nach einem Neustart des Gerätes werden beim Update die Pakete nun von dem Unstable-Verzeichnis bezogen. Der Begriff „unstable“ bezeichnet den Status der Betriebssystemversion - in diesem Fall noch in der Entwicklung. Auf der Website von Debian wird die Version für Entwickler zur Verfügung gestellt und ist nicht für den „normalen“ Gebrauch gedacht [12]. Auch unter der instabilen Version stehen die nötigen Pakete nicht zur Verfügung. Daher wurde die Installation zurückgesetzt.

Eine weitere Möglichkeit zur Programmierung der GUI und Diagrammausgabe ist Python. Die benötigten Pakete werden auf den Raspberry Pi heruntergeladen. Nachfolgend wird in der Liste die Erklärung zum Bedarf des jeweiligen Pakets ausgeführt:

- **Serial:** In diesem Paket sind alle Funktionen für den Aufbau einer seriellen Verbindung enthalten. Dazu gehören sowohl Funktionen wie das Definieren der genauen Verbindungsdetails, als auch die Befehle zum Schreiben und Lesen.

¹Octave wird durch einzelne Pakete erweitert. Mit dem Octave-Paket-Manager kann nach benötigten Paketen im Internet gesucht und diese installiert werden

- **Matplotlib:** Diese Bibliothek ermöglicht die Visualisierung von Werten. Auf der Website werden unzählige Diagramme zum kostenlosen Download angeboten. Eine Vielzahl an Darstellungen ist bereits als Standard enthalten.
- **Numpy:** Abgeleitet von „numeric-python“ stellt dieses Paket neben vielen mathematischen Grundfunktionen noch einen großen Umfang an Vektor- und Matrixoperationen zur Verfügung. Dazu gibt es einen eigenen Array-Datentyp, der auch in dieser Arbeit eingesetzt wird.
- **PyQt5²:** Mit diesem Qt-Paket eröffnen sich zahlreiche Möglichkeiten der Anwendungsentwicklung, von NFC und Bluetooth Anbindungen bis hin zu chromium-basierten Webbrowsern, angebunden an Python. Die Bibliothek bietet alle gängigen GUI Module und einen Designer, den QtCreator, um die Fenster mit Hilfe von „drag-and-drop“ der Elemente zu entwerfen.

Als Entwicklungsumgebung wird mit dem Texteditor Geany, der das GTK3 Toolkit nutzt, gearbeitet. Der Editor läuft flüssig und schnell auf dem Raspberry Pi und öffnet beim Compilieren und Bauen neben der Anwendung auch ein Terminal, in dem Fehlermeldungen und weitere Hinweise ausgegeben werden können. Der Ablauf für den Raspberry Pi sieht wie folgt aus. Es werden die Fenster mit dem QtCreator entworfen und anschließend in Python importiert. Im Python Skript können nun die Schaltflächen der Fenster mit Events verknüpft werden. Diese Anwendung lässt sich anschließend auf dem Raspberry Pi starten und ausführen.

3.3 Entwicklung des Programmes

Zur Entwicklung des gesamten Programmes zählt an erster Stelle die Auswahl der benötigten Funktionen. Im folgenden werden sie den vorhandenen Plattformen zur Implementierung zugeordnet werden. Dann wird ein konkreter Programmablauf erstellt. Diese Entwicklungsschritte werden in den folgenden Unterkapiteln beschrieben.

3.3.1 Auswahl und Verteilung der Grundfunktionen

Um die Grundfunktionen, die das finale System erfüllen soll, festzulegen, wird ein schematischer Ablaufplan erarbeitet (siehe Abbildung 3.5). Für die Signalaufnahme ist die Grundlage, eine funktionierende TMR-Sensor-Matrix, bereits geschaffen. Die Messwertgewinnung ist teilweise ebenfalls auf dem Tiva-Board implementiert. Da das System auch eine 15×15 Matrix simulieren soll und es allerdings nur 8×8 Messwerte gibt, wird die in Kapitel 2.1.2 eingeführte Methode der Interpolation angewendet. Die Interpolation von einer 8×8 Matrix auf eine 15×15 Matrix kann durch einfache Matrixmultiplikationen realisiert werden und dann für weitere Signalverarbeitungszwecke zur Verfügung stehen.

²PyQt5 ist ©Riverbank Computing Limited und wird unter der GPL v3 Lizenz für nicht-kommerzielle Zwecke verwendet.

Somit wird diese Methode in C-Code auf dem Tiva-Board implementiert. Nach der Gewinnung der Messwertmatrizen müssten die Messwerte noch weiter verarbeitet werden. Vor der Vorverarbeitung, wie eine Filterung, muss eine Offsetkompensation durchgeführt werden. Die Umsetzung mit der KQ-Methode, wie in Kapitel 2.1.3 eingeführt, wird ebenfalls auf dem Tiva-Board implementiert. Diese Kompensation soll jedes Mal bei Programmstart durchgeführt werden können, oder es soll die Möglichkeit geben, die Ergebnisse der letzten Kompensation für den Betrieb zu verwenden. Die oben erwähnte Filterung wird bei den Größen der Matrizen, mit jeweils 64 oder 225 Werten, ohne Hilfe eine Fourier-Transformation eine sehr rechenintensive und damit zeitaufwändige Aufgabe. Aus dem Grund wird zuerst eine 2D-DFT implementiert. Eine umfangreiche Bibliothek mit einer sehr schnellen Transformation, der Fastest Fourier Transform in the West (FFTW), haben Matteo Frigo und Steven G. Johnson am Massachusetts Institute of Technology (MIT) entwickelt. Informationen zur Funktionsweise finden sich in der Literatur [6]. Aus Gründen der Geschwindigkeit soll die DFT, die Filterung sowie die inverse Diskrete Fourier-Transformation (IDFT) auch auf dem Tiva-Board implementiert werden. Bei einem Test der FFTW wird jedoch festgestellt, dass der Code nicht auf das Tiva-Board gespielt werden kann. Mit einer Fehlermeldung bricht der Prozess ab, da die Bibliotheken nicht für das Board geeignet seien. Aus diesem Grund werden die Formeln für die DFT manuell in C implementiert. Die letzte Funktion, die noch auf dem MC implementiert werden soll ist der CORDIC-Algorithmus zur Winkelbestimmung. Aufgrund des Rechenaufwands ist der Raspberry Pi dafür ungeeignet. Der Drehwinkel und die entsprechenden Werte sollen vom Mikrocontroller an den Raspberry Pi übermittelt werden.

Beim fünften Punkt aus Abbildung 3.5 geht es um die Darstellung der Messwerte und der Ergebnisse. Die grafischen Funktionen sollen auf dem Raspberry Pi mit Python umgesetzt werden. Vor der eigentlichen Visualisierung der Messwerte, müssen in der Bedienoberfläche einige Einstellungen vorgenommen werden. In dem Hauptfenster soll die Filterung angepasst, die Interpolation ein- und ausgeschaltet und ein Diagramm ausgewählt werden können. Mit Betätigung der Schaltfläche „Diagramm erstellen“ sollen die Informationen an den Mikrocontroller übermittelt werden und das Diagrammfenster geöffnet werden. Die Messwerte sollen in der vom Benutzer gewünschten Form dargestellt werden. Für genauere Feinabstimmungen können die Filterkoeffizienten noch einzeln vom Benutzer verändert werden.

3.3.2 Entwurf des Programmablaufs

Um einen Überblick über den Programmablauf zu bekommen und in nachfolgenden Kapiteln einen Bezugspunkt zu haben, wird in diesem Unterkapitel der Entwurf des gesamten Programmes erläutert. Die Entwicklung und genaue Implementierung der einzelnen Funktionen ist in Kapitel 4 zum Mikrocontroller und in Kapitel 5 zum Raspberry Pi dargestellt.

Gestartet wird die Software auf dem Raspberry Pi. Dort soll entweder über eine `.exe`



Abbildung 3.5: Schematischer Arbeitsablauf, der von einer Signalverarbeitung und Bedienoberfläche umgesetzt werden muss.

oder über eine IDE, wie Geany, die Main-Funktion des Python-Skriptes ausgeführt werden. Zum Programmstart wird das Kalibrierungsfenster geöffnet. Hier werden dem Nutzer die Möglichkeiten einer neuen Kalibrierung sowie das Laden von vorhandenen Daten oder das Überspringen der Kalibrierung zur Auswahl angezeigt. Wenn eine neue Kalibrierung gestartet wird, wird diese Information an den MC gesendet und eine Kalibrierfahrt von 360° durchgeführt. Dabei wird alle 15° eine Messung durchgeführt und am Ende über alle 24 Messungen gemittelt. Außerdem soll eine schnelle „one-shot“-Kalibrierung mit einem Quadrupol durchgeführt werden können. Der Winkel wird dabei kontinuierlich an den Raspberry Pi übermittelt, um dem Nutzer über einen Ladebalken den Fortschritt der Kalibrierung anzuzeigen. Nach Abschluss wird das Fenster geschlossen und das Hauptfenster geöffnet.

Im Hauptfenster sollen alle Einstellungsmöglichkeiten zur Darstellung und Vorverarbeitung der Messwerte zur Verfügung stehen, sowie ein Buttons zum Aufrufen der Bedienungsanleitung. Die erste Einstellungsmöglichkeit ist das Ein- und Ausschalten der Interpolation. In der nächsten Option kann die Filterung eingestellt werden. Das Betätigen dieses Buttons soll ein entsprechendes Fenster mit den Einstellungsmöglichkeiten öffnen. Es gibt die Möglichkeit, einen Filter auszuwählen und, wenn gewünscht, die Koeffizienten des 8×8 Filters manuell anzupassen. Dafür wird der linke obere Quadrant der Filtermatrix angezeigt. Da die Matrix für die X- und Y-Achse achsensymmetrisch ist, kann durch diese Reduktion Platz gespart und die Übersichtlichkeit verbessert werden. Diese Matrix ist entweder 4×4 oder 8×8 groß. Durch Betätigen des „Speichern“ Buttons werden die vorgenommenen Einstellungen übernommen und das Fenster wieder geschlossen. Als letztes wird ein Diagramm ausgewählt und über die Schaltfläche „Diagramm erstellen“ zu bestätigen. Nach Betätigung werden die Einstellungen gespeichert und ebenfalls an den Mikrocontroller gesendet.

Bis zu vier Daten-Streams für vier Diagramm-Fenster sollen parallel laufen können. Dazu gibt es auf dem Raspberry Pi einen Thread, der die Einstellungen kontinuierlich an den Mikrocontroller sendet und Daten von dort empfängt und in globalen Variablen speichert. Von dort werden auch die Werte für die Diagramme bezogen. Vom Mikrocontroller werden die Einstellungen empfangen und die Sensorwerte entsprechend verarbeitet. Gesendet wird jeweils die bearbeitete Sensor-Matrix im 15×15 Format und der zugehörige

Winkel. Auf dem Raspberry Pi ist für die erhaltenen Werte hinterlegt, ob entweder 8×8 Werte aus der Matrix ausgelesen werden sollen oder die gesamte Matrix gespeichert werden muss. Die Ausgabe in ein Diagramm erfolgt kontinuierlich indem die neuen Werte jeweils aus den globalen Variablen ausgelesen und in dem gewählten Diagramm dargestellt werden. Erst wenn von den vier Fenstern wieder eines geschlossen wird, kann mit neuen Einstellungen ein weiteres Fenster geöffnet werden. Mehr Fenster oder Diagramme kann der Raspberry Pi nicht gleichzeitig verarbeiten. Es würde zu Verzögerungen in der Darstellung kommen.

3.4 Konzept des mechanischen Aufbaus

Für den Transport und die Präsentation des Sensor-Arrays benötigt es ein Vorführungssystem. Mit diesem System soll ein Magnet über der Sensorplatte elektronisch gedreht werden können. Des weiteren sollen verschiedene Störfelder montierbar sein. Ein erster Entwurf, der in einem Koffer transportiert werden kann ist in Abbildung 3.6 dargestellt. an der rechten Kofferseite befinden sich die Anschlüsse für die Stromversorgung, die Anschlüsse für USB-Geräte und einen Monitor.

Im Laufe der Arbeit wurde die Fertigung eines ersten Prototyp für eine Halterung an Herrn Grejdieru übergeben. In enger Zusammenarbeit wurde sich über die Fertigung ausgetauscht. Die Materialien sollten leicht sein, also entweder aus Holz oder Plastik oder einer Kombination aus beidem. Es dürfen außerdem keine magnetischen Bauteile

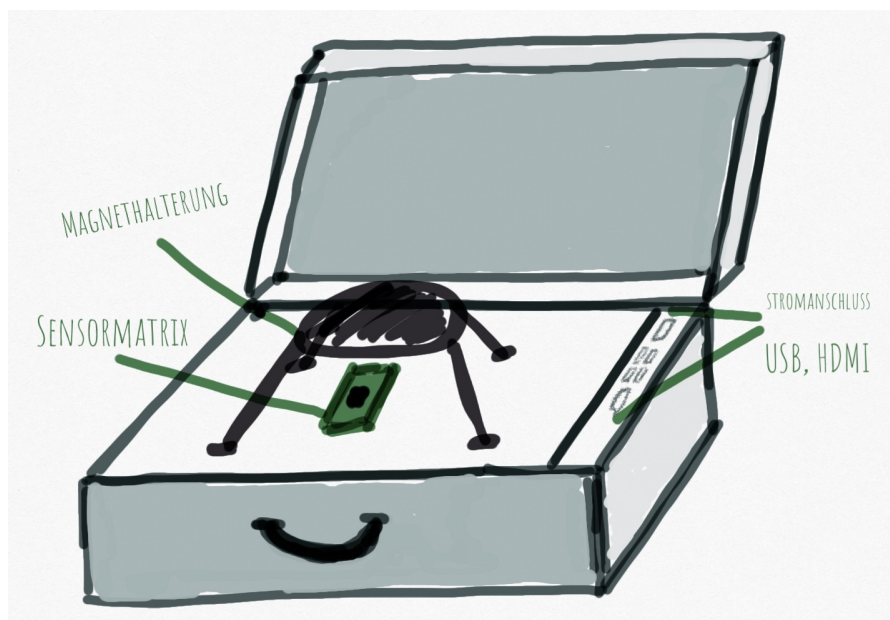
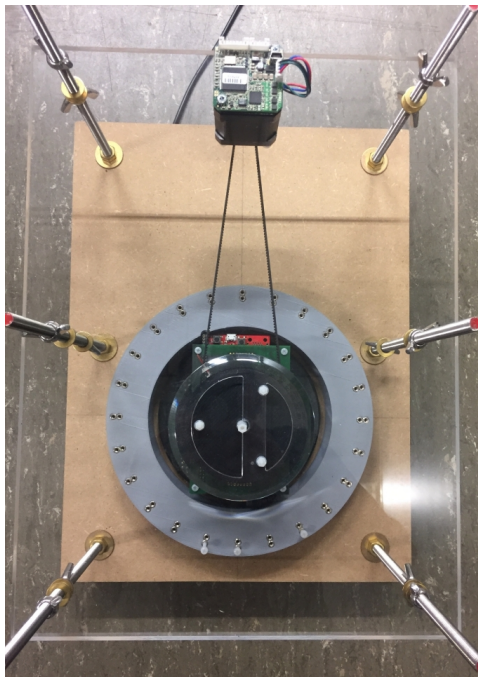


Abbildung 3.6: Erster Aufbau eines Transportkonzeptes.

verbaut werden, da diese die Messungen beeinflussen könnten. Das System muss einfach aufzubauen sein und die Halterung in dem Koffer verstaut werden können.

Es wird sich für ein Holzgestell als Fundament geeinigt, da dieses die nötige Stabilität für weitere Aufbauten liefert. Die Halterung für Störfelder wird mit einem 3D-Drucker hergestellt. Die Störfeldhalterung wird so auf dem Holzteil montiert, dass in der Mitte das Tiva-Board mit Sensorplatine montiert werden kann und das Störfeld horizontal durch die Sensoren verläuft. Des Weiteren wird der Aufbau einer Drehvorrichtung für einen Magneten entwickelt. Diese soll mit einem Schrittmotor der Firma Trinamic realisiert werden. Der Motor kann via USB angesteuert werden. Da der Motor von den Magneten beeinflussbar ist, darf dieser nicht zu nah an der Messvorrichtung montiert werden. Die Lösung ist ein Riemen, damit die Messung für den Magneten aus einiger Entfernung (etwa 20cm) durchgeführt werden kann. Die Drehvorrichtung sowie der Motor werden an einer 10mm dicken Plexiglasplatte befestigt. Dadurch bleibt ein Überblick über den Messplatz bestehen. Am Rand des Holzfundaments werden je drei Gewindestangen aus Edelstahl befestigt. Durch die Plexiglasplatte werden sechs Löcher gebohrt und Flügelmuttern auf die Gewindestangen gedreht. Die Plexiglasplatte kann damit über dem Sensor-Arrays in ihrer Höhe variiert werden. Trotz des hohen Gewichts des Holzes ist die Halterung immer transportabel.



(a) Darstellung der Draufsicht der Halterung.



(b) Darstellung der Seitenansicht der Halterung.

Abbildung 3.7: Darstellung des fertigen Konzepts der Magnethalterung.

4 Software auf dem Mikrocontroller

Aufbauend auf der Verteilung der Grundfunktionen im Unterkapitel 3.3.1 steht nun die Implementierung der Algorithmen im Fokus. Der auf dem MC bereits vorhandene Code muss für die nötige Kommunikation und Verarbeitung angepasst werden. Diese Anpassungen sowie die Kozeptionierung der Kommunikation des Mikrocontrollers mit dem Raspberry Pi wird nachfolgend beschrieben.

4.1 Modifikationen von Vorarbeiten

Von den vorhandenen Dateien müssen nur wenige bearbeitet werden, da hauptsächlich neue Dateien mit den Funktionen zur Signalverarbeitung hinzugefügt werden. Im Folgenden werden die Änderungen an den einzelnen Dateien beschrieben.

vals_to_terminal.c: In dieser Datei, dargestellt in Listing A.9, sind die Funktion zum Senden verschiedener Daten an das UART-Terminal implementiert. Da statt zwei Arrays für die Datenspeicherung ein Struct-Array verwendet wird, wurde dahingehend die Sendefunktion `vals_to_terminal8()` angepasst. Weiterhin wurden zwei Funktionen zum Senden der Winkel implementiert. Da es sich hier bei dem Winkel-Array in der Funktion `print_angle8()` um ein Double-Array handelt, beziehungsweise beim Senden in der Funktion `calibration_to_terminal()` des Mittelwertes um einen einzelnen Winkel, mussten dafür neue Funktionen implementiert werden.

main.c: Wie bereits beschrieben wurde in dieser Datei die komplette Empfangsroutine hinzugefügt. Hier gab es anfangs nur eine `while(1)` Schleife und der Interruptbefehl „-test“ wurde im Interrupt-Handler verarbeitet, woraufhin die unbearbeiteten Sensordaten gesendet wurden. Wenn das Flag `buffer_full` von der Interrupt-Routine gesetzt ist, wird die Verarbeitung durchgeführt. Die Switch-Case, mit der die Signalverarbeitung über den ersten empfangenen Charakter maßgeblich geregelt wird, ist in Listing A.8 einzusehen. Die Empfangsroutine gibt durch den Befehl vom Raspberry Pi den Verlauf der Signalverarbeitung vor. Je nachdem, welcher Kalibrierbefehl zum Programmstart vom MC gesendet wird, wird ein globales Flag `kurzOffset` gesetzt. Wenn beispielsweise eine kurze Kalibrierung durchgeführt wird, wird `kurzOffset = 1` gesetzt und in der Offset-Subtraktion der Offset-Mittelwert von jedem Sensor abgezogen. Die Möglichkeiten weiterer Verarbeitungsabläufe sind in der Abbildung 4.1 angegeben. Die Sensor-Daten werden für jeden eingehenden Befehl entsprechend verarbeitet und das gewünschte Resultat wieder zum Raspberry Pi gesendet. Die ersten Cases behandeln die Initialisierung

der Twiddle-Matrizen und das Bestimmen der Sensor-Offsets. Weitere Cases beinhalten die Verarbeitung für angeforderte Winkel-Matrizen. Die Verarbeitung unterscheidet sich ja nachdem, ob interpoliert, gefiltert oder nur die Winkel ohne Vorverarbeitung angefordert wurden. Gleiches gilt für das Senden von Sinus- und Cosinus-Werten. Die Switch-Case bietet noch Platz für weitere Befehle.

Interrupt_Handler.c: Hier gab es ursprünglich eine `while(1)` Schleife, die den Input-Buffer ausgelesen hat. Da in einem Interrupt-Handler aber keine umfangreichere Verarbeitung der eingehenden Befehle stattfinden darf, wird hier lediglich das Speichern des eingehenden `char` geregelt. Eingehende `Strings` sind mit einem `"r"` terminiert. Sobald das `"r"` registriert wird, wird das Flag `buffer_full` gesetzt, dass der Befehl fertig eingelesen wurde. Die Speicherung erfolgt in zwei globale Arrays. Ein Array beinhaltet den eingegangenen Befehl (die ersten vier Zeichen) und das Andere die Filterkoeffizienten (Ziffer fünf bis zur Terminierung). Nach dem Setzen des Flags kann die Verarbeitung in der Main-Funktion beginnen. Die Optimierung des Interrupt-Handlers ist in Listing A.10 einzusehen.

Get_Values.c: Die empfangenen Signalwerte der Sensoren wurden bisher in einem Sinus- und einem Cosinus-Array als `unsigned int` gespeichert. Durch die Implementierung des `struct complex` Arrays, müssen die Sensorwerte zu `double` gecastet werden. Diese Werte werden jeweils in dem Real- oder Imaginärteil des Arrays `inputData` gespeichert, siehe Listing A.7.

init_prototype.h: Die Implementierung der neuen Methoden für die Signalverarbeitung und das Senden der Daten erfolgt objektorientiert. Deshalb müssen die neuen Funktionen in dieser Datei als Prototypen initialisiert werden, damit der Linker diese im Gesamtsystem verknüpfen kann. Die Funktionsprototypen wurden bezüglich ihrer Dateizugehörigkeit sortiert. Somit herrscht eine bessere Übersicht, wenn zukünftig Änderungen an dem Programmcode vorgenommen werden. Die Änderungen an der Header-Datei sind in Listing A.12 nachzulesen.

include.h: In dieser Include-Datei, dargestellt in Listing A.11, wurden weitere globale Variablen deklariert. Dies geschieht, damit diese für alle Funktionen zugänglich sind.

4.2 Implementierung der Signalverarbeitungsmethoden

Die Grundlage einer Implementierung von Signalverarbeitungsmethoden ist meistens die Formel eines Algorithmus. Solche Formeln lassen sich in Programmcode umwandeln, jedoch muss diese Formel komplett aufgeschlüsselt berechnet werden. Wenn zum Beispiel in der Formel zwei Matrizen **A** und **B** multipliziert werden, müssen die einzelnen Elemente der Matrizen in einer Schleife multipliziert werden. Wenn solche Operationen

häufiger vorkommen, bietet es sich an, eine eigene Funktion zu schreiben, die zwei übergebene Matrizen multipliziert und das Ergebnis zurückgibt. Solche Maßnahmen bringen Übersichtlichkeit und vereinfachen das Debugging des Codes.

Abbildung 4.1 zeigt den Ablauf der einzelnen Funktionen auf dem Mikrocontroller. Die grünen Pfeile geben die Verbindung mit dem Raspberry Pi an. Entweder sind es eingehende Befehle, die den Programmablauf bestimmen, oder es sind Daten, die an den Raspberry Pi gesendet werden. Die nachfolgenden Unterkapitel sind entsprechend der Reihenfolge des Programmablaufs gegliedert. Es wird jeweils der Code erläutert und wie die Algorithmen umgesetzt wurden. Für die meisten Funktionen gibt es jeweils eine Funktion, die Matrizen mit 8×8 Werten und eine Funktion, die die interpolierten Werte (15×15) verarbeitet. Da auf dem Mikrocontroller ausreichend Speicherplatz zur Verfügung steht, wurde dies für eine bessere Übersicht und zum besseren Debugging so implementiert. In den nachfolgenden Beschreibungen werden fast ausschließlich die Funktionen für die 8×8 -Berechnungen aufgeführt. Es gibt jedoch immer ein Gegenstück für die interpolierte Matrix¹. Dies wird in Abbildung 4.1 deutlich.

Offsetkompensation: Vor der eigentlichen Datenverarbeitung, müssen die Messwerte von den Sensoren ausgelesen und gespeichert werden, wie in Kapitel 4.1 in der Funktion `get_values.c` beschrieben. Im Anschluss an das Einlesen und Speichern der Daten in dem `struct complex inputData` wird der Offset berechnet. Wenn die schnelle Kalibrierung durchgeführt wird, wird das Array an die Funktion `calculate_offset_8()` in der Listing A.1 übergeben. In dieser Funktion wird der Offset der einzelnen Sensoren, nach dem in den Grundlagen 2.1.4 eingeführten Algorithmus, berechnet und gemittelt. Gespeichert wird der Real- und Imaginärteil des Offsets in dem globalen Array `resultOffset`. Somit kann nach dem Einlesen weiterer Daten jeweils der Sensor-Offset subtrahiert werden. Mit der Durchführung der Langzeitkalibrierung sendet der Mikrocontroller 24 mal die Rohwerte an den Raspberry Pi. Nach Abschluss der Messung werden zwei Matrizen vom Raspberry Pi an den Mikrocontroller zurückgesendet. Dabei handelt es sich um 64 Cosinus- und 64 Sinuswerte. Diese werden in der Matrix `offsetMatrix` gespeichert. Die Subtraktion wird in der Funktion `sub_offset8()` durchgeführt. Je nach gesetzter, globaler Variable `kurzOffset` wird der Mittelwert oder die Matrix zur Subtraktion verwendet. Der Funktion werden im laufenden Betrieb die Eingangsdaten übergeben und es wird von Real- und Imaginärteil der Sensor-Offset subtrahiert.

Interpolation: Wenn vom Raspberry Pi der Befehl kommt, dass interpolierte Daten gesendet werden sollen, wird das `inputData` Array an die Funktion `interpolieren` in Listing A.2 übergeben. Zuerst werden die Messwerte in dem globalen Array `interpoliert15` so gespeichert, dass jeder zweite Wert in der Matrix beschrieben wird. Die Zwischenwerte bleiben Null und werden im nächsten Schritt aus den Umgebungswerten interpoliert (siehe Abbildung 2.2). In einer doppelten For-Schleife werden daher die Nachbarwerte

¹Beispiel: die Funktionen `calculate_offset_8()` und `calculate_offset_15()`.

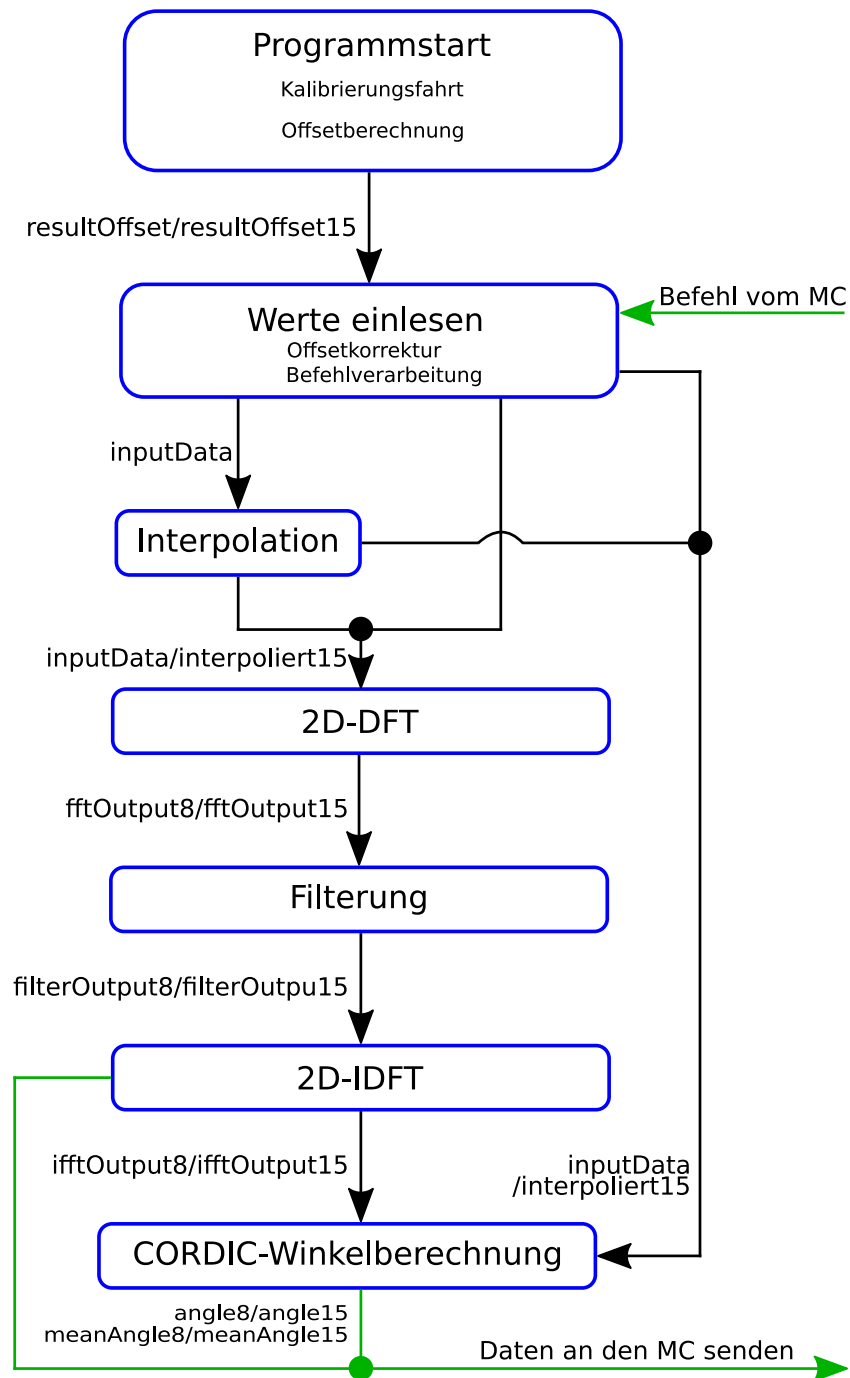


Abbildung 4.1: Programmablauf auf dem Mikrocontroller mit ein- und ausgehender Verbindung zum Raspberry Pi.

zu je einem Halb- oder einem Viertel-Teil addiert und gespeichert. Des Weiteren soll mit der Interpolation die Offsetmatrix der Langzeitkalibrierung in eine 15×15 Matrix übertragen werden.

Fourier-Transformation: Die Berechnung der Fouriertransformation, dargestellt in Listing A.3, wird bereits zum Programmstart vorbereitet. Wie aus dem Grundlagenteil hervorgeht, müssen die Twiddle-Matrizen nur einmal zum Programmstart berechnet und gespeichert werden. Der Funktion `fft()` müssen keine Parameter übergeben werden. In der Berechnung wird direkt das Array `inputData` verwendet. Für den ersten Schritt wird eine komplexe Multiplikation der Matrizen durchgeführt und in einem Buffer gespeichert. Die zweite Multiplikation mit der Twiddle-Matrix muss ebenfalls als komplexe Multiplikation realisiert werden. Das Ergebnis wird in dem globalen Array `fftOutput8` gespeichert. Die inverse Fourier-Transformation wird im Anschluss an die Filterung durchgeführt, um die Werte vom Bild- zurück in den Zeitbereich zu transformieren. Hierfür werden die gefilterten Werte im Array `filterOutput8` komplex mit der inversen Twiddle-Matrix multipliziert und in einem Buffer zwischengespeichert. Das Ergebnis der zweiten komplexen Matrixmultiplikation von Buffer und inverser Twiddle-Matrix wird, nach der Normierung mit $\frac{1}{64}$ (der Anzahl Matrix-Elemente) in dem globalen Array `ifftOutput8` gespeichert.

Filterung: Für die Filterung der Messwerte sind bereits zwei Filter vorbereitet, ein Tiefpass und ein Bandpass, gespeichert in globalen Arrays (Listing A.5). Die Berechnung der Filterkoeffizienten ist mit Octave im Vorfeld durchgeführt worden und in Listing C.1

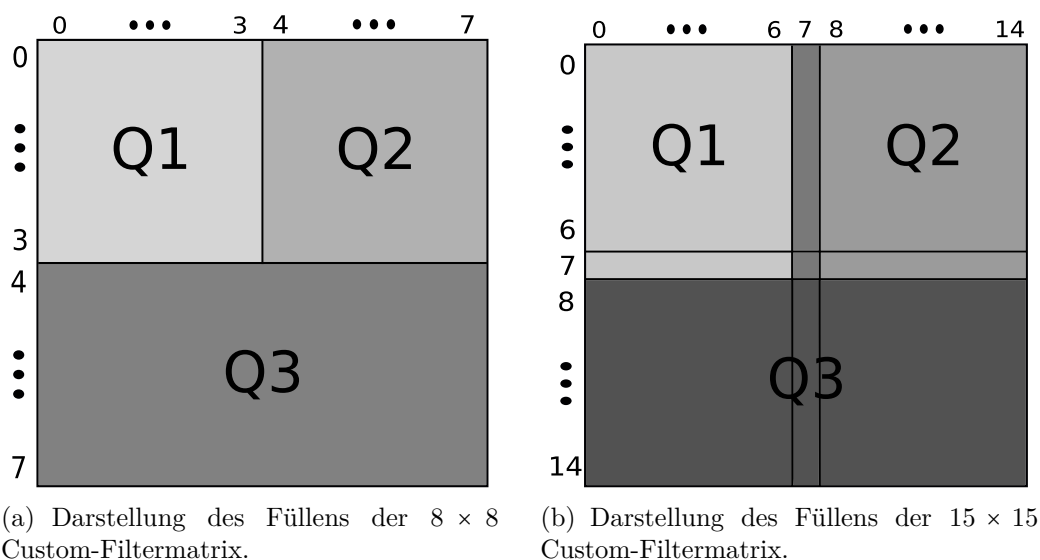


Abbildung 4.2: Schematische Darstellung des Algorithmus zum Füllen der Filtermatrizen.

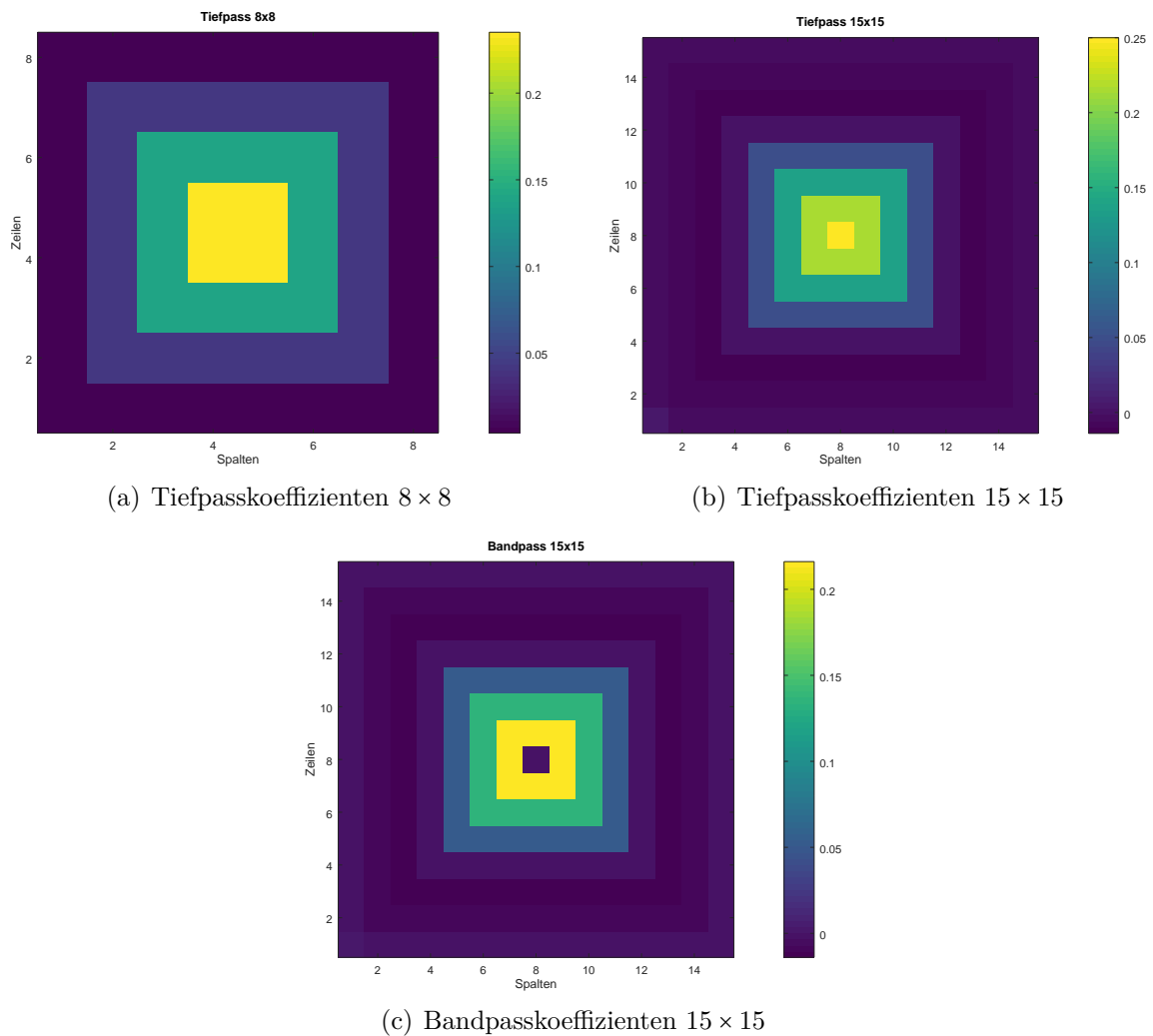


Abbildung 4.3: Grafische Darstellung der Tief- und Bandpassfilter.

dargestellt. Eine Visualisierung der Filter ist in Abbildung 4.3 dargestellt. Für die 8×8 Matrix wird kein Bandpass vorgegeben, da kein konkreter Mittelpunkt gegeben ist, der auf Null gesetzt werden kann, um den Offsetanteil aus dem Spektrum zu filtern. Wenn in dem Befehl vom Raspberry Pi eine Filterung angeordnet wird, wird der Funktion `filter8()` ein Filtertyp und die Matrix `fftOutput8` übergeben. Falls jedoch die Filterkoeffizienten vom Benutzer verändert wurden, müssen die übertragenen Koeffizienten eingelesen und anschließend zur Filterung verwendet werden. Übergeben bekommt der Mikrocontroller nur die Werte des ersten Quadranten, da die Matrizen achsensymmetrisch sind. In Abbildung 4.2 sind die Algorithmen der Speicherung schematisch dargestellt. Für eine 8×8 Matrix wird der erste Quadrant mit den Koeffizienten gefüllt und anschließend gespiegelt in den zweiten Quadranten kopiert. Quadrant eins und zwei werden nun im letzten Schritt wiederum gespiegelt in Quadrant drei kopiert. Bei der 15×15

Matrix müssen die Kopiervorgänge angepasst werden, da aufgrund der ungeraden Zeilen- und Spaltenzahl, die Symmetrieachsen nicht zwischen zwei Zeilen\Spalten liegen sondern auf der mittleren Zeile\Spalte. Der erste Schritt ist wieder das Speichern der Koeffizienten im ersten Quadranten der Größe 8×8 . Im zweiten Schritt wird in Quadrant zwei kopiert, wobei die Spalte sieben überschrieben wird. Die Werte bleiben dieselben, aber es muss kein gesonderter Code erstellt werden, um die Werte beim Kopieren zu überspringen. Das Kopieren der Quadranten eins und zwei, dekrementiert von Zeile sechs bis null, in den Quadranten drei, inkrementiert von Zeile acht bis 14, wird ohne die siebte Zeile vorgenommen.

Zum Speichern der Werte stehen zwei Arrays, `CustomFilter_8` und `CustomFilter_15`, zur Verfügung. In der Funktion `filter8()` wird in einer Switch-Case geprüft, welches Filter genutzt werden soll und diese Werte werden an die Funktion `multiply8` übertragen. Die Matrizen werden im Anschluss multipliziert und das Ergebnis in der Matrix `filterOutput8` gespeichert und der IDFT-Funktion übergeben.

CORDIC-Algorithmus: Die Winkelberechnung ist in zwei Funktionen gegliedert, die in Listing A.6 aufgeführt sind. Die Funktion `cordic()` bekommt zwei double-Werte als Input, einen X- und einen Y-Wert. Der Winkel wird iterativ mit Hilfe vorgegebener Tangens-Werte berechnet. Dieser Algorithmus funktioniert nur mit positiven Eingangswerten. Daher müssen die übergebenen X und Y-Werte immer in den ersten Quadranten des Koordinatensystems transformiert werden, bevor sie an die Funktion `cordic()` emittiert werden. Diese Hin- und Rücktransformation findet in einer weiteren Funktion, der `calcAngle8()`, statt. Der Ausgangspunkt wird hinterlegt und nach der Winkelberechnung in den entsprechenden Quadranten zurück transformiert. Außerdem werden die einzelnen Winkel der Sensors in der Matrix `angle8` gespeichert. Im Anschluss aller Berechnungen wird der Mittelwert aller Matrixelemente gebildet. Hier liefert das Randwertproblem beim Übergang von Quadrant vier zu Quadrant Eins ein falsches Ergebnis für den Mittelwert. Wenn beispielsweise ein Sensor 3° misst und ein anderer Sensor misst 357° , ergibt das einen mittleren Winkel von 180° . Um diesen Fall zu detektieren werden Variablen gesetzt, die angeben, ob für eine berechnete Winkel-Matrix die Winkel sowohl im ersten als auch im vierten Quadranten lagen. Bei Eintritt dieses Falls wird zu allen Winkeln, die unter 180° liegen, 360° addiert. Somit werden die Winkel miteinander vergleichbar und aus den 3° würde zum Beispiel 363° . Der Mittelwert aus 363° und 357° ergibt sich zu 360° . Wenn der Mittelwert über 360° liegt, muss davon 360° subtrahiert werden, da der Mittelwert dann im ersten Quadranten liegt.

4.3 Kommunikation mit übergeordneten Systemkomponenten

Eine Kommunikation zwischen Systemen muss nur dann eingerichtet werden, wenn bestimmte Informationen, die das eine System besitzt, auch auf dem anderen zur Verfügung

Tabelle 4.1: Gegenüberstellung verfügbarer Informationen auf dem Mikrocontroller und dem Raspberry Pi.

Mikrocontroller	Raspberry Pi
<ul style="list-style-type: none"> • Filterdaten für einen Tief- und einen Bandpass (Matrix) • Sensordaten (Matrix mit komplexen Zahlen) 	<ul style="list-style-type: none"> • Filterdaten für einen Tief- und einen Bandpass (Liste) • Diagrammtyp (Integer/String) • Interpolation (Bool) • Filtertyp (Integer/String) • Koeffizienten angepasst (Bool)

stehen sollen. Zu Beginn wird daher das Gesamtsystem beleuchtet, wie in Abbildung 3.2 dargestellt ist, um zu bestimmen, welche Informationen auf welchem System zur Verfügung stehen. Diese Angaben sind in Tabelle 4.1 zusammengefasst.

Aus dieser Tabelle und der Abbildung des Gesamtsystems geht nun hervor, welche Informationen zwischen den Systemen ausgetauscht werden müssen. Daraus wird folgendes Schema 4.4 abgeleitet, welche Daten zwischen den Systemen übertragen werden

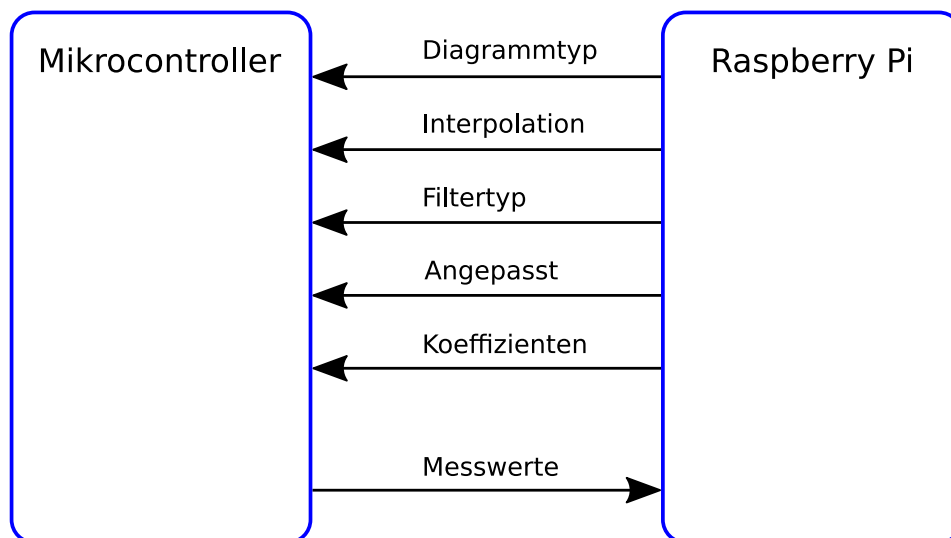


Abbildung 4.4: Darstellung der Informationen, die zwischen den Systemen ausgetauscht werden müssen.

Tabelle 4.2: Befehlsauflistung der Kommunikation zwischen Raspberry Pi und MC mit Erläuterung der Nutzphase und Verarbeitung.

Befehl	Phase	Verarbeitung
„0000r“	Initialisierung	Initialisierung der Twiddle-Matrizen
„1000r“	Offsetberechnung	Speichern des aktuellen Offsets (Schnellkalibrierung)
„2000r“	Messphase	Senden einer Winkelmatrix der Sensoren
„3000r“	Messphase	Senden der Sinus- und Cosinus-Matrix
„4000r“	Messphase	Senden des Winkelmittelwertes
„5000r“	Offsetberechnung	Offsetmessung und senden der Sinus- und Cosinuswerte
„6000r“	Offsetberechnung	Speichern der empfangenen Offsetmatrix

müssen. Ohne die Eingabeinformationen vom Nutzer können auf dem Mikrocontroller nicht die gewünschten Daten berechnet werden. Die meisten Werte, die zwischen den Geräten gesendet werden sind Zahlen, bis auf zwei `bool` Werte. Diese lassen sich aber mit `True = 1` und `False = 0` in ein Zahlenformat transformieren. Diese Informationen sollen nun als ein Befehl zusammengeführt werden. Dem Befehl sollen außerdem die angepassten Filterkoeffizienten angehängt werden. Wenn das Anpassen-Flag gesetzt ist, werden diese Koeffizienten mit eingelesen und für die Filterung angewendet.

```
{int diagrammtyp, int interpolation, int filtertyp, int angepasst, double filterwerte[]}
```

Da insgesamt vier Diagrammfenster mit Messwerten versorgt werden sollen, empfiehlt es sich, eine Kommunikations-Routine einzuführen. Nach dem Call-and-Response-Prinzip spielt der Mikrocontroller die untergeordnete Rolle und der maßgebliche Teil findet auf dem Raspberry Pi statt. Die Erläuterungen dazu finden sich in Kapitel 5.3. Die eingehenden Befehle werden Anhand des ersten Wertes verarbeitet. Die Werte sind in Tabelle 4.2 aufgelistet. Es wird jeweils kurz erläutert in welcher Arbeitsphase sie gesendet werden und welche Verarbeitung sie nach sich ziehen.

5 Software auf dem Einplatinen-Computer

Die Software auf dem Einplatinen-Computer, dem Raspberry Pi, umfasst die Bereiche Front- und Backend. Dies bedeutet, es wird eine Oberfläche für Benutzer der Software eingerichtet, mit Hilfe dessen alle nötigen Einstellungen für die Darstellung der Messwerte geregelt werden können. Das Backend umfasst dabei die Verarbeitung der eingehenden Befehle vom Benutzer sowie die Beschaffung, Speicherung und Vorverarbeitung für die Darstellung der Messwerte. Im ersten Teil dieses Kapitels wird der Entwurf der Fenster und im späteren Verlauf die Verarbeitungsroutinen erläutert.

5.1 Entwicklung der Bedienoberfläche

Für den Entwurf der Bedienoberfläche werden die in den Grundlagen zum Interfacedesign aus Kapitel 2.4 beschriebenen Designkriterien herangezogen. Das Prinzip der Visibility bezieht sich demnach nicht nur auf ein einzelnes Fenster, sondern auch auf das gesamte Programm. Wenn eine Software verschiedene Features bietet, wäre die gemeinsame Darstellung der Einstellmöglichkeiten für alle Features in einem Fenster unübersichtlich. Die hier entwickelte Software bietet sowohl Einstellungen zur Filterung, als auch Einstellungen zur Messwertdarstellung.

Im Anschluss an die Auswahl und Verteilung der Grundfunktionen in Kapitel 3.3.1 wurde Abbildung 5.1 entworfen, um eine Struktur in die Darstellung und den Ablauf der Fensteraufrufe zu bringen. Dazu wurden die Funktionen der Vorkalibrierung der Sensoroffsets (Kalibrierung), die allgemeinen Einstellungen zur Darstellung (Hauptfenster), die genaueren Einstellungen zur Filterung (Filtereinstellung) und die Darstellung der Grafen (Diagramm X¹) jeweils einem neuen Fenster zugeordnet. Diese Aufteilung erhöht die Übersicht über das gesamte Programm.

Nach dem Programmstart wird das Kalibrierfenster, siehe Abbildung D.2, geöffnet. Das Menü dieses Fensters steuert die Kalibrierung der Sensormatrix. Mit dem ersten Button wird eine genaue Offsetmessung durchgeführt. Mit dem Button „Langzeitkalibrierung“ ist diese Auswahl möglich und es wird ein Dialogfenster geöffnet, welches den Benutzer durch das Kalibrierverfahren führt. Diese wird mit einem Halbacharray, siehe Abbildung D.7, durchgeführt. Eine zweite Wahl bietet die Möglichkeit der Durchführung einer schnellen Kalibrierung. Der Fortschritt wird dem Nutzer mit einem Fortschrittsbalken angezeigt. Diese Messung wird mit einem Quadrupol durchgeführt, wie er in

¹Das „X“ steht in den folgenden Kapiteln bei den Fenstern für 1,2,3 oder 4 und bei den Matrizen für 8 oder 15.

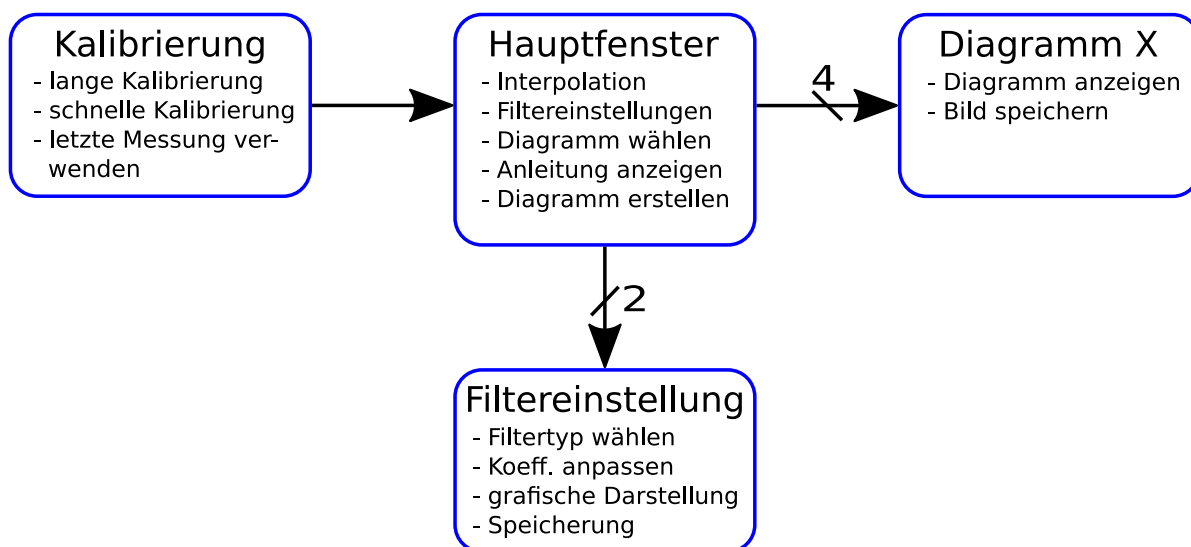


Abbildung 5.1: Aufteilung der Funktionen auf verschiedene Fenster und Skizzierung des Nutzungsablauf (X: 1, 2, 3, 4).

Abbildung D.8 dargestellt ist. Wenn keine der beiden Möglichkeiten genutzt werden soll, gibt es die Möglichkeit direkt in das Hauptfenster zu wechseln. Wenn Messwerte einer vergangenen Langzeitkalibrierung vorliegen, werden diese an den Mikrocontroller gesendet. Anschließend wird das Fenster geschlossen und das Hauptfenster geöffnet.

Das nächste Fenster, dargestellt in Abbildung D.3, bietet dem Nutzer alle Möglichkeiten zur Einstellung der Signalverarbeitung und Darstellung der Messwerte. Das Einschalten der Interpolation wird über das Setzen einer Checkbox getätigt. Es ist demnach direkt ersichtlich, ob interpoliert wird. Das Fenster zur genaueren Einstellung der Filterung kann über einen Button aufgerufen werden. Hier kommt der Punkt der Affordance zum Tragen, wodurch es für den Nutzer direkt ersichtlich ist, wie die Flächen zu bedienen sind. Über ein Drop-Down-Menü kann das gewünschte Diagramm gewählt werden. Dem Nutzer wird nur die eigene Auswahl angezeigt, um auf einen Blick die getätigten Einstellungen prüfen zu können. Eine Schaltfläche, die erst im späteren Verlauf der Entwicklung hinzugekommen ist, ist ein Button zum Aufrufen der Bedienungsanleitung. Durch klicken wird ein PDF-Dokument geöffnet, das Informationen über das Programm und sämtliche Einstellmöglichkeiten liefert. Als letzten Button gibt es die Schaltfläche zum Erstellen des Diagramms. Nach Betätigung wird ein neues Fenster, mit der Darstellung der Messwerte im Diagramm geöffnet.

Das Diagrammfenster gibt die Messwerte wieder und bietet die Möglichkeit zur Speicherung des Diagramms als Bild. Insgesamt vier Fenster können gleichzeitig aktiv sein. Andernfalls wird ein Fenster mit dem entsprechenden Hinweis geöffnet. Jegliche Bedienungsfunktionen werden über die Toolbar der Matplotlib Bibliothek zur Verfügung gestellt.

Ein Fenster, ohne dargestellten Plot, ist in Abbildung D.4 im Anhang abgebildet.

Das letzte Fenster, welches durch das Hauptfenster geöffnet werden kann, ist das Fenster zur Filtereinstellung. Hier ändert sich die Darstellung zum anpassen der Koeffizienten, wenn im Hauptfenster die Interpolation eingeschaltet wurde, siehe Abbildungen D.5 und D.6. Die Hauptschaltflächen für die Filtereinstellung befinden sich an der Oberkante des Fensters. Hier kann in einem Drop-Down-Menü der grundlegende Filtertyp ausgewählt werden. Zur Auswahl stehen ein Tief- und ein Bandpass. Das restliche Fenster ist mit Spinboxen, dargestellt in Matrixform, gefüllt. Wie in Kapitel 4.2 beschrieben, ist diese Matrix entweder 4×4 oder 8×8 groß. Hier kommt der Punkt des mappings zum tragen, da für den Benutzer die Matrixdarstellung eine direkte Verknüpfung mit der Visualisierung zur Koeffizientenmatrix darstellt. Je nach Auswahl der Filter, werden die Werte der Boxen mit den Werten des ersten Quadranten der Filtermatrix gesetzt. Neben dem Drop-Down-Menü für die Filter befindet sich eine Checkbox, mit der ausgewählt werden kann, ob die Filterkoeffizienten manuell angepasst werden. Erst durch das Betätigen der Checkbox werden die Spinboxen für die Anpassung freigeschaltet. Vorher konnten diese vom Nutzer nicht bearbeitet werden. Zur Überprüfung der angepassten Koeffizienten oder der bereitgestellten Filterkoeffizienten gibt es einen Button zur Visualisierung der Koeffizientenmatrix. Ähnlich zu Abbildung 4.3 werden die Werte für den Nutzer dargestellt. Die zwei letzten Schaltflächen, „Speichern“ und „Abbrechen“, schließen das Fenster. Mit dem Button Speichern, werden die eingegebenen Werte gesichert.

5.2 Auswahl und Implementierung der Darstellungsfunktionen

Bevor die Implementierung der Diagrammfenster beginnen kann, müssen auch hier die Anforderungen festgehalten werden. Jedes Diagramm soll in einem separaten Fenster dargestellt werden und es sollen maximal vier Fenster parallel aktiv sein. Dazu braucht es eine Prüfmöglichkeit, ob ein Fenster geöffnet, also sichtbar ist, oder nicht. Normalerweise stellen Bibliotheken die Funktionen zur Verfügung, um den Plot in einem Fenster zu öffnen. Diese Fenster haben jedoch nur eine Verbindung zu den Plot-Funktionen und nicht zum Hauptfenster; können also nicht auf ihre Sichtbarkeit überprüft werden. Für die Bibliothek Matplotlib gibt es eine Zusatzbibliothek, die es ermöglicht, den Plot in einem, mit der Software PyQt5 erstellten, Fenster darzustellen. Dazu wird die Bibliothek `matplotlib.backends.backend_qt5agg` in das Projekt mit eingebunden. Nun können die unzähligen Grafen, die Matplotlib mit sich bringt, in den PyQt5 Fenstern verwendet werden. Eine weitere Anforderung an den Plot ist die kontinuierliche Darstellung der sich ändernden Daten. Auch hier bietet Matplotlib ein Zusatzpaket an, das `matplotlib.animation` Paket. Der Funktion wird unter anderem ein Zeiger auf die Figur - also das Diagramm - und ein Funktionszeiger übergeben. Dadurch wird kontinuierlich eine Funktion aufgerufen und die darin geänderten Daten an die Figur weitergegeben, wodurch eine Animation entsteht.

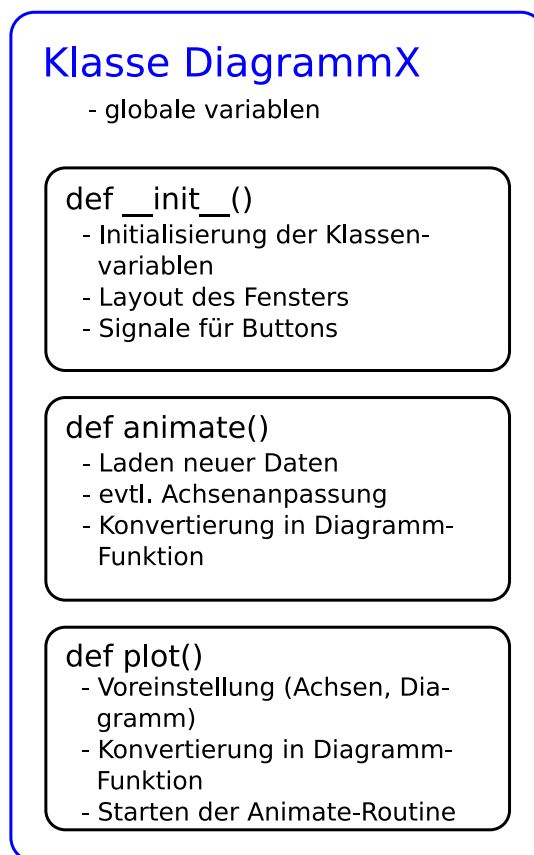
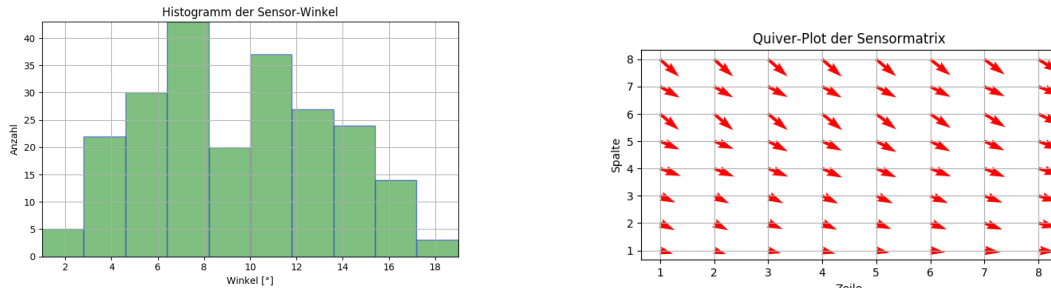


Abbildung 5.2: Grundgerüst der Klasse `DiagrammX` eines PyQt5 Fensters zur Darstellung eines Matplotlibgraphen.

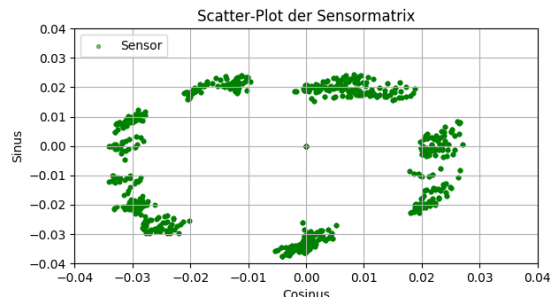
Der schematische Gesamtaufbau eines Fensters ist in Abbildung 5.2 zusammengefasst. In der `__init__()`-Funktion einer Klasse werden die Variablen initialisiert, die für alle Klassen-Funktionen zur Verfügung stehen. In der `plot()`-Funktion findet die Auswahl des Diagramms und die Initialisierung der Figurparameter mit Hilfe erster Messwerte statt. Die Verarbeitung der Messwerte wird mit der Python-Bibliothek Numpy durchgeführt. Die Messdaten werden für die Diagramme vom `list`-Format in das `array`-Format überführt. Dieser Datentyp lässt sich in Matplotlib besser verarbeiten. In der `animate()`-Funktion wird kontinuierlich der globale Messwertspeicher ausgelesen, die Figur-Achsen angepasst und das Diagramm aktualisiert. Der konkrete Aufbau der Fenster ist in Listing B.4 dargestellt. Die vier Diagrammfenster-Klassen sind, bis auf den Zugriff auf die globalen Variablen, identisch. Es wird Das Layout erstellt und nach Aufruf der `plot()`-Funktion wird, je nach gewähltem Diagramm, die Vorverarbeitung und Messwertdarstellung ausgeführt.

Nachfolgend werden die Diagramme eingeführt, die zur Datenvisualisierung verwendet werden. Es wird erläutert, wie die Messwerte vor-verarbeitet werden müssen und welchen

Nutzen das jeweilige Diagramm mit sich bringt. Abschließend wird auf wichtige Punkte bei der Implementierung eingegangen. Der Programmcode für die einzelnen Plots und die jeweiligen `animate()`-Funktion ist ebenfalls in Listing B.4 dargestellt.



(a) Beispielplot eines Histogramms vom Raspberry Pi. (b) Beispielplot eines Quiver-Plots vom Raspberry Pi.



(c) Beispielplot eines Scatter-Plots vom Raspberry Pi.

Abbildung 5.3: Ausschnitt der Messungen für den Scatter-Plot.

Histogramm: Ein Histogramm gibt in einem Balkendiagramm die relative Anzahl konkreter Messwerte im Datensatz an. Diese Darstellung ist besonders für die Erfassung der Sensorwinkel relevant. Es wird angegeben, wie viele Sensoren den jeweiligen Winkel gemessen haben. So bietet diese Darstellung einen Überblick über die gesamte Streuung der Messung. Auffälligkeiten sind sofort zu erkennen, falls ein Winkel weit außerhalb der Hauptgruppe liegen sollte. Die übermittelte Matrix der Sensorwinkel wird vom `list`-Format in das Numpy `array`-Format überführt. Anschließend werden die Daten und die Anzahl der X-Achsenabschnitte der Numpy Funktion `histogram` übergeben. Diese teilt den Datensatz in entsprechende Abschnitte. Aus diesen Daten werden der niedrigste und der höchste Messwert extrahiert, für das dynamische Anpassen der X-Achse verwendet werden. Die Variable `bottom` wird mit Nullen initialisiert und gibt damit die Unterkante der Balken an. Mit der variable `top` werden aus dem Datensatz für die Balken die Anzahl der vorhandenen Messwerte angegeben. Aus diesen beiden Variablen und zwei weiteren, `left` und `right`, werden die Balken gebildet. Die Funktion `FuncAnimation` ruft die Funktion `aniHistogram` kontinuierlich auf. In dieser müssen die neuen Daten aus der

globalen variable `wX_angles` übersetzt, die Balken gebildet und die Achsen aktualisiert werden. Ein Beispiel aus der Testphase ist im Abbildung 5.3(a) dargestellt.

Quiver-Plot: Mit einem Quiver-Plot können Feldlinien und Feldstärken als Vektorfeld dargestellt werden. Die Länge jedes Vektors ist proportional zur Signalstärke und die Richtung gibt den Winkel des Magnetfeldes an. Diese Informationen werden aus den Messdaten der Sinus- und Cosinuswerte gewonnen. Je nach Matrixgröße werden je ein Sinus- und Cosinuswert aus den Arrays einander zugeordnet und mit dem `meshgrid()` auf ein 8×8 oder 15×15 Feld aufgeteilt. Die Messdaten werden aus den Variablen `wX_sinus` und `wX_cosinus` ausgelesen. In der Funktion `FuncAnimation` wird `aniQuiver` aufgerufen, um den Plot mit neuen Daten zu aktualisieren. Ein Beispiel aus der Testphase in in Abbildung 5.3(b) dargestellt.

Kreis-Plot: Der Kreis-Plot wird als Synonym für einen Scatter Plot benutzt. Der Scatter Plot stellt für zwei übergebene Arrays die index-gleichen Werte in einem XY-Diagramm als Punkte dar. Diese Punkte-Wolken sollen sich nach einem vorigen Offsetsausgleich auf einer Kreisbahn um den Nullpunkt bewegen. Jeder Sensor wird für den jeweiligen Messzeitpunkt als Punkt in dem Koordinatensystem dargestellt. Somit können auffällige Streuungen der Sensoren oder eines einzelnen Sensors festgestellt werden. Wenn die Bahn um den Nullpunkt nicht annähernd kreisförmig verläuft, ist der Offsetsausgleich fehlerhaft. Zur Vorverarbeitung des Plots werden die Sinus- und Cosinuswerte in Numpy-Arrays hinterlegt. Die Arrays können jeweils 15500 Werte fassen. Somit entsteht ein dynamischer Plot, dessen Kreis sich immer weiter zeichnet. Wenn die Arrays gefüllt sind, wird der Zähler auf Null gesetzt und die neuen Werte werden, wie in einer FIFO, nachgeschoben. Die `scatter(X-Array, Y-Array, color, marker)`-Funktion wird nur Anfangs in der Plot-Funktion initialisiert. In der `animate()`-Funktion wird die Funktion `scatter.set_offsets(X-Arrays, Y-Array)` aufgerufen, die die Werte für den Scatter-Plot aktualisiert. Ein Beispiel des Plots ist in Abbildung 5.3(c) veranschaulicht. Die Kreisbahn ist deutlich zu erkennen.

5.3 Datenverarbeitung im Backend

Die Beschreibung der Datenverarbeitung ist in Unterkapitel für die einzelnen Fenster gegliedert. Es wird einführend eine Grafik zur Funktionsweise und zum Umfang der Funktionen erläutert. Im weiteren Verlauf wird auf maßgebliche Änderungen in dem Programmcode hingewiesen und Verweise zum Code gegeben.

5.3.1 Kalibrierfenster

Das Kalibrierfenster wird direkt nach dem Programmstart geöffnet, nachdem die Importe, die Initialisierung der globalen Variablen und das Durchlaufen der `main` von Statten gegangen sind. Dieser Vorgang ist im Anhang in Listing B.5 dargestellt.

Der Programmcode für das Kalibrierfenster und die zugehörigen Threads sind in Listing B.1 ausgeführt. An erster Stelle eines GUI-Elements steht dessen Initialisierung. In dieser Funktion werden Variablen gesetzt, Events verbunden und gegebenenfalls weitere Klassen initialisiert. Um mit dem Kalibrierungsfenster nun Aktionen zu erzeugen, müssen die verfügbaren Buttons mit Events verknüpft werden. Dies geschieht über sogenannte Signale. Diese verbinden einen Sender und einen Empfänger. Der Button (Sender) wird mit einer Funktion (Empfänger) über den Befehl `connect` verbunden. Wenn der Button nun vom Nutzer betätigt wird, wird im Backend die verbundene Funktion aufgerufen. Der Button „Langzeitkalibrierung“ triggert die Funktion `startLongCali()` und dort wird der `longCaliThread` gestartet. Dadurch wird die `run()`-Methode des Threads aufgerufen. Diese beinhaltet die Routine für eine Langzeitkalibrierung. Nachdem die Serielle Verbindung zum Mikrocontroller hergestellt ist, wird das Signal `Connected` ausgelöst. Dieses Signal gibt dem Kalibrierfenster an ein Dialogfenster zu öffnen. Das Dialogfenster dient dem Nutzer dazu die Kalibrierung durchzuführen. Es werden Anweisungen gegeben, wenn eine Kalibriermessung stattfindet. Die hier verwendeten Signale und Slots sind ein notwendiger Bestandteil der GUI-Programmierung. Jedes `QDialog`- oder `QMainWindow`-Fenster darf nur auf seine eigenen Funktionen zugreifen. Wenn beispielsweise der Thread die Progress-Bar des `QDialog`-Fensters ändert, wird die Anwendung vom System unterbrochen und die Fenster sind „eingefroren“. Somit ist der Weg über ein Signal zu wählen, das die verbundene Klasse dazu anweist, die Änderung eigenständig vorzunehmen. Aus Abbildung 5.4 geht hervor, dass vom Kalibrierfenster aus zwei Threads gestartet werden können. Der `longCaliThread` und der `progressbarThread`. Die eingezeichneten Pfeile symbolisieren ebenfalls Signale, die von den Threads an die Klasse gesendet werden. Die Klammern sind entweder leer, oder geben einen Datentyp an, der mit dem Signal an die Klasse gesendet wird. Nach der Initialisierung der Threads können die Signale mit entsprechenden Funktionen in der Klasse verbunden werden.

Für die Kalibrierung wird ein Halbachmagnet (vgl. Abbildung D.7) in 15° Schritten über dem Sensor gedreht und es wird jeweils eine Messung durchgeführt. Nun laufen zwei Prozesse parallel. Im Dialogfenster läuft ein Count-Down von drei Sekunden und dann wird das Wort „Messung“ ausgegeben. Diese Änderungen des Anzeigetextes werden durch den Thread gesteuert. Mit dem Signal `updateSec(int)` wird die Sekunde angegeben und das Signal `messung()` ändert die Anzeige zu „Messung“. Anschließend hat der Nutzer drei Sekunden Zeit das Hallbacharray zu drehen. Währenddessen wird im Thread in einer Schleife der Befehl „5000r“ gesendet. Der Befehl ist in Tabelle 4.2 erklärt. Die empfangenen Messwerte der Sinus- und Cosinussignale werden in einem Array gespeichert. Nach Abschluss der Messung werden die Array-Werte durch 24 dividiert, um auf einen Mittelwert über alle 24 Messungen zu kommen. Die Matrizen für die Cosinus- und Sinus-Werte werden an den Mikrocontroller gesendet, um dort gespeichert zu werden. Dies geschieht mit dem Befehl „6000 + Cosinuswerte + r“ und „6000 + Sinuswerte + r“. Auf dem MC werden die Strings in dieser Reihenfolge verarbeitet, damit keine Vermischung der Werte stattfinden kann. Als zweites werden die Werte in ein `.txt`-File geschrieben, um für spätere Zwecke wiederverwendet werden zu können.

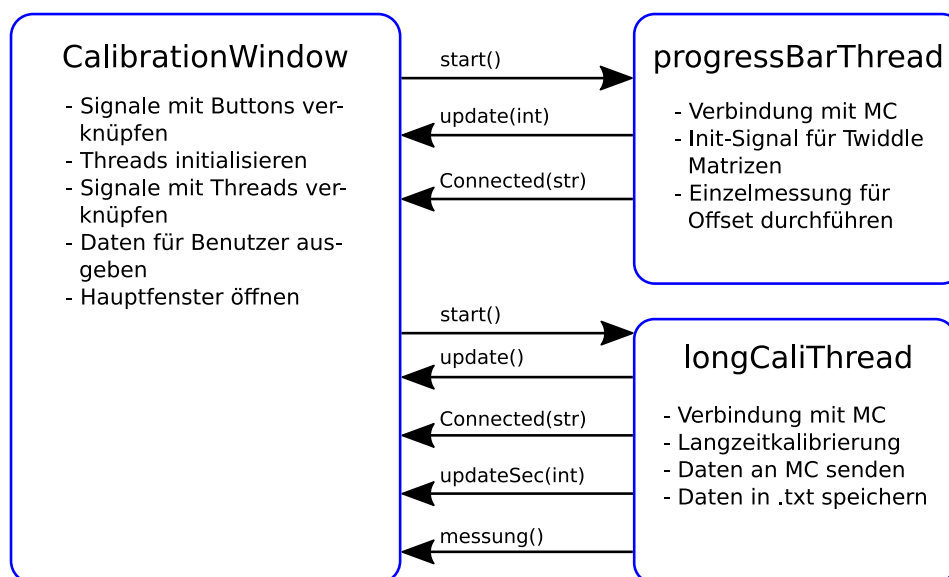


Abbildung 5.4: Grundgerüst der Klasse CalibrationWindow zur Steuerung der Sensorkalibrierung.

Der nächste Button „schnelle Kalibrierung“ startet den **progressbarThread**. Dieser sendet, nachdem die serielle Verbindung mit dem MC hergestellt wurde, „0000r“ und anschließend „1000r“, um eine einzelne Messung durchzuführen. Diese sollte mit einem Quadrupol durchgeführt werden. Ein Quadrupol besitzt vier Pole, was in der Abbildung D.9 dank der Metallspanfolie zu erkennen ist. Die markierten Linien deuten die Übergänge zwischen den Polen an. Ein Bild des Magneten ist im Anhang in der Abbildung D.8 dargestellt. Der Magnet wird verwendet, um eine kreisförmige Streuung der Offsetwerte um den Nullpunkt zu erreichen. Dabei wird das Signal `update()` an den Mikrocontroller gesendet, um den Ladebalken zu aktualisieren.

Mit der letzten Schaltfläche des Fensters kann direkt zum Hauptfenster gewechselt werden. Vorher wird jedoch geprüft, ob eventuell noch eine Kalibrierung durchgeführt wird. Dies wird mit der Abfrage `self.threadX.isRunning()` getätigt. Bei `TRUE` ist diese Aktion noch nicht möglich. Ansonsten muss sichergegangen werden, dass Werte für eine Offsetkorrektur auf dem Mikrocontroller zur Verfügung stehen. Für diesen Fall, da weder eine schnelle noch eine lange Kalibrierung vorgenommen wurde, werden die Werte aus den Textdateien verwendet. Diese werden geöffnet, eingelesen und, wie im vorigen Abschnitt beschrieben, mit dem Befehl „6000r“ an den MC gesendet. Im Anschluss wird das Hauptfenster initialisiert und geöffnet, während mit `self.close()` das Kalibrierfenster geschlossen wird.

5.3.2 Hauptfenster

In der Initialisierungsfunktion des Hauptfensters werden lokale Variablen zum Speichern der Einstellungen initialisiert und weitere Fenster und Signale verknüpft. Zu den Fenstern gehören die vier Diagrammfenster und die beiden Fenster für die Filtereinstellungen. Von den Filterfenstern wird je ein Signal mit einer Funktion zum Speichern der Filtereinstellungen verbunden. Des Weiteren gibt es zwei Buttons und eine CheckBox, die mit Funktionen des Hauptfensters verbunden werden. Als letzter Punkt der Initialisierung wird der `SendReceiveThread` gestartet, wie in Abbildung 5.5 durch das `start()`-Signal angedeutet. Dieser läuft autark und sorgt für die Kommunikation zwischen dem MC und dem Raspberry Pi.

Den Schaltflächen „Interpolation“ und „Diagrammauswahl“ sind keine Events zugeordnet. Das nächste Event wird getriggert, wenn der Button „Filter anpassen“ betätigt wird. Dadurch wird das Fenster zum Einstellen der Signalfilterung geöffnet. Vor dem Öffnen wird jedoch überprüft, ob die CheckBox „Interpolation“ gesetzt ist. Davon ist abhängig, ob das Einstellfenster für eine 8×8 oder 15×15 Matrix geöffnet wird. Mit dem Button „Hilfe“ kann eine PDF geöffnet werden. Dies geschieht über das Ausgeben eines Terminalbefehls `os.system(qpdfview anleitung.pdf)` und öffnet die Bedienungsanleitung.

Die Schaltfläche, die ein neues Diagramm öffnet, ist der Button „Diagramm Erstellen“. In der Funktion `changeSettings()` werden die globalen Variablen verknüpft. Geschieht dies nicht, kann nur lesend und nicht schreibend auf diese zugegriffen werden. Im Anschluss folgen vier If-Abfragen. Es wird nacheinander überprüft, ob das jeweilige Fenster sichtbar ist. Bei vier offenen Fenstern wird der Nutzer darauf hingewiesen, dass bereits die maximale Fensteranzahl offen ist und erst wieder eines geschlossen werden muss. Wenn diese Bedingung nicht zutrifft, werden die lokalen Einstellungen des Hauptfensters auf die globalen Fenstervariablen geschrieben. Dazu gehört das Diagramm, der gewählte Filter aus dem Filterfenster, die Information, ob die Filterwerte manuell angepasst wurden, die Koeffizienten aus der Filtermatrix und ob die Interpolation gesetzt ist. Anschließend wird der globale Befehl für das Fenster, wie in Kapitel 4.3 beschrieben, zusammengestellt. Als letzter Schritt wird das Diagrammfenster angezeigt und der Nutzer kann den „Plot“ Button betätigen.

Der größte und umfangreichste Thread ist der zum Senden der Befehle und zum Empfangen der gesendeten Daten vom MC. In der Initialisierungsfunktion werden lokale Listen erstellt. Diese dienen als Zwischenspeicher für die empfangenen Werte und überschreiben nach Empfang und Verarbeitung die globale Variable. In der `run()`-Funktion müssen ebenfalls die globalen Variablen verknüpft werden. Im Anschluss kann die serielle Verbindung mit dem Mikrocontroller hergestellt werden. In einer `while`-Schleife werden nun kontinuierlich die Befehle für die Fenster gesendet und anschließend die empfangenen Daten ausgelesen. Beim Senden wurde Anfangs der Befehl `serial.readlines()`

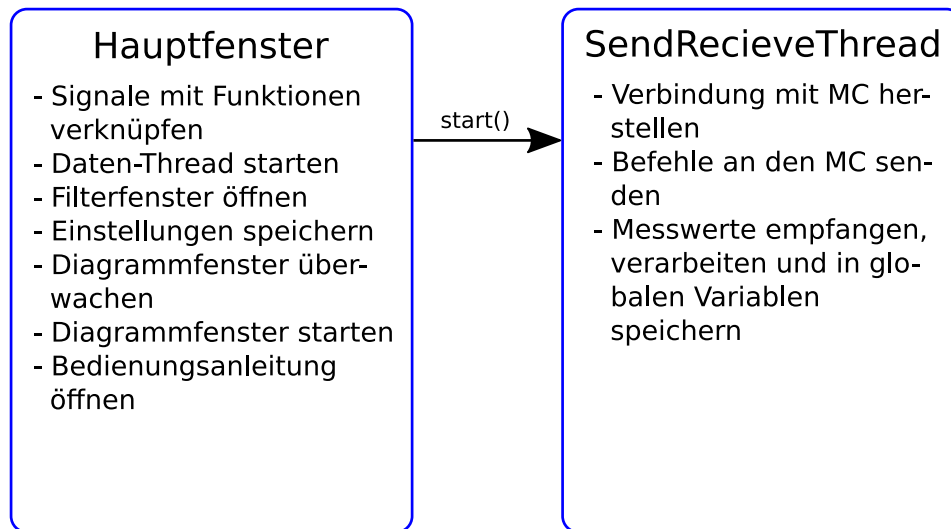


Abbildung 5.5: Grundgerüst der Klasse MainWindow sowie des SendReceiveThread zum Senden und Empfangen jeglicher Messdaten.

verwendet, um den gesamten Buffer auszulesen. Diese Routine hat aber viel Verarbeitungszeit in Anspruch genommen, da erst durch ein Timeout das Einlesen beendet wurde. Aus diesem Grund wurde der Befehl durch `serial.readline()` ersetzt, musste daher aber in einer Schleife acht bis sechzehn mal aufgerufen werden. Seitdem kommt es zu Problemen beim konvertieren der empfangenen Werte vom `String` zum `float` Format. Teilweise wurde nichts eingelesen - der Buffer war leer. Um diesen Fehler zu umgehen wird eine Abfrage nach der Anzahl an verfügbaren Daten durchgeführt. Der Fehler lag am mehrfachen Bufferzugriff. Somit wurde die Funktion `serial.read()` eingesetzt, mit der eine feste Anzahl an Bytes vom Buffer eingelesen wird. Jedoch war der Buffer teilweise leer. Vom Terminal des Raspberry Pi wurden die Befehle zu Testzwecken manuell gesendet. Es kam heraus, dass nur auf jeden zweiten gesendeten Befehl eine Antwort vom MC kam. Dies konnte auf dem PC mit angeschlossenem Mikrocontroller nicht verifiziert werden. Es lag somit am Raspberry Pi. Die Lösung ist das mehrfache Senden des Befehls mit anschließender Überprüfung, ob der Buffer die erwartete Anzahl an Werten aufweist - also entweder 128 oder 450 Werte. Nach erfolgreichem Einlesen muss zur Speicherung der Werte auf die globalen Variablen zugegriffen werden. Je nach gewähltem Diagramm und Interpolation passt sich die Speicherroutine dynamisch an. Eine weitere wichtige Änderung im Programmcode für die Speicherroutine war das Übertragen des globalen Interpolationswertes an eine lokale, statische Variable. Falls es während der Speicherroutine somit zur Änderung des globalen Wertes kommt, bleibt die Routine für den Zyklus unbeeinflusst und es kommt nicht zu Speicherüberläufen bei den Arrays. Quellcode 5.1 zeigt den Verlauf der Datenverarbeitung vom `byte` zum `float` Format. Es wird nach dem Empfangen erst `decode()` ausgeführt, mit den Dekodierungsstyle „ascii“. Anschließend werden die Separatoren „\x00“ mit Semikola ersetzt. Anhand dieser kann

der String nun in die einzelnen Zahlenwerte separiert werden. Diese werden mit dem Befehl `append(float(value))` wird die Zahl in das Float-Format gecastet und an die Liste angehängt. Als letzter Punkt werden die Buffer in die globalen Listen kopiert und dann geleert. Dadurch bleiben die globalen Speicher nie leer und es kommt zu keinen Ausfällen in den Diagrammen.

Quellcode 5.1: Ablauf der Verarbeitung empfangener Messwerte.

```
# read() <byte-item>
b'\x00-29.23\x00-27.23\x00-8.23\x00-24.23\x00-11.23\x006.77\x0011.77\x0034.77\x00'

# decode("ascii") <string-item>
"\x00-29.23\x00-27.23\x00-8.23\x00-24.23\x00-11.23\x006.77\x0011.77\x0034.77\x00"

# replace("\x00", ";") <string-item>
";-29.23;-27.23;-8.23;-24.23;-11.23;6.77;11.77;34.77;"

# split(";") <string-item>
"-29.23", "-27.23", "-8.23", "-24.23", "-11.23", "6.77", "11.77", "34.77"
```

5.3.3 Filtereinstellungen

Bei den Fenstern zur Filtereinstellung gibt es die Besonderheit, dass es ein Fenster für die Einstellungen zur 8×8 und ein Fenster für die Einstellungen zur 15×15 Matrix gibt. Beide werden in dem Hauptfenster initialisiert. In der Initialisierung werden das Layout, lokale Variablen und die Listen mit den Werten des ersten Quadranten der Filtermatrix initialisiert. Des Weiteren werden ebenso die klasseninternen und -externen Signalverknüpfungen eingerichtet. Nach dem Öffnen des Fensters kann mit dem Filterauswahlmenü ein Tiefpass oder ein Bandpass ausgewählt werden. Wenn eine der Auswahlmöglichkeiten getroffen wurde, werden direkt die Werte in der Pin-Box-Matrix mit den entsprechenden Koeffizienten aus den lokalen Listen gefüllt. Die Änderung der Combo-Box triggert ein Signal, das die Funktion `showKoeffs()` aufruft. Hier werden die Werte der Spin-Boxen in einer Schleife mit den Werten der Listen gesetzt. Die nächste Auswahlfläche, die Check-Box „anpassen“ ist nicht nur Teil des Sendebefehls an den MC, sondern löst ebenfalls bei Betätigung ein internes Signal aus. Dieses führt die Funktion `costumCoeffsEnable()` aus, in der die Group-Box, in der sich die Spin-Boxen befinden, zur Bedienung freigeschaltet wird.

Der nächste Button ist mit der Funktion `plotKoeffs()` verbunden. Durch klicken wird diese Funktion aufgerufen und liest zu erst die aktuellen Werte der Spin-Boxen in eine Liste ein. Anschließend muss eine Filtermatrix erstellt werden. Der Kopiervorgang ist ähnlich dem auf dem Mikrocontroller, beschrieben in Kapitel 4.2 - Filterung. Anschließend wird die Matrix mit der Funktion `plt.imshow()` und einer Farbskala geplottet und der Benutzer kann die gesamte Filtermatrix prüfen. Die „Speichern“ Schaltfläche löst die Funktion `saveFilterXSettings()` aus. Nun werden jegliche Daten des Fensters gespeichert. Dazu gehört, welcher Filter ausgewählt wurde, ob die Koeffizienten angepasst wurden und wenn dies der Fall ist, werden die Koeffizienten ebenfalls gespeichert.

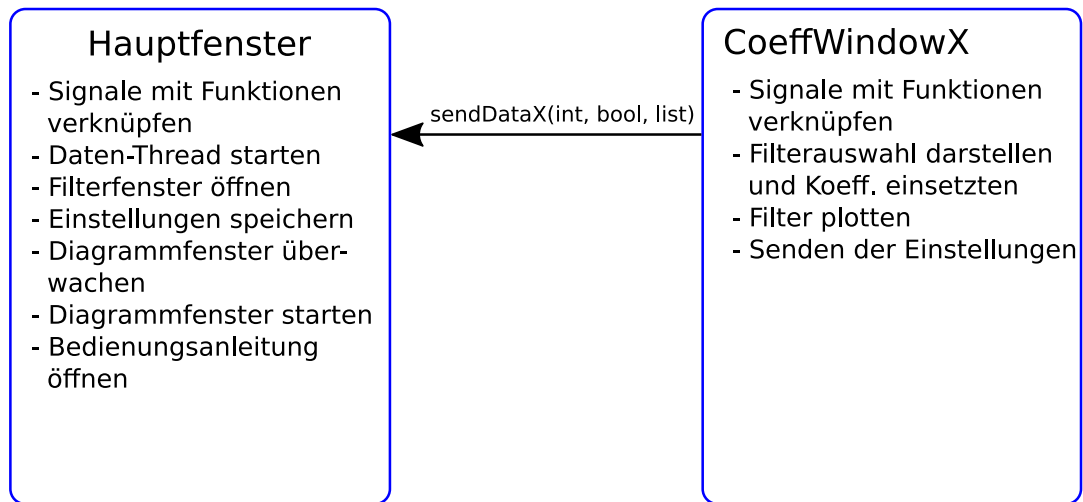


Abbildung 5.6: Grundgerüst der Klasse MainWindow sowie des CoeffWindowX zum einstellen der Filterung.

Das Signal `sendDataX(int, bool, list)`, wie in Abbildung 5.6 einzusehen, sendet die Daten an das Hauptfenster. Abschließend schließt sich das Fenster.

6 Evaluation

In dem vorletzten Kapitel dieser Arbeit wird im Anschluss an die Programmierung der Test des Programms durchgeführt. Dabei sollen sämtliche Funktionen überprüft werden. Die Inbetriebnahme dient außerdem der Betrachtung der Benutzbarkeit des Gesamtsystems. Anhand dessen kann im Anschluss eine Bedienungsanleitung angefertigt werden, die es fachfremden Benutzern erlauben soll, das System zu bedienen.

6.1 Inbetriebnahme des Gesamtsystems

Bevor das Gesamtsystem in Betrieb genommen werden kann, wird eine Liste mit den zu überprüfenden Funktionen erstellt. Dazu gehören spezifische Punkte, wie die Funktionstauglichkeit der Diagramme mit der Ausgabe sinngemäßer Messwerte, aber auch allgemeinere Anforderungen, wie das flüssige Darstellen der gesamten GUI Anwendung. In Tabelle 6.1 sind aus diesem Grund die wichtigsten Punkte der Prüfung zusammengefasst. Die Ursachenforschung für Fehler und eine Ergebnisbewertung erfolgt in Kapitel 7.1.

Zu Beginn der Inbetriebnahme wird festgestellt, dass auf dem Raspberry Pi keine Werte empfangen werden. Die Kommunikation zwischen dem PC und dem Tiva-Board funktionierte jedoch einwandfrei. Damit muss der Fehler bei dem Raspberry Pi liegen. Die Einstellungen für den seriellen Port werden überprüft und es wird festgestellt, dass nach dem Programmstart auf dem Raspberry Pi die Standarteinstellungen verändert werden. Die Anzahl der minimal einzulesenden Charakter wird auf Null gesetzt (Standard war eins). Dies wird gelöst, indem im Programmcode der Befehl `os.system('stty -icanon min 1 eof ^A -F /dev/ttyACM0')` eingefügt wird. Der Befehl wird aufgerufen, nachdem die serielle Verbindung mit dem Tiva-Board hergestellt ist. So können die nötigen Einstellungen eingerichtet und die Inbetriebnahme durchgeführt werden.

Die Langzeitkalibrierung kann erfolgreich getestet werden. Die Sekunden werden gleichmäßig runtergezählt, wobei die Anzeige zur Messung aus bleibt. Danach beginnt der Count-Down erneut. Zum Ende der 24 Messungen wird außerdem angegeben, dass die Kalibrierung beendet ist. Der Wert des Ladebalkens ist äquivalent zum Fortschritt der Messung. Die Textdateien, in denen die Werte gespeichert werden, sind mit je 64 Werten beschrieben. Die Ausgabe an den Mikrocontroller wird ebenfalls getätigt. Dies wird überprüft, indem die Befehle an dem MC auf der Konsole ausgegeben werden. Nachfolgend werden die einzelnen Diagramme getestet. Diese Tests werden mit der schnellen Kalibrierung durchgeführt, um diese ebenfalls zu testen. Von den Diagrammen werden

Tabelle 6.1: Stichpunkte, die bei der Inbetriebnahme des Gesamtsystems zu beachten sind.

Überprüfungstichpunkte zur Inbetriebnahme	
<ul style="list-style-type: none"> • Durchführung einer Langzeitkalibrierung • Prüfung Scatter-Plot • Prüfung Scatter-Plot mit Tiefpass (TP) • Prüfung Scatter-Plot mit Bandpass (BP) • Prüfung Quiver-Plot • Prüfung Quiver-Plot mit TP • Prüfung Quiver-Plot mit BP 	<ul style="list-style-type: none"> • Prüfung Histogramm • Prüfung Histogramm mit TP • Prüfung Histogramm mit BP • Mehrere Fenster geöffnet • Mehrere Fenster mit unterschiedlichen Plots geöffnet • Prüfung der Koeffizientenspeicherung • Allgemeiner Bedienablauf

in der Beschreibung jeweils vier der fünf Messungen herangezogen. Die restlichen Bilder der Diagramme finden sich im Anhang D. Zu den letzten drei Punkten der Tabelle wird im Anschluss an den Diagrammtest Stellung genommen.

Scatter-Plot: Der erste Test beinhaltet den Plot für eine 8×8 Matrix ohne Filterung. Die Messung verläuft flüssig und die Werte bewegen sich bei einer 360° Messung in einer Kreisbahn um den Nullpunkt. Es ist eine Verschiebung in negativer X-Richtung ($-0.05V$) und in negativer Y-Richtung ($-0.02V$) in Abbildung 6.1(a) zu erkennen. Die Messung für die ungefilterte 15×15 Matrix verlaufen nicht kreisförmig, sondern in einer steigenden Geraden. In Abbildung 6.1(c) ist diese deutlich zu erkennen. Die Messung wird für gefilterte, interpolierte Matrizen wiederholt. Für die Messung der tiefpassgefilterten 8×8 Matrix ist die Kreisbahn geblieben. Der Wertebereich verringert sich und liegt statt bei $0.4V$ bei $0.004V$ (Abbildung 6.1(b)). Die Aufnahmen für den gefilterten Scatter-Plot der 15×15 Matrizen sind im Anhang ?? und ?. Diese sind ebenfalls kleiner in der Achsenskalierung und liegen im Bereich $\pm 0.001V$.

Quiver-Plot: Auch für den Quiver-Plot werden erst die ungefilterten Signale getestet. Für die 8×8 Matrix verlaufen die Pfeile parallel und mit der gleichen Länge, wie in Abbildung 6.2(a) zu erkennen ist. Bei der 15×15 Matrix ist eine leichte Krümmung (siehe Abbildung 6.2(c)) des Gesamtverlaufs zu beobachten. Besonders auffällig ist die Messung

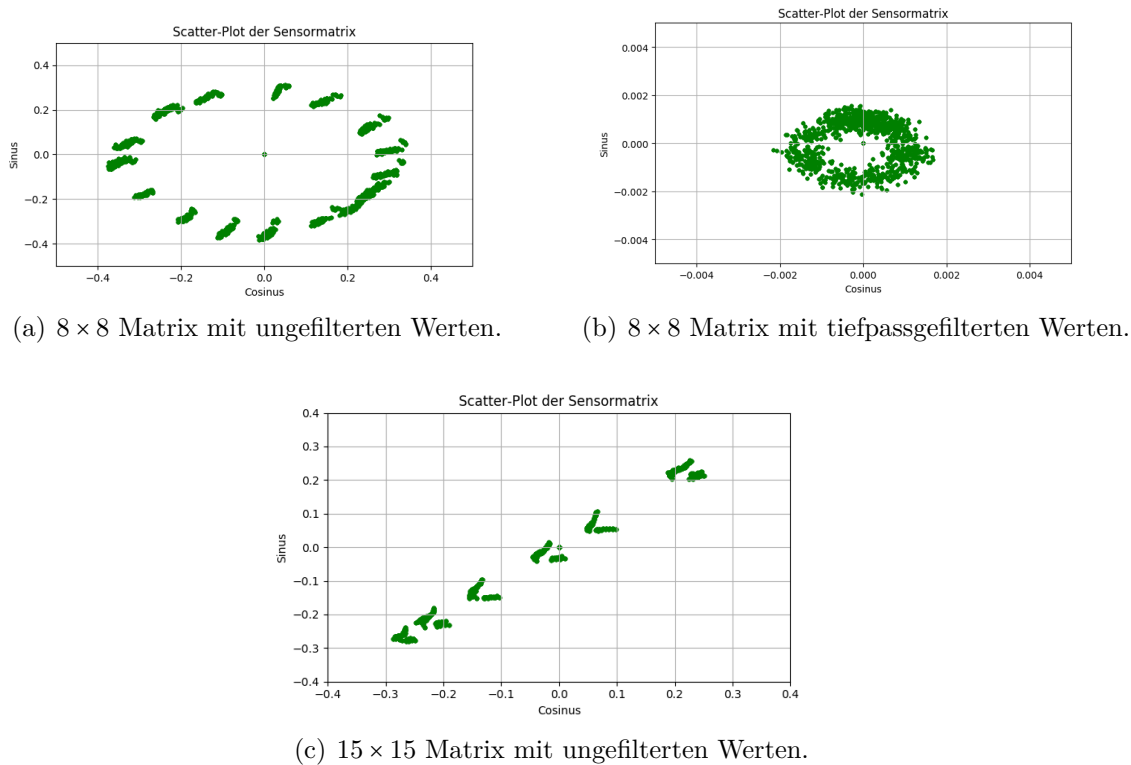


Abbildung 6.1: Ausschnitt der Messungen für den Scatter-Plot.

der tiefpassgefilterten 8×8 Matrix. Wie in Abbildung 6.2(b) einzusehen, verlaufen die Vektoren nicht mehr einheitlich parallel und weisen deutliche Differenzen in ihren Längen auf. Die Messungen für die 15×15 Matrizen sind im Anhang in Abbildung D.16 und Abbildung D.15 dargestellt. Diese weisen einen linearen Verlauf auf.

Histogramm: Für die Histogramm-Test fällt direkt auf, dass die Plot-Funktion mit autark skalierenden Achsen funktioniert. Mit der Drehung über 360° wandert die Skalierung der X-Achse mit. Beim Übergang von 360° wieder zu 0° wird die gesamte Achsenauflösung angezeigt und es gibt nur ein bis zwei Balken an jedem Ende der Achse (siehe Anhang D.10). In Abbildung 6.3(a) ist zu erkennen, dass die Winkel der ungefilterten 8×8 Matrix eine geringe Streuung aufweisen. Lediglich 8° liegen zwischen dem höchsten und dem niedrigsten Wert. Das Histogramm erinnert nur leicht an eine Gauß-Verteilung, da die 64 Werte auf nur sieben Balken aufgeteilt werden, aber die meisten Werte um den Erwartungswert liegen. Die Gauß-Verteilung wird besonders in Abbildung 6.3(c), der tiefpassgefilterten 15×15 Matrix, deutlich. Hier liegt die Streuung aller Werte bei circa 20° . Am auffälligsten ist die Verteilung der tiefpassgefilterten 8×8 Matrix. Das in Abbildung 6.3(b) dargestellte Histogramm zeigt eine hohe Streuung von etwa 70° . Ein weiterer Punkt ist das Einfrieren des Diagramms nach unbestimm-

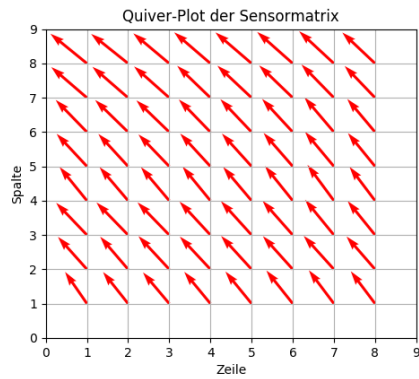
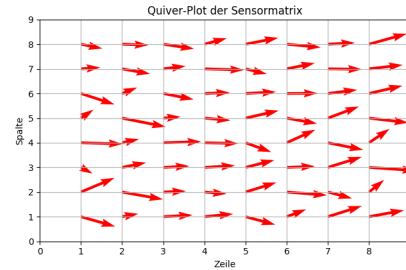
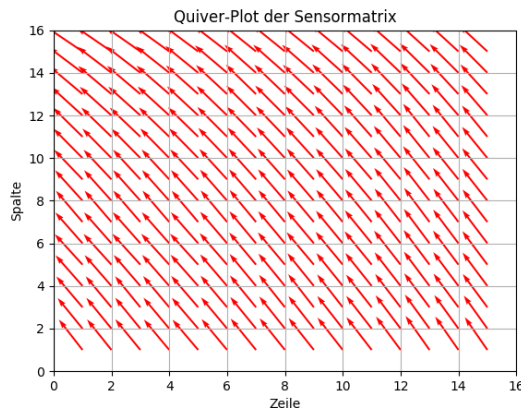
(a) 8×8 Matrix mit ungefilterten Werten.(b) 8×8 Matrix mit tiefpassgefilterten Werten.(c) 15×15 Matrix mit ungefilterten Werten.

Abbildung 6.2: Ausschnitt der Messungen für den Quiver-Plot.

ter Zeit. Es wird eine Fehlermeldung im Terminal ausgegeben, dass die Verbindung mit dem `matplotlib_backends_pyqt5` nicht mehr besteht. Die Messungen für die restlichen 15×15 Matrizen sind im Anhang unter Abbildung D.11 und mit Bandpassfilterung in Abbildung D.12 einzusehen. Die Wertebereiche liegen zwischen 10° (ohne Filterung) und 20° (mit Bandpassfilterung).

Allgemeine Beobachtungen: Zur Bedienbarkeit des Programmes lässt sich festhalten, dass die Übersicht über die Funktionen schnell erlangt wird und die Einstellungen mit wenigen Klicks vorgenommen werden können. Nachdem ein Diagramm geöffnet und der Plot gestartet wird, werden die Eingaben und Betätigungen deutlich verzögert. Je mehr Fenster geöffnet werden, so wie in Abbildung 6.4 dargestellt, desto langsamer wird das System. Einige Fenster frieren aufgrund des oben erwähnten Verbindungsproblems nach einiger Zeit ein. Ein Neustart der Fenster bewirkt keine Änderung. Der Plot wird nicht

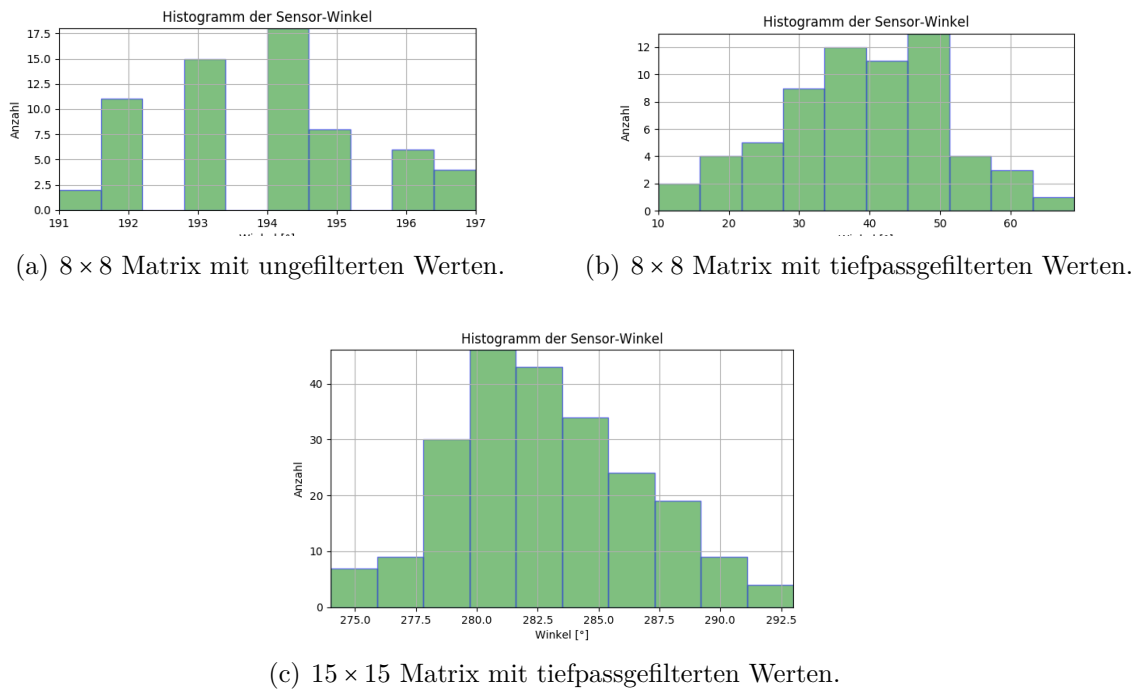


Abbildung 6.3: Ausschnitt der Messungen für den Quiver-Plot.

dargestellt. Bei vier geöffneten Fenstern und dem Versuch ein fünftes zu öffnen, wird wie erwartet, ein Hinweis ausgegeben, dass bereits vier von vier Fenstern geöffnet sind. Aufgrund des Performance-Einbruchs die Bedienbarkeit stark gesunken. Weitere Test für die Diagramme werden nach einem Neustart des Programms durchgeführt, um andere Fehlerquellen und Einflüsse zu minimieren.

Beim öffnen zweier Quiver-Plots mit unterschiedlichen Matrixgrößen werden die Achsen nicht angepasst. In Abbildung 6.4 ist zu sehen, dass der Plot für die 15×15 Matrix die selbe Skalierung wie der Plot für die 8×8 Matrix hat. Somit können nicht alle Werte dargestellt werden. Beim Laden von zwei Histogrammen kommt es sehr schnell zum Einfrieren der Plots.

Die letzte Funktion, die getestet wurde war die Visualisierung der Filterkoeffizienten. Beim betätigen des Buttons öffnen sich vier Plot-Fenster. Eines zeigt die Koeffizienten im `imagesc()` Plot mit Farbskala und die anderen sind leer. Die dargestellten Koeffizienten entsprechen den eingestellten Werten und das Kopieren der Quadranten hat ebenfalls funktioniert, da das Diagramm für X und Y Achsensymmetrie aufweist.

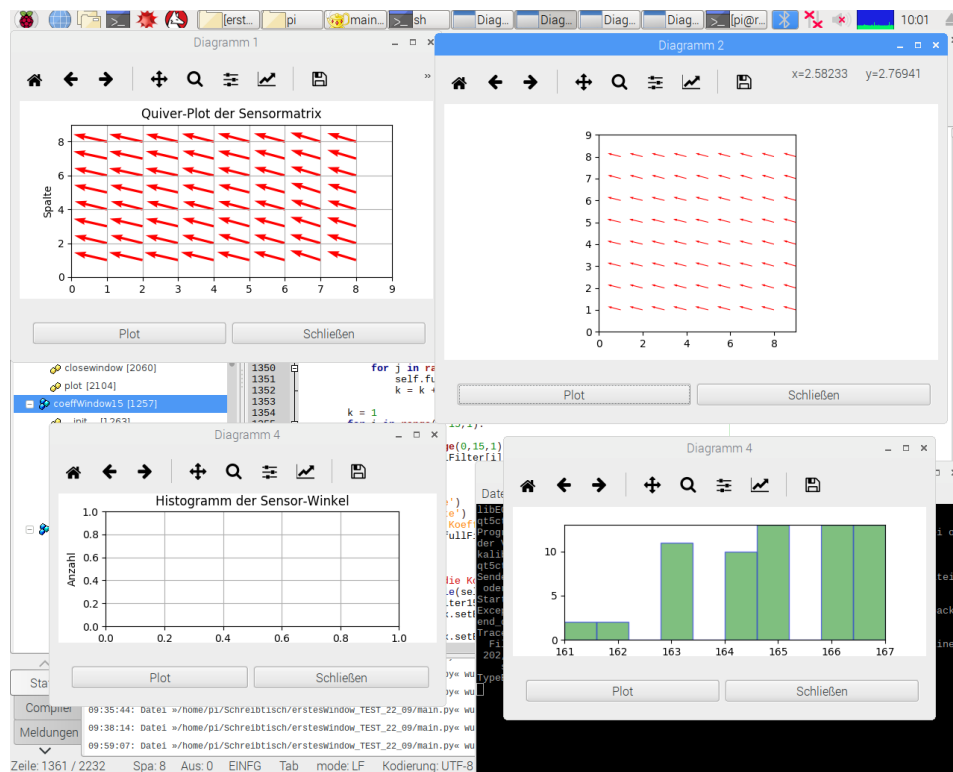


Abbildung 6.4: Darstellung des Test vom öffnen von vier Fenstern.

6.2 Entwicklung eines Benutzerhandbuches

Für die Entwicklung eines Benutzerhandbuches muss der Entwickler sein System aus der Perspektive eines unwissenden Nutzers betrachten. Der Entwickler hat das System sehr ausgiebig in der Entwurfs- und Testphase bedient und ist in den Zugriffen routiniert. Somit muss jeder Schritt beschrieben werden, um das System in Betrieb zu nehmen und zu bedienen. Des weiteren sollte eine Anleitung zum Verständnis der verwendeten Funktionen und der Diagramme gegeben werden. Nachfolgend wird eine kurze Erläuterung zu den Kapiteln gegeben und welche Informationen jeweils zu nennen sind. Für Bilder und Darstellungen wird auf die Bilder zurückgegriffen, die in dieser Arbeit verwendet werden. Dies vermindert den Aufwand der Erstellung und bietet einen höheren Wiedererkennungswert für den Benutzer, der sich vertiefend über Funktionsweisen informieren möchte.

Zu Beginn der Anleitung wird eine Einführung gegeben, um was für ein Programm es sich handelt. Was kann die Soft- und Hardware und wozu wird sie eingesetzt. Anschließend werden die Voraussetzungen beschrieben. Dazu gehören einerseits die Software auf den Geräten und andererseits die Geräte selbst und was benötigt wird, um diese anzuschließen. Für den Softwarebereich umfasst dies zum Beispiel die benötigten Pakete, die für den Raspberry Pi heruntergeladen werden müssen, als auch eine passende IDE, mit

der der Sourcecode ausgeführt werden kann.

Die nachfolgenden Kapitel beziehen sich auf die Bedienung des Programmes und Informationen zu den verwendeten Diagrammen. Beginnend bei dem Programmstart und dem Aufbau der Geräte werden die einzelnen Fenster erläutert. Für ausführliche Informationen zur Funktionsweise des Programmes kann auf diese Arbeit verwiesen werden. Bei dem Kalibrierfenster ist es wichtig auf die beiden Kalibrierverfahren detailliert hinzuweisen. Es soll verständlich erklärt werden, was der Vorteil der beiden Möglichkeiten ist und wie die Kalibrierung durchgeführt wird. Für das Hauptfenster müssen die einzelnen Bedienfelder erläutert werden. Ein weiterer Abschnitt beschreibt das Filtereinstellungsfenster. Hier muss deutlich werden, wieso ein Viertel der erwarteten Matrix dargestellt wird. Es soll klar werden, wie die Matrix mit Werten zu füllen ist. Für die Diagrammfenster wird das Starten des Plots durch klicken des Buttons einmal explizit erwähnt. Außerdem wird die Nutzung der eigenen Matplotlib Toolbar und das Lesen der wählbaren Diagramme erklärt.

Insgesamt soll durch die Anleitung ein „roter Faden“ verlaufen, der vom Erhalt und Aufbau der Geräte bis zum Deuten des ersten Plots durch die einzelnen Schritte führt. Die Anleitung soll alle Aspekte zur Bedienung beinhalten, wodurch ein rasches Einarbeiten in die Oberfläche möglich ist. Die Bedienungsanleitung ist im Anhang im Kapitel E einzusehen.

7 Zusammenfassung und Ausblick

Nachdem im vorangegangenen Kapitel das Gesamtsystem in Betrieb genommen wurde und Auffälligkeiten beschrieben wurden, geht es nun daran, diese zu analysieren und zu bewerten. Des Weiteren werden Möglichkeiten zur Erweiterung oder Änderung des Projekts diskutiert und diese Arbeit in den Kontext des Gesamtprojekts ISAR eingeordnet. Abschließend werden die Entwicklungen und Ergebnisse in einem Fazit zusammengefasst.

7.1 Bewertung der Ergebnisse

Nachfolgend wird zu den Auffälligkeiten während der Inbetriebnahme in sofern Stellung genommen, wie sie das Programm in größerem Maße negativ beeinflussen. Lösungen zu den Problemen und Ideen zur Weiterführung werden im nachfolgenden Kapitel 7.2 stichpunktartig diskutiert.

Während der Langzeitkalibrierung wurde der Befehl zum messen nicht auf dem Dialogfenster angezeigt. Da die Messungen dennoch einwandfrei durchgeführt werden konnten und der Timer funktioniert hat, ist dieser Fehler zu vernachlässigen. Es könnten dennoch die Timings zur Anzeigzeit angepasst werden.

Bei dem Test der Diagramme sind einige Funktionsstörungen aufgefallen. Die marginale Nullpunkt-Verschiebung des Scatter-Plots für die ungefilterte 8×8 Matrix lässt sich vernachlässigen, da mit der „one-shot“-Methode kalibriert wurde. Es könnte dennoch ein Test mit den Daten der Langzeitkalibrierung zur Verifizierung durchgeführt werden. Der Fehler bei der 15×15 Matrix des Scatter-Plots konnte direkt auffindig gemacht werden. Es wurde getestet, ob es an den interpolierten Daten oder an einer Funktion auf dem Raspberry Pi liegt. Dabei konnte festgestellt werden, dass bei Auswahl eines „Kreis-Plots“ die Variable für die Interpolation auf Null gesetzt wurde. Dadurch wurden auf dem Raspberry Pi bei dem Einlesen lediglich 128 Werte aus den 225 Werten des Cosinus-Arrays ausgelesen. Dieser Umstand wurde direkt behoben und eine Testmessung durchgeführt. Diese Messung ist in Abbildung 7.1 dargestellt und weist eine leichte Verschiebung des Mittelpunktes auf der Y-Achse von etwa $-0.07V$ auf. Die Form ist kreisförmig und liegt im erwarteten Wertebereich. Die Wertebereiche der gefilterten 15×15 Matrizen sind ebenfalls sehr klein (im Bereich $\pm 0.001V$), was auf die angewandten Filter zurückzuführen ist. Eine Normierung auf Eins wäre hier nötig.

Eine Beobachtung, die sich durch alle Diagrammtests gezogen hat, ist eine Unstimmigkeit bei der Visualisierung der tiefpassgefilterten 8×8 Matrix. Hier gab es mit jeden der drei Plots Probleme, wo hingegen die ungefilterten Werte richtig dargestellt wurden.

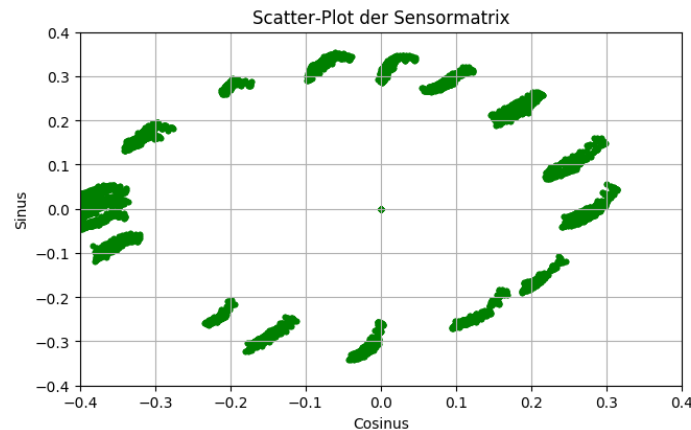


Abbildung 7.1: 15×15 Matrix mit ungefilterten Werten im Scatter-Plot.

Diese Fehler liegen an der Matrixform. Der Vorteil einer 8×8 Matrix ist die schnelle Berechnung der DFT aufgrund der Zweierpotenz. Der Nachteil ist jedoch deutlich gravierender, da der Gleichanteil durch eine Filterung nicht direkt aus der Matrix zu entfernt wird. Dieser kann nämlich durch das Null-setzen des Matrixmittelpunktes im Bildbereich entfernt werden. Bei einer 8×8 Matrix gibt es jedoch keinen einzelnen Mittelpunkt, wie bei einer 15×15 Matrix. Das Entfernen von allen vier inneren Werten würde zu viele Werte der Matrix löschen. Des Weiteren ist das Tiefpassfilter bei allen äußeren Matrixwerten auf Null gesetzt. Diese Maßnahme löscht ebenfalls 28 Werte aus der Matrix, wodurch nur noch 36 zur weiteren Verarbeitung und Aussage der Messung herangezogen werden können.

Weitere Auffälligkeiten sind beim Quiver-Plot in der Darstellung der 15×15 Matrix beschrieben. Die Krümmung der Feldlinien ist in einem 8×8 Plot nicht zu sehen, da die Auflösung zu gering ist. Da die Messung mit einem Würfelmagneten von $10\text{mm} \times 10\text{mm}$ durchgeführt wurde, kann die Krümmung durch eine unsaubere manuelle Haltung über dem Sensor-Array entstanden sein. Für größere Magneten fehlt an dem mechanischen Aufbau eine entsprechende Halterung, um den Magneten bei einer Messung immer in der gleichen Position und Höhe zu halten. Ein Problem mit der Achsenskalierung ist bei der gleichzeitigen Darstellung von zwei Quiver-Plots aufgefallen. Die Skalierung des zu erst geöffneten Plots wurde auch für den zweiten Plot verwendet. Dieses Problem liegt an der Variablenverwaltung von Matplotlib, da immer, zwar lokal, die selben Variablenamen verwendet wurden. Zum Test könnten andere Variablennamen vergeben werden, beispielsweise mit einer Nummerierung. Behoben werden muss der Fehler unbedingt, da eine Darstellung der gesamten Messwerte sonst nicht möglich ist. Ebenso diesem Umstand der Variablenverwaltung zuzuschreiben, ist das Öffnen von vier Fenstern für die Visualisierung der Filterkoeffizienten. Hier werden die selben Namen für die Funktions- und Achsenpointer verwendet.

Das letzte Problem, was im Zusammenhang mit den Diagrammen aufgetreten ist, war die Fehlermeldung zum Verbindungsproblem mit anschließendem Einfrieren des Plots. Da dies ein sporadisch auftretender Fehler ist, ist es um so schwerer die Ursache auszumachen. Die genaue Fehlermeldung ist in Listing 7.1 angegeben. Im Internet wird beschrieben, dass dies ein Bug in der Python-Version 3.5 ist. Der `DataCursor`, der Zeiger zwischen der Figur und dem Speicherbereich der Daten für das Diagramm, wird irgendwann vom `Garbage-Collector` gelöscht [8]. Damit entsteht ein `Time-Out-Error`, weil keine Daten in die Figur geladen werden können.

Quellcode 7.1: Fehlermeldung zum Timeout-Error von Matplotlib.

```
Exception ignored in: <bound method TimerQT.__del__ of <matplotlib.backends.  
backend_qt5.TimerQT object at 0x67b2d110>>      Traceback (most recent call last):  
File "/usr/lib/python3/dist-packages/matplotlib/backends/backend_qt5.py", line 202,  
in __del__self._timer.timeout.disconnect(self._on_timer)
```

Das allgegenwärtige Problem ist die Geschwindigkeit des gesamten Programms. Die Diagramme wurden nur sehr langsam neu geladen und sobald ein Diagrammfenster geöffnet wurde, hat sich die Bedienung der Oberfläche deutlich verzögert. Dies ist zum einen ein Problem, da nach dem Schließen eines Fensters und erneuten Öffnen die Geschwindigkeit noch weiter abnimmt, zum anderen wird die flüssige Demonstration des Sensor-Arrays dadurch erschwert. Der eigentliche Zweck des Projektes ist damit nicht mehr umsetzbar. Dafür gibt es mehrere Ursachen. Die Erste ist der Raspberry Pi selbst, da dieser nur begrenzte Rechenkapazität aufbringt und aufwändigere grafische Anwendungen nicht flüssig darstellen kann. Des Weiteren ist die Übertragungsgeschwindigkeit zwischen den Systemen noch relativ gering. Möglich wären Übertragungsraten von über 1 Mio. Baud. Anschließend könnte auch das Timing auf dem Raspberry Pi angepasst werden.

7.2 Ansätze zur Weiterführung

Die Ansätze zur Weiterführung und Ideen zur Optimierung des Programms werden nachfolgend in Stichpunkten festgehalten. Dies bietet eine bessere Übersicht und vereinfacht es den zukünftigen Nutzern, in das Projekt einzusteigen.

- **Geschwindigkeitsoptimierung:** Die Geschwindigkeit des Systems könnte nur durch ein Systemupgrade deutlich gesteigert werden. Mit größerem Kapital könnte ein älteres ThinkPad von Lenovo zum Einsatz kommen. Dies gibt es für 100 bis 150 Euro auf Ebay. Es bietet bis zu 8GB RAM und eine mehr als doppelt so hohe Taktfrequenz der 4-Kerner-CPU. Für ein Demonstrationssystem macht es keinen Sinn, dass die Diagramme nicht flüssig dargestellt werden können. Darauf ließe sich ebenso ein vollwertiges Ubuntu Betriebssystem installieren, welches deutlich mehr Möglichkeiten als das schlanke Raspbian bietet. Wenn die Plattform Raspberry Pi jedoch bestehen bleiben soll gibt es auch die Möglichkeit, die Baudraten der

Systeme zu erhöhen. Diese liegen derzeit bei 115200 und bei USB 2.0 sind Raten bis über 1Mio. Baud möglich. Anschließend könnten die Wartezeiten im Empfangs-Thread auf dem Raspberry Pi deutlich verringert werden. Ein Problem bleibt die Taktfrequenz des Raspberry Pi von standardmäßig 1,2GHz im „Performance Mode“, sowie der Arbeitsspeicher von 1GB mit einer Frequenz von 450MHz. Diese Größen lassen sich nicht verändern, außer durch eine Übertaktung. Dies erfordert aber gutes technisches Verständnis und es kann keine sichtbare Verbesserung versprochen werden. Tests zeigen, dass ein Übertakten auf 1,4GHz stabil laufen kann. Der Speichertakt kann auf bis zu 500MHz angehoben werden [25]. Im Vergleich, die CPU des ThinkPads läuft standardmäßig bei 2,6GHz und der Arbeitsspeicher bei 1600MHz.

- **Code auf dem Mikrocontroller:** Auf dem Mikrocontroller sind viele Funktionen doppelt implementiert, damit Matrizen verschiedener Größen verarbeitet werden können. Dieses wurde zur Verbesserung der Programmübersicht implementiert. Zur Steigerung der Performance und zur Minimierung des Speicherbedarfs, könnten die Funktionen dynamisch gestaltet werden. Das bedeutet die Funktionen bekommen einen Pointer zur Matrix und die Matrixgröße übermittelt.
- **Code auf dem Raspberry Pi:** Da die Programmiersprache für dieses Projekt erst erlernt worden ist, ist es durchaus zu empfehlen, den Code von bereits erfahrenen Python-Programmierern prüfen zu lassen. Es gibt viele Möglichkeiten, den Code hinsichtlich der Struktur und der Geschwindigkeit zu optimieren. Außerdem sollte, zur besseren Darstellung der Werte, eine Normierung der Filterkoeffizienten durchgeführt werden. Diese wäre für die vorhandenen, als auch für die vom Nutzer eingegebenen nötig.
- **Offsetkalibrierung:** Die Offsetkalibrierung findet derzeit als „one-shot“-Methode oder als Mittelung über eine 360° Drehung statt. Dies spiegelt aber keinen genauen Werte der Sensoren wieder, da sich der Offset eines Sensors, je nach Messbereich, ändern kann. Dafür müsste eine Messung jedes einzelnen Sensors über eine 360° Drehung aufgenommen werden. Anschließend kann die Variation der Werte begutachtet werden. Wenn es zu deutlichen Differenzen kommt, bietet es sich an, eine Korrektur je nach Quadrant durchzuführen. Dazu müssten mehrere Matrizen, mindestens eine für jeden Quadranten, berechnet werden. Der Funktion `sub_Offset()` wird dann ein Pointer zur Matrix und der derzeitige Winkel übergeben, Je nach Winkel wird der Offset subtrahiert.
- **Kommunikationsoptimierung:** Bei dem Raspberry Pi gibt es das Problem, dass die Befehle teilweise doppelt gesendet werden, bis ein Antwort vom Mikrocontroller wahrgenommen wird. Für Funktionen, bei denen mit einem Rückgabewert vom Mikrocontroller zu rechnen ist, ist diese Methode praktikabel. In der Kalibrierungsphase jedoch, beim übermitteln der berechneten Offsetmatrix, wird diese an

den Mikrocontroller gesendet, ohne zu wissen, ob die Werte auch empfangen wurden. Hier sollte ein „Handshake-Verfahren“ eingebaut werden, bei dem der MC eine Rückmeldung darüber sendet, ob die Werte empfangen wurden. Ein einfacher Vorschlag wäre, die identischen Werte zurückzusenden. Dann kann auf dem Mikrocontroller ein Test auf Gleichheit durchgeführt werden.

- **Diagrammanpassungen:** Um das Übersprechen von verschiedenen Variablen zu vermeiden, sollte jede Fensterklasse, sowie die Klassen zu den Filterfenstern, neue Namen für die Figur-Variablen bekommen. Ansonsten kann nicht ausgeschlossen werden, dass es mit der Kombination der `matplotlib.backends` Bibliothek und der Pythonversion zusammen hängt, die auch für den Fehler mit dem `DataCursor` verantwortlich ist.
- **Pythonversion ändern:** Da auf der Internetseite vorgeschlagen wird eine neue Pythonversion auf den Raspberry Pi zu spielen, wird empfohlen eine neuere Version zu wählen. Dies wäre zum Beispiel Python 3.6. Dieser Aufwand kann allerdings nicht abgeschätzt werden, da zusätzlich zu der Versionsänderung eventuell diverse Programmcodeanpassung durchzuführen sind.

7.3 Fazit und Beitrag zum Gesamtprojekt

In dieser Arbeit wurde nach der Einarbeitung in das Thema damit begonnen, eine Projektstruktur bezüglich der Anforderungen und verfügbaren Hard- und Software zu erstellen. Anschließend wurden erste Signalverarbeitungsmethoden implementiert und getestet. Die getesteten Funktionen konnten in den verfügbaren Code eingebettet werden. Neben der Entwicklung erster Verarbeitungsmethoden wurde das Frontend, die Bedienoberfläche für den Benutzer, entworfen. Die Anforderungen wurden festgehalten und schließlich mit Funktionen verknüpft, um diese verschiedene Bedienoberflächen zuzuordnen. Dafür wurden einige Interface-Designkriterien herangezogen. Somit war die Oberfläche entworfen, jedoch ohne jegliche Funktionen. Diese wurden im nächsten Schritt implementiert. Jeder Eingabe des Benutzers folgt eine Reaktion, ein Event, des Systems, um diese zu verarbeiten. Der nächste große Schritt war das Zusammenführen der beiden Systeme, das herstellen der Kommunikation und dessen Verarbeitung. Dazu wurden auf beiden Systeme weitere umfangreiche Subroutinen implementiert. Die Informationen mussten zwischen den Systemen geteilt werden, damit jeder Teil für sich damit arbeiten kann. Als letzter Schritt wurden die Diagrammfenster implementiert. Dies war nur möglich, nachdem die Kommunikation zwischen den Systemen einwandfrei funktioniert. Das heißt, der Nutzer kann seine Eingaben tätigen, diese werden zum Mikrocontroller gesendet, dort werden die Messwerte beschafft und verarbeitet sowie zum Raspberry Pi zurückgesendet, um dort für den Nutzer in einem Diagramm angezeigt werden zu können. Dieser Kreislauf konnte als letzter Arbeitsschritt getestet und analysiert werden.

Ein besonderes Merkmal dieser Arbeit ist, dass ein Projekt von der Idee bis hin zur

fertigen Umsetzung durchgearbeitet wurde. Dies bietet nicht nur einen Einblick in den gesamten Entwicklungsprozess, sondern auch in die Inbetriebnahme und Analyse des abgeschlossenen Projekts. Die Arbeit soll daher auch dazu dienen, sich einen Überblick über den Arbeitsumfang, den Aufwand und die Zeitplanung eines solchen Projekts zu verschaffen, um eigene Projekte besser strukturieren und planen zu können.

Das System, das in dieser Projektarbeit entworfen wurde, ist sehr kompakt und eignet sich sehr gut zum Transport. Mit diesem Aufbau lassen sich Versuche durchführen und die Interessenten auf Messen werden dazu eingeladen, selbst mit dem Programm zu arbeiten und kleine Versuche durchzuführen, um das Sensor-Array kennen zu lernen. Damit kann die Projektarbeit der Forschungsgruppe veranschaulicht und vorgeführt werden.

Die Programmiersprache Python eignet sich eben so gut für die Visualisierung von Messdaten, als auch für das Entwerfen von grafischen Bedienoberflächen. Jedoch wird für größere Projekte empfohlen, bereits erste Erfahrungen mit dieser Programmiersprache gesammelt zu haben. Diese erst in einer Projektarbeit zu erlernen erfordert Zeit und es ist aufwändig den richtigen Codingstyle anzuwenden, den Code zu strukturieren und bereits geschwindigkeitsoptimiert zu programmieren. Daher gibt es für den hier entstandenen Pythoncode einen Optimierungsbedarf.

Abschließend ist festzuhalten, dass bei Geschwindigkeitsoptimierung durch bessere Hardware, dieses Projekt für die Forschungsgruppe ISAR eingesetzt werden kann. Ein Grundstein ist gelegt, neuer Code zur Visualisierung entwickelt und das System getestet worden. Dies bietet eine sehr gute Grundlage zur weiteren Entwicklung und zur letzten Optimierung. Das Projekt ist so strukturiert, dass an jeder Stelle leicht angesetzt werden kann, um Änderungen und Erweiterungen zu implementieren.

Literatur

- [1] Marcel Beuler. „CORDIC-Algorithmus zur Auswertung elementarer Funktionen in Hardware“. In: (2008).
- [2] crosstool-NG. *Toolchain Types*. Englisch. Zugriff am 18. august 2018. URL: <https://crosstool-ng.github.io/docs/toolchain-types/>.
- [3] Curta.org. *Curta*. Englisch. Zugriff am 29. August 2018. URL: <http://curta.org/wiki/CurtaAlgorithms>.
- [4] Klaus CJ Dietmayer. „Magnetische Sensoren auf Basis des AMR-Effekts (Magnetic sensors based on the AMR-effect)“. In: *tm Technisches Messen Plattform für Methoden, Systeme und Anwendungen der Messtechnik* 6/2001 (2001).
- [5] ElectronicDesign. *What's the Difference Between TMR and GMR Sensors?* Englisch. Zugriff am 31. Juni 2018. URL: <https://www.electronicdesign.com/industrial-automation/what-s-difference-between-tmr-and-gmr-sensors>.
- [6] Matteo Frigo und Steven G. Johnson. *Fastest Fourier Transform in the West*. Englisch. Zugriff am 03. Juli 2018. URL: <http://www.fftw.org/>.
- [7] Texas Instruments. *Tiva™ C Series TM4C1294 Connected LaunchPad Evaluation Kit*. Englisch. Zugriff am 17. September 2018. 2016. URL: <http://www.ti.com/lit/ug/spmu365c/spmu365c.pdf>.
- [8] joferkington. *Failure with Qt5*. English. Zugriff am 17. September 2018. URL: <https://github.com/joferkington/mpldatacursor/issues/50>.
- [9] Helmuth Lemme. *Messung durch den Tunnel*. Deutsch. Zugriff am 01. August 2018. 2016. URL: <https://www.elektroniknet.de/elektronik/messen-testen/messung-durch-den-tunnel-133265.html>.
- [10] Uwe Loreit. *Der AMR-Effekt*. Deutsch. Zugriff am 31. Juni 2018. URL: <http://www.mr-sensor.de/SitesGer/AMR1.htm>.
- [11] Donald Norman. *The design of everyday things: Revised and expanded edition*. Constellation, 2013.
- [12] Software in the Public Interest (SPI). *Debian Releases*. Englisch. Zugriff am 18. august 2018. URL: <https://www.debian.org/releases/>.
- [13] Michael Reichenbach Marc und Schmidt. „VHDL - CORDIC Verfahren“. In: (2012).
- [14] Konrad Reif. *Sensoren im Kraftfahrzeug*. Springer, 2010, S. 10–33.
- [15] Sachin Rekhi. *Don Norman's Principles of Interaction Design*. Englisch. Zugriff am 28. Juni 2018. URL: <https://medium.com/@sachinrekhi/don-normans-principles-of-interaction-design-51025a2c0f33>.
- [16] Produktmanagement SENSiTEC. *AMR Sensordesigns*. Deutsch. Zugriff am 01. August 2018. URL: <https://sensitec.wordpress.com/2013/06/15/amr-sensordesigns/>.

- [17] c-buch Sommergut. *Die Entstehung von C*. Deutsch. Zugriff am 18. august 2018. URL: <http://c-buch.sommergut.de/Kapitel1/Die-Entstehung-von-C.shtml>.
- [18] Peter Stingl. *Mathematik für Fachhochschulen: Technik und Informatik*. Hanser Verlag, 2004.
- [19] G. Krucker - Hochschule für Technik und Architektur Bern. *Tiefpassfunktion*. Deutsch. Zugriff am 20. Juni 2018. URL: http://www.krucker.ch/Skripten-Uebungen/DSPUeb/dsp_ueb2000-4.pdf.
- [20] MultiDimension Technology. *MR Sensor Technology*. Englisch. Zugriff am 30. Juni 2018. URL: <http://www.dowaytech.com/en/1776.html>.
- [21] Jack E Volder. „The CORDIC trigonometric computing technique“. In: *IRE Transactions on electronic computers* 3 (1959), S. 330–334.
- [22] Wikipedia. *Digitales Filter*. Deutsch. Zugriff am 20. Juni 2018. URL: https://de.wikipedia.org/wiki/Digitales_Filter.
- [23] Wikipedia. *Diskrete Fourier-Transformation*. Deutsch. Zugriff am 08. Juni 2018. URL: https://de.wikipedia.org/wiki/Diskrete_Fourier-Transformation.
- [24] Wikipedia. *Magnetoresistiver Effekt*. Deutsch. Zugriff am 31. Juni 2018. URL: https://de.wikipedia.org/wiki/Magnetoresistiver_Effekt.
- [25] Jack Zimmermann. *Raspberry Pi 3 Overclocking*. Englisch. Zugriff am 25. September 2018. 2016. URL: <https://www.jackenhack.com/raspberry-pi-3-overclocking>.

Anhang

A Quellcode auf dem Mikrocontroller

Quellcode A.1: Berechnung des Signaloffsets.

```
2  /**
   * In dieser Funktion wird der Offset einer Sensor-Matrix berechnet.
   * Mit Hilfe der Methode der kleinsten Quadrate werden die
4  * kürzesten Abstände der Messwerte zum Ausgleichkreis berechnet
   * und der Mittelwert gebildet.
6  *
   *      Name: offset_calc.c
8  *      Created on: 21.08.2018
   *      Author: Simon Rindelaub
10 */

12 #include "include.h"
   #include "init_prototyp.h"
14
16 /**
   * @brief calculate_offset_8
   * @param input
18 * Berechnung des Offsetvektors:  $c = (A^T * A)^T * A^T * b$ 
   *  $Yc = -(C2/2)$  <- Sinusoffset
20 *  $Xc = -(C1/2)$  <- Cosinusoffset
   *  $r = \sqrt{(C1^2 + C2^2) / 4} - C3$  <- Kreisradius
22 */
   void calculate_offset_8(struct complex input[8][8]){
24
       int k = 0, i = 0, j = 0;
26       double sum = 0;
       double det_B = 0;
28
       // Zurücksetzen des Offsetwertes
30       resultOffset[0][0] = 0;
       resultOffset[1][0] = 0;
32       resultOffset[2][0] = 0;
34
       // Input in die 64x3 Matrix übertragen
       for (i = 0; i < 8; i++){
36           for(j = 0; j < 8; j++){
               transponiert1[k][0] = input[i][j].real; // Realteil
38               transponiert1[k][1] = input[i][j].imag; // Imaginärteil
               transponiert1[k][2] = 1; // Mit Einsen auffüllen
40               k++;
           }
42       }
44
       // Transponierte der Eingangsmatrix erstellen
       for(i = 0; i < 64; i++){
46           for(k = 0; k < 3; k++){
               transponiert2[k][i] = transponiert1[i][k];
48           }
       }
50
       // Matrixmultiplikation 64x3 * 3x64 => 3x3
52       for(i = 0; i < 3; i++){
```

```

54         for(j = 0; j < 3; j++){
55             for(k = 0; k < 64; k++){
56                 sum += transponiert2[j][k] * transponiert1[k][i];
57             }
58             B[i][j] = sum;
59             sum = 0;
60         }
61     }
62     // Adjungierte von B berechnen
63     adjungieren(B);
64
65     // Determinate von B
66     det_B = det3x3(B);
67
68     // Die Determinate darf nicht Null sein
69     if(det_B != 0){
70
71         // Inverse von berechnen: Inv_B = 1/det(B) * adj(B)
72         for (i = 0; i < 3; i++) {
73             for (j = 0; j < 3; j++) {
74                 Inv_B[i][j] = (1/det_B) * Adj[i][j];
75             }
76         }
77
78         // Matrixmultiplikation 3x3 * 3x64 => 3x64
79         sum = 0;
80         for(i = 0; i < 3; i++){
81             for(j = 0; j < 64; j++){
82                 for(k = 0; k < 3; k++){
83                     sum += Inv_B[i][k] * transponiert2[k][j];
84                 }
85                 C[i][j] = sum;
86                 sum = 0;
87             }
88         }
89
90         // Vektor b berechnen
91         for(j = 0; j < 64; j++){
92             b[j][0] = (-1) * (pow(transponiert1[j][0],2) + pow(transponiert1[j][1],2));
93         }
94
95         //Ergebnis berechnung des "Offsetvektors"
96         for(k = 0; k < 3; k++){
97             for(j = 0; j < 64; j++){
98                 resultOffset[k][0] += C[k][j] * b[j][0];
99             }
100        }
101    }
102 }
103
104 /**
105  * @brief calculate_offset_15
106  * @param input
107  * Berechnen des Offsetvektor:  $c = (A^T * A)^T * A^T * b$ 
108  *  $Y_c = -(C2/2)$  <- Sinusoffset
109  *  $X_c = -(C1/2)$  <- Cosinusoffset
110  *  $r = \sqrt{(C1^2 + C2^2) / 4} - C3$  <- Kreisradius
111  */
112 void calculate_offset_15(struct complex input[15][15]){
113
114     int k = 0, i = 0, j = 0;
115     double sum = 0;

```

```
double det_B = 0;

118 // Zurücksetzen des Offsetwertes
120 resultOffset15[0][0] = 0;
122 resultOffset15[1][0] = 0;
122 resultOffset15[2][0] = 0;

124 // Input in die 225x3 Matrix übertragen
124 for (i = 0; i < 15; i++) {
126     for(j = 0; j < 15; j++){
128         transponiert115[k][0] = input[i][j].real; // realteil
128         transponiert115[k][1] = input[i][j].imag; // Imaginärteil
130         transponiert115[k][2] = 1; // Mit Einsen auffüllen
132         k++;
132     }
132 }

134 // Transponierte der Eingangsmatrix erstellen
134 for(i = 0; i < 225; i++){
136     for(k = 0; k < 3; k++){
138         transponiert215[k][i] = transponiert115[i][k];
138     }
140 }

140 // Matrixmultiplikation 225x3 * 3x225 => 3x3
142 for(i = 0; i < 3; i++){
144     for(j = 0; j < 3; j++){
146         for(k = 0; k < 225; k++){
148             sum += transponiert215[j][k] * transponiert115[k][i];
148         }
150         B15[i][j] = sum;
150         sum = 0;
150     }
150 }

152 // Adjungierte von B berechnen
152 adjungieren(B15);

154 // Determinate von B
156 det_B = det3x3(B15);

158 // Die Determinate darf nicht Null sein
158 if(det_B != 0){
160     // Inverse von B berechnen: B_Inv = 1/det(B) * adj(B)
162     for (i = 0; i < 3; i++) {
164         for (j = 0; j < 3; j++) {
166             Inv_B15[i][j] = (1/det_B) * Adj[i][j];
166         }
166     }

168     // Matrixmultiplikation 3x3 * 3x225 => 3x225
170     sum = 0;
170     for(i = 0; i < 3; i++){
172         for(j = 0; j < 225; j++){
174             for(k = 0; k < 3; k++){
176                 sum += Inv_B15[i][k] * transponiert215[k][j];
176             }
178             C15[i][j] = sum;
178             sum = 0;
178         }
178     }

180 // Kreisfunktions-Vektor B berechnen
180 for(j = 0; j < 225; j++){
```

```
182         b15[j][0] = (-1) * (pow(transponiert115[j][0],2) + pow(transponiert115[j]
           ][1],2));
184     }
185     // Ergebnisberechnung des Offsetvektors 3x1
186     for(k = 0; k < 3; k++){
187         for(j = 0; j < 225; j++){
188             resultOffset15[k][0] += C15[k][j] * b15[j][0];
189         }
190     }
191 }
192 }
193
194 /**
195  * @brief sub_offset8
196  * @param input
197  * Zieht den berechneten Offset von einer
198  * übergebenen 8x8 Messwertmatrix ab.
199  */
200 void sub_offset8(struct complex input[8][8]){
201
202     int i=0, j=0;
203
204     if (kurzOffset == 1){
205         for(i=0;i<8;i++){
206             for(j=0;j<8;j++){
207                 input[i][j].real -= (-resultOffset[0][0] / 2); // Xc = -(C1/2)
208                 input[i][j].imag -= (-resultOffset[1][0] / 2); // Yc = -(C2/2)
209             }
210         }
211     }else{
212         for(i=0;i<8;i++){
213             for(j=0;j<8;j++){
214                 input[i][j].real -= offsetMatrix[i][j].real;
215                 input[i][j].imag -= offsetMatrix[i][j].imag;
216             }
217         }
218     }
219 }
220 }
221
222 /**
223  * @brief sub_offset15
224  * @param input
225  * Zieht den berechneten Offset von einer
226  * übergebenen 15x15 Messwertmatrix ab.
227  */
228 void sub_offset15(struct complex input[15][15]){
229
230     int i=0, j=0;
231
232     if (kurzOffset == 1){
233         for(i=0;i<15;i++){
234             for(j=0;j<15;j++){
235                 input[i][j].real -= (-resultOffset15[0][0] / 2); // Xc = -(C1/2)
236                 input[i][j].imag -= (-resultOffset15[1][0] / 2); // Yc = -(C2/2)
237             }
238         }
239     }else{
240         for(i=0;i<15;i++){
241             for(j=0;j<15;j++){
242                 input[i][j].real -= offsetMatrix[i][j].real;
243                 input[i][j].imag -= offsetMatrix[i][j].imag;
244             }
245         }
246     }
247 }
```

```

246     }
247 }
248
249 /**
250  * @brief adjungieren
251  * @param input
252  * Bildet für das Input-Array die Adjungierte.
253  */
254 void adjungieren(double input[3][3]){
255     Adj[0][0] = (input[1][1]*input[2][2]) - (input[1][2]*input[2][1]); //A(2,2)*A
256                (3,3)-A(2,3)*A(3,2)
257     Adj[0][1] = (input[0][2]*input[2][1]) - (input[0][1]*input[2][2]); //A(1,3)*A
258                (3,2)-A(1,2)*A(3,3)
259     Adj[0][2] = (input[0][1]*input[1][2]) - (input[0][2]*input[1][1]); //A(1,2)*A
260                (2,3)-A(1,3)*A(2,2)
261
262     Adj[1][0] = (input[1][2]*input[2][0]) - (input[1][0]*input[2][2]); //A(2,3)*A
263                (3,1)-A(2,1)*A(3,3)
264     Adj[1][1] = (input[0][0]*input[2][2]) - (input[0][2]*input[2][0]); //A(1,1)*A
265                (3,3)-A(1,3)*A(3,1)
266     Adj[1][2] = (input[0][2]*input[1][0]) - (input[0][0]*input[1][2]); //A(1,3)*A
267                (2,1)-A(1,1)*A(2,3)
268
269     Adj[2][0] = (input[1][0]*input[2][1]) - (input[1][1]*input[2][0]); //A(2,1)*A
270                (3,2)-A(2,2)*A(3,1)
271     Adj[2][1] = (input[0][1]*input[2][0]) - (input[0][0]*input[2][1]); //A(1,2)*A
272                (3,1)-A(1,1)*A(3,2)
273     Adj[2][2] = (input[0][0]*input[1][1]) - (input[0][1]*input[1][0]); //A(1,1)*A
274                (2,2)-A(1,2)*A(2,1)
275
276 }
277
278 /**
279  * @brief det3x3
280  * @param input
281  * @return det
282  * Determinante einer 3x3 Matrix berechnen.
283  */
284 double det3x3(double input[3][3]){
285     double det = 0;
286     det = (input[0][0]*input[1][1]*input[2][2]) + (input[0][1]*input[1][2]*input
287            [2][0]) + (input[0][2]*input[1][0]*input[2][1]) - (input[2][0]*input[1][1]*
288            input[0][2]) - (input[2][1]*input[1][2]*input[0][0]) - (input[2][2]*input
289            [1][0]*input[0][1]);
290
291     return det;
292 }

```

Quellcode A.2: Berechnung der Interpolation auf 15×15 .

```

/**
2  * Die Interpolation von einer 8x8 auf eine 15x15 Matrix
  * wird mit Hilfe der interpolieren()-Funktion
4  * durchgeführt. genutzt wird eine lineare Interpolation.
  *
6  *      Name: interpolation.c
  *      Created on: 21.08.2018
8  *      Author: Simon Rindelaub
  */
10
#include "include.h"
12 #include "init_prototyp.h"
14
/**
16 * @brief interpolieren
  * @param input
18 * Interpoliert eine Matrix von 8x8 auf 15x15
  */
20 void interpolieren(struct complex input[8][8]){
22     int i = 0, j = 0;
24     // InputData wird auf jeden geraden Wert der Interpolierten geschrieben
     for(i=0;i<8;i++){
26         for(j=0;j<8;j++){
28             interpoliert15[i*2][j*2].real = input[i][j].real;
             interpoliert15[i*2][j*2].imag = input[i][j].imag;
30         }
     }
32     // Berechnung der Zwischenwerte der interpolierten Matrix
     for (i = 0; i < 15; i++) {
34         for (j = 0; j < 15; j++) {
36             if(i%2 == 0){ // gerade Zeile
38                 if(j%2 == 0){ // gerade Spalte
40                     }else{
// Je ein Halb der benachbarten Werte addiert sich zum neuen
virtuellen Sensorwert
42                 interpoliert15[i][j].real = (0.5 * interpoliert15[i][j-1].real)
+ (0.5 * interpoliert15[i][j+1].real);
interpoliert15[i][j].imag = (0.5 * interpoliert15[i][j-1].imag)
+ (0.5 * interpoliert15[i][j+1].imag);
44                     }
                 }else{ // ungerade Zeile
46                 if(j%2 == 0){ // gerade Spalte
// Je ein Halb der benachbarten Werte addiert sich zum neuen
virtuellen Sensorwert
48                 interpoliert15[i][j].real = (0.5 * interpoliert15[i-1][j].real)
+ (0.5 * interpoliert15[i+1][j].real);
interpoliert15[i][j].imag = (0.5 * interpoliert15[i-1][j].imag)
+ (0.5 * interpoliert15[i+1][j].imag);
50                 }else{
// Ein Halb des benachbarten Wertes und ein Viertel der schrä
gen nachbarn addiert sich zum neuen virtuellen Sensorwert
52                 interpoliert15[i][j].real = (0.5 * interpoliert15[i][j-1].real)
+ (0.25 * interpoliert15[i-1][j+1].real) + (0.25 *
interpoliert15[i+1][j+1].real);
interpoliert15[i][j].imag = (0.5 * interpoliert15[i][j-1].imag)

```

```

                    + (0.25 * interpoliert15[i-1][j+1].imag) + (0.25 *
                    interpoliert15[i+1][j+1].imag);
54                }
                }
56            }
        }
58    }

60    /**
61     * @brief interpolierenOffset
62     * @param input
63     * Interpoliert eine Offset-Matrix von 8x8 auf 15x15
64     */
65    void interpolierenOffset(struct complex input[8][8]){
66
67        int i = 0, j = 0;
68
69        // InputData wird auf jeden geraden Wert der Interpolierten geschrieben
70        for(i=0;i<8;i++){
71
72            for(j=0;j<8;j++){
73                offsetMatrix15[i*2][j*2].real = input[i][j].real;
74                offsetMatrix15[i*2][j*2].imag = input[i][j].imag;
75            }
76        }
77
78        // Berechnung der Zwischenwerte der interpolierten Matrix
79        for (i = 0; i < 15; i++) {
80            for (j = 0; j < 15; j++) {
81
82                if(i%2 == 0){ // gerade Zeile
83                    if(j%2 == 0){ // gerade Spalte
84
85                        }else{
86                            // Je ein Halb der benachbarten Werte addiert sich zum neuen
87                            virtuellen Sensorwert
88                            offsetMatrix15[i][j].real = (0.5 * offsetMatrix15[i][j-1].real)
89                            + (0.5 * offsetMatrix15[i][j+1].real);
90                            offsetMatrix15[i][j].imag = (0.5 * offsetMatrix15[i][j-1].imag)
91                            + (0.5 * offsetMatrix15[i][j+1].imag);
92                        }
93                    }else{ // ungerade Zeile
94                        if(j%2 == 0){ // gerade Spalte
95                            // Je ein Halb der benachbarten Werte addiert sich zum neuen
96                            virtuellen Sensorwert
97                            offsetMatrix15[i][j].real = (0.5 * offsetMatrix15[i-1][j].real)
98                            + (0.5 * offsetMatrix15[i+1][j].real);
99                            offsetMatrix15[i][j].imag = (0.5 * offsetMatrix15[i-1][j].imag)
100                           + (0.5 * offsetMatrix15[i+1][j].imag);
101                        }else{
102                            // Ein Halb des benachbarten Wertes und ein Viertel der schrä
103                            gen nachbarn addiert sich zum neuen virtuellen Sensorwert
104                            offsetMatrix15[i][j].real = (0.5 * offsetMatrix15[i][j-1].real)
105                            + (0.25 * offsetMatrix15[i-1][j+1].real) + (0.25 *
106                            offsetMatrix15[i+1][j+1].real);
107                            offsetMatrix15[i][j].imag = (0.5 * offsetMatrix15[i][j-1].imag)
108                            + (0.25 * offsetMatrix15[i-1][j+1].imag) + (0.25 *
109                            offsetMatrix15[i+1][j+1].imag);
110                        }
111                    }
112                }
113            }
114        }
115    }

```

Quellcode A.3: Berechnung der Fourier-Transformation und ihrer Inversen.

```

2  /**
   * In dieser Funktion wird die Fourier-Transformation durchgeführt.
   * Es werden außerdem die Twiddle-Matrizen und deren Inverse
4  * berechnet. Zum Schluss wird noch die inverse Fourier-
   * Transformation berechnet, die nach der Filterung an-
6  * gewendet werden soll.
   *
   * - Twiddle-matrizen: Zeile 23 ff.
   * - DFTs           : Zeile 96 ff.
10 *
   *      Name: fourier_transform.c
12 *      Created on: 27.08.2018
   *      Author: Simon Rindelaub
14 */

16 #include "include.h"
   #include "init_prototyp.h"
18

20 ////////////////////////////////////////////////////////////////////
   //      Berechnung der Twiddle-Matrizen      //
22 ////////////////////////////////////////////////////////////////////

24 /**
   * @brief twiddle
26 * Berechnung der Twiddle Matrix für 8x8
   */
28 void twiddle(void){
30     int i = 0, j = 0;
32     for(i=0;i<8;i++){
34         for(j=0;j<8;j++){
36             // Berechnung der einzelnen Twiddle-Faktoren
               W[i][j].real = cos(-2 * PI * i * (j / sqrt(64)));
               W[i][j].imag = sin(-2 * PI * (i / sqrt(64)* j));
38         }
39     }
40

42 /**
   * @brief InvTwiddle
   * Berechnung der inversen Twiddle Matrix für 8x8
44 */
46 void InvTwiddle(void){
48     int i = 0, j = 0;
50     for(i=0;i<8;i++){
52         for(j=0;j<8;j++){
54             // Berechnung der einzelnen inversen Twiddle-Faktoren
               InvW[i][j].real = cos(2 * PI * i * (j / sqrt(64)));
               InvW[i][j].imag = sin(2 * PI * (i / sqrt(64)* j));
56         }
57     }

58 /**
   * @brief twiddle
60 * Berechnung der Twiddle Matrix für 15x15
   */
62 void twiddle15(void){

```

```

64     int i = 0, j = 0;
66     for(i=0;i<15;i++){
67         for(j=0;j<15;j++){
68             // Berechnung der einzelnen Twiddle-Faktoren
69             W15[i][j].real = cos(-2 * PI * i * (j / sqrt(15*15)));
70             W15[i][j].imag = sin(-2 * PI * (i / sqrt(15*15)* j));
71         }
72     }
73 }
74
75 /**
76  * @brief InvTwiddle
77  * Berechnung der inversen Twiddle Matrix für 15x15
78  */
79 void InvTwiddle15(void){
80     int i = 0, j = 0;
81
82     for(i=0;i<15;i++){
83         for(j=0;j<15;j++){
84             // Berechnung der einzelnen Twiddle-Faktoren
85             InvW15[i][j].real = cos(2 * PI * i * (j / sqrt(15*15)));
86             InvW15[i][j].imag = sin(2 * PI * (i / sqrt(15*15)* j));
87         }
88     }
89 }
90
91 ////////////////////////////////////////////////////////////////////
92 //          Berechnung der DFTs          //
93 ////////////////////////////////////////////////////////////////////
94
95 /**
96  * @brief fft
97  * Berechnung der 2D-DTF mit Hilfe der Twiddle Matrix
98  * Output = (W * Input) * W
99  * Aufgeteilt in zwei Schleifen: g1 = W * Input, Output = g1 * W
100 */
101 void fft(void){
102     int c = 0, d = 0, k = 0;
103     double isum = 0, rsum = 0;
104     // Buffer für den ersten Schritt der komplexen Matrixmultiplikation
105     double rBuffer[8][8], iBuffer[8][8];
106
107     // Erste Schleife g1 = W * input
108     for (c = 0; c < 8; c++) {
109         for (d = 0; d < 8; d++) {
110             for (k = 0; k < 8; k++) {
111                 // Komplexe Multipl. Addition zum Buffer
112                 isum = isum + (W[c][k].real * inputData[k][d].imag) + (W[c][k].imag
113                     * inputData[k][d].real);
114                 rsum = rsum + (W[c][k].real * inputData[k][d].real) - (W[c][k].imag
115                     * inputData[k][d].imag);
116             }
117             iBuffer[c][d] = isum;
118             rBuffer[c][d] = rsum;
119             // Zurücksetzen der Buffer
120             isum = 0;
121             rsum = 0;
122         }
123     }
124     // Zurücksetzen der Buffer

```

```

126     isum = 0;
127     rsum = 0;
128
129     // Zweite Schleife out = g1 * W
130     for (c = 0; c < 8; c++) {
131         for (d = 0; d < 8; d++) {
132             for (k = 0; k < 8; k++) {
133                 // Multiplikation zwei komplexer Zahlen - Imag: (j*a1*b2)+(j*a2*b1)
134                 // Real: (a1*b1)-(a2*b2)
135                 // und Addition zum Buffer
136                 isum = isum + (iBuffer[c][k] * W[k][d].real) + (rBuffer[c][k] * W[k][d].imag);
137                 rsum = rsum + (rBuffer[c][k] * W[k][d].real) - (iBuffer[c][k] * W[k][d].imag);
138             }
139
140             // Speichern der Werte in der DFT-Output-Matrix
141             fftOutput8[c][d].imag = isum;
142             fftOutput8[c][d].real = rsum;
143             // Zurücksetzen der Buffer
144             isum = 0;
145             rsum = 0;
146         }
147     }
148
149     /**
150     * @brief ifft
151     * Berechnung der 2D IFFT mit Hilfe der inversen Twiddle-Matrix.
152     */
153     void ifft(void){
154
155         int c = 0, d = 0, k = 0;
156         double isum = 0, rsum = 0;
157         double rBuffer [8][8], iBuffer [8][8];
158
159         // Erste Schleife g1 = InvW * DFT-Output
160         for (c = 0; c < 8; c++) {
161             for (d = 0; d < 8; d++) {
162                 for (k = 0; k < 8; k++) {
163                     // Multiplikation zwei komplexer Zahlen - Imag: (j*a1*b2)+(j*a2*b1)
164                     // Real: (a1*b1)-(a2*b2)
165                     // und Addition zum Buffer
166                     isum = isum + (InvW[c][k].real * filterOutput8[k][d].imag) + (InvW[c][k].imag * filterOutput8[k][d].real);
167                     rsum = rsum + (InvW[c][k].real * filterOutput8[k][d].real) - (InvW[c][k].imag * filterOutput8[k][d].imag);
168                 }
169                 iBuffer[c][d] = isum;
170                 rBuffer[c][d] = rsum;
171                 // Zurücksetzen der Buffer
172                 isum = 0;
173                 rsum = 0;
174             }
175         }
176
177         // Zurücksetzen der Buffer
178         isum = 0;
179         rsum = 0;
180
181         // Zweite Schleife out = g1 * InvW
182         for (c = 0; c < 8; c++) {
183             for (d = 0; d < 8; d++) {
184                 for (k = 0; k < 8; k++) {
185                     // Multiplikation zwei komplexer Zahlen - Imag: (j*a1*b2)+(j*a2*b1)

```

```

        Real: (a1*b1)-(a2*b2)
        // und Addition zum Buffer
186     isum = isum + (iBuffer[c][k] * InvW[k][d].real) + (rBuffer[c][k] *
        InvW[k][d].imag);
        rsum = rsum + (rBuffer[c][k] * InvW[k][d].real) - (iBuffer[c][k] *
        InvW[k][d].imag);
188     }
        // Speichern der IFFT Werte in der Output-Matrix und Normierung auf
        Matrixgröße
190     ifftOutput8[c][d].imag = isum/(8*8);
192     ifftOutput8[c][d].real = rsum/(8*8);
        // Zurücksetzen der Buffer
194     isum = 0;
        rsum = 0;
    }
}
}
198
/**
200 * @brief fft15
    * Berechnung der 2D-DTF mit Hilfe der Twiddle Matrix
202 * für ein 15x15 Array
    * Output = (W * Input) * W
204 * Aufgeteilt in zwei Schleifen: g1 = W * Input, Output = g1 * W
    */
206 void fft15(void){
208     int c,d,k;
        double isum = 0, rsum = 0;
210     double rBuffer15[15][15], iBuffer15[15][15];

212     // erste Schleife g1 = W * in
        for (c = 0; c < 15; c++) {
214         for (d = 0; d < 15; d++) {
                for (k = 0; k < 15; k++) {
216                 // Komplexe Multipl. und Addition zum Buffer
                    isum = isum + (W15[c][k].real * interpoliert15[k][d].imag) + (W15[c
                    ][k].imag * interpoliert15[k][d].real);
218                 rsum = rsum + (W15[c][k].real * interpoliert15[k][d].real) - (W15[c
                    ][k].imag * interpoliert15[k][d].imag);
                }
220                 iBuffer15[c][d] = isum;
                rBuffer15[c][d] = rsum;
222                 // Zurücksetzen der Buffer
                    isum = 0;
224                 rsum = 0;
            }
226         }

228     // Zurücksetzen der Buffer
        isum = 0;
230     rsum = 0;

232     // Zweite Schleife out = g1 * W
        for (c = 0; c < 15; c++) {
234         for (d = 0; d < 15; d++) {
                for (k = 0; k < 15; k++) {
236                 // Multiplikation zwei komplexer Zahlen - Imag: (j*a1*b2)+(j*a2*b1)
                    Real: (a1*b1)-(a2*b2)
                    // und Addition zum Buffer
238                 isum = isum + (iBuffer15[c][k] * W15[k][d].real) + (rBuffer15[c][k]
                    * W15[k][d].imag);
                    rsum = rsum + (rBuffer15[c][k] * W15[k][d].real) - (iBuffer15[c][k]
                    * W15[k][d].imag);
240                 }
            }
        }
    }
}

```

```

242         fftOutput15[c][d].imag = isum;
243         fftOutput15[c][d].real = rsum;
244         // Zurücksetzen der Buffer
245         isum = 0;
246         rsum = 0;
247     }
248 }
249
250
251 /**
252  * @brief ifft15
253  * Berechnung der 2D-IFFT mit Hilfe der inversen Twiddle-Matrix
254  * für ein 15x15 Array
255  */
256 void ifft15(void){
257
258     int c,d,k;
259     double isum = 0, rsum = 0;
260     double rBuffer15[15][15], iBuffer15[15][15];
261
262     // Erste Schleife g1 = InvW * fft15
263     for (c = 0; c < 15; c++) {
264         for (d = 0; d < 15; d++) {
265             for (k = 0; k < 15; k++) {
266                 // Multiplikation zwei komplexer Zahlen - Imag: (j*a1*b2)+(j*a2*b1)
267                 // Real: (a1*b1)-(a2*b2)
268                 // und Addition zum Buffer
269                 isum = isum + (InvW15[c][k].real * filterOutput15[k][d].imag) + (
270                     InvW15[c][k].imag * filterOutput15[k][d].real);
271                 rsum = rsum + (InvW15[c][k].real * filterOutput15[k][d].real) - (
272                     InvW15[c][k].imag * filterOutput15[k][d].imag);
273             }
274             iBuffer15[c][d] = isum;
275             rBuffer15[c][d] = rsum;
276             // Zurücksetzen der Buffer
277             isum = 0;
278             rsum = 0;
279         }
280     }
281
282     // Zurücksetzen der Buffer
283     isum = 0;
284     rsum = 0;
285
286     // Zweite Schleife out = g1 * InvW
287     for (c = 0; c < 15; c++) {
288         for (d = 0; d < 15; d++) {
289             for (k = 0; k < 15; k++) {
290                 // Multiplikation zwei komplexer Zahlen - Imag: (j*a1*b2)+(j*a2*b1)
291                 // Real: (a1*b1)-(a2*b2)
292                 // und Addition zum Buffer
293                 isum = isum + (iBuffer15[c][k] * InvW15[k][d].real) + (rBuffer15[c]
294                     [k] * InvW15[k][d].imag);
295                 rsum = rsum + (rBuffer15[c][k] * InvW15[k][d].real) - (iBuffer15[c]
296                     [k] * InvW15[k][d].imag);
297             }
298             // Speichern der IFFT Werte in der Output-Matrix und Normierung auf
299             // Matrixgröße
300             ifftOutput15[c][d].imag = isum/(15*15);
301             ifftOutput15[c][d].real = rsum/(15*15);
302             // Zurücksetzen der Buffer
303             isum = 0;
304             rsum = 0;
305         }
306     }
307 }

```

```
300 } }
```

Quellcode A.4: Filterung der Messwert-Matrizen.

```

2  /**
3  * In dieser Funktion werden die übergebenen Matrizen mit einem
4  * beliebigen Filter nach Wahl gefiltert. Die vorhandenen Filter
5  * werden aus dem Headerfile "filter.h" bezogen.
6  *
7  *      Name: digital_filter.c
8  *      Created on: 21.08.2018
9  *      Author: Simon Rindelaub
10 */
11
12 #include "include.h"
13 #include "init_prototyp.h"
14 #include <filter.h> // Einbinden der berechneten Filter-Matrizen
15
16 /**
17 * @brief filter8
18 * @param filtertyp
19 * @param angepasst
20 * @param input
21 * Filtert dftOutput mit einem Filter nach Wahl
22 */
23 void filter8(char filtertyp, char angepasst, struct complex input[8][8]){
24     if(angepasst == '1'){
25         multiply8(input, CustomFilter_8);
26     }else{
27         switch(filtertyp){
28             case '0': // Kein Filter ausgewählt
29                 multiply8(input, Bandpass_8); // Bandpass alles Einsen
30                 break;
31             case '1': // TP Hammingwindow
32                 multiply8(input, Hamming_TP_8);
33                 break;
34             case '2': // Bandpassfilter
35                 multiply8(input, Bandpass_8);
36                 break;
37             default:
38                 break;
39         }
40     }
41 }
42
43 /**
44 * @brief multiply8
45 * @param input
46 * @param filter
47 * Multipliziert skalar zwei 8x8 Matrizen zur Filterung
48 */
49 void multiply8(struct complex input[8][8], double filter[8][8]){
50     int c = 0, d = 0;
51
52     for (c = 0; c < 8; c++) {
53         for (d = 0; d < 8; d++) {
54             filterOutput8[c][d].imag = (input[c][d].imag * filter[c][d]);
55             filterOutput8[c][d].real = (input[c][d].real * filter[c][d]);
56         }
57     }
58 }
59
60 /**
61 * @brief filter15

```

```

    * @param filtertyp
64  * @param angepasst
    * @param input
66  * Filtert DFTOutput mit einem Filter nach Wahl
    */
68  void filter15(char filtertyp , char angepasst , struct complex input[15][15]){

70      if(angepasst == '1'){
          multiply15(input , CustomFilter_15);
72      }else{
          switch(filtertyp){
74          case '0':          // Kein Filter ausgewählt
              break;
76          case '1':          // TP Hammingwindow
              multiply15(input , Hamming_TP_15);
78              break;
          case '2':          // Bandpassfilter
80              multiply15(input , Bandpass_15);
              break;
82          default:
              break;
84          }
      }
86  }

88  /**
    * @brief multiply15
90  * @param input
    * @param filter
92  * Multipliziert skalar zwei 15x15 Matrizen zur Filterung
    */
94  void multiply15(struct complex input[15][15] , double filter[15][15]){

96      int c = 0 , d = 0;

98      for (c = 0; c < 15; c++) {
          for (d = 0; d < 15; d++) {
100             filterOutput15[c][d].imag = (input[c][d].imag * filter[c][d]);
             filterOutput15[c][d].real = (input[c][d].real * filter[c][d]);
102         }
      }
104  }
```



```
    0.21613000, 0.21613000, 0.21613000, 0.13493000, 0.05117900, 0.00000000,  
    -0.0139550, -0.0089048, -0.0028955},  
72  {-0.0028955, -0.0089048, -0.0139550, 0.00000000, 0.05117900, 0.13493000,  
    0.13493000, 0.13493000, 0.13493000, 0.13493000, 0.05117900, 0.00000000,  
    -0.0139550, -0.0089048, -0.0028955},  
    {-0.0028955, -0.0089048, -0.0139550, 0.00000000, 0.05117900, 0.05117900,  
    0.05117900, 0.05117900, 0.05117900, 0.05117900, 0.05117900, 0.00000000,  
    -0.0139550, -0.0089048, -0.0028955},  
74  {-0.0028955, -0.0089048, -0.0139550, 0.00000000, 0.00000000, 0.00000000,  
    0.00000000, 0.00000000, 0.00000000, 0.00000000, 0.00000000, 0.00000000,  
    -0.0139550, -0.0089048, -0.0028955},  
    {-0.0028955, -0.0089048, -0.0139550, -0.0139550, -0.0139550, -0.0139550,  
    -0.0139550, -0.0139550, -0.0139550, -0.0139550, -0.0139550, -0.0139550,  
    -0.0139550, -0.0089048, -0.0028955},  
76  {-0.0028955, -0.0089048, -0.0089048, -0.0089048, -0.0089048, -0.0089048,  
    -0.0089048, -0.0089048, -0.0089048, -0.0089048, -0.0089048, -0.0089048,  
    -0.0089048, -0.0089048, -0.0028955},  
    {-0.0028955, -0.0028955, -0.0028955, -0.0028955, -0.0028955, -0.0028955,  
    -0.0028955, -0.0028955, -0.0028955, -0.0028955, -0.0028955, -0.0028955,  
    -0.0028955, -0.0028955, -0.0028955}  
78  };
```

Quellcode A.6: Berechnung des CORDIC-Algorithmus.

```

2  /**
   * In dieser Funktion findet die Berechnung des Drehwinkels statt.
   * In einer Teilfunktion werden die Sensorwerte an den CORDIC-
4  * Algorithmus übergeben. Der CORDIC liefert einen Winkel
   * zurück, der in einer Winkel-Matrix gespeichert wird.
6  *
   *      Name: calculate_angle.c
8  *      Created on: 21.08.2018
   *      Author: Simon Rindelaub
10 */

12 #include "include.h"
   #include "init_prototyp.h"
14
16 /**
   * @brief cordic
   * @param real, imag
18 * Funktion berechnet Anhand eines X und Y Wertes
   * iterativ mit dem CORDIC Algorithmus den arctan(Y/X)
20 *
   * Angelehnt an den Code von Marcel Beuler der FH Giessen/Friedberg - Juni 2008
22 */
   double cordic(double real, double imag)
24 {
   // Tangenswerte für die Berechnung des Winkels im CORDIC
26   double aTan[19] = {0.78540, 0.46365, 0.24498, 0.12435, 0.062419, 0.031240,
     0.015624, 0.0078123, 0.0039062, 0.0019531, 0.00097656, 0.00048828,
     0.00024414, 0.00012207, 0.000061035, 0.000030518, 0.000015259,
     0.0000076294, 0.0000038147};

28   int n = 0;

30   double tmpx, tmpy, VZ;
   double y = imag, x = real, z = 0.0, delta = 1;
32   do{
   // Prüfung, ob der Wert sich Oberhalb oder Unterhalb der X-Achse befindet
   // und entsprechende Anpassung des Vorzeichens des algorithmus
34     if(y <= 0){
36       VZ = 1;
   }else{
38       VZ = -1;
   }
40     tmpx = x - VZ*delta*y; // berechnung des neuen X-Wertes
     tmpy = y + VZ*delta*x; // Berechnung des neuen Y-Wertes
42     x = tmpx;
     y = tmpy;
44     z = z - VZ * aTan[n]; // Addition der neuen Drehung zum Gesamtwinkel
     delta = delta / 2;
46     n++;
   }while (n <= 16); // Mit 16 Schritten Genauigkeit von 0,01 Grad
48
   return z;
50 }

52 /**
   * @brief calcAngle8
54 * @param input
   * Berechnet für jeden Sensor den Winkel
56 * und einen Mittelwert über alle 64 Sensoren
   */
58 void calcAngle8(struct complex input[8][8]){

```

```

60     int i=0, j=0;
61     int Q1 = 0, Q4 = 0;      // Quadranten zurücksetzen
62     meanAngle8 = 0;        // Winkel zurücksetzen
63
64
65     for(i=0;i<8;i++){
66         for(j=0;j<8;j++){
67
68             // Wert befindet sich in Q1 (+,+)
69             if(input[i][j].real >= 0 && input[i][j].imag >= 0){
70                 // Berechnung des Winkel mit dem CORDIC
71                 angle8[i][j] = cordic(input[i][j].real, input[i][j].imag) * (180/PI
72                 );
73                 Q1 = 1;
74             }
75             // Wert befindet sich in Q2 (-,+)
76             else if(input[i][j].real < 0 && input[i][j].imag >= 0){
77                 // Berechnung des Winkel mit dem CORDIC und Verschiebung in den
78                 // ursprünglichen Quadranten
79                 angle8[i][j] = 180 - (cordic((input[i][j].real * (-1)), input[i][j]
80                 ).imag) * (180/PI));
81             }
82             // Wert befindet sich in Q3 (-,-)
83             else if(input[i][j].real < 0 && input[i][j].imag < 0){
84                 // Berechnung des Winkel mit dem CORDIC und Verschiebung in den
85                 // ursprünglichen Quadranten
86                 angle8[i][j] = 180 + (cordic((input[i][j].real * (-1)), (input[i][j]
87                 ).imag * (-1))) * (180/PI));
88             }
89             // Wert befindet sich in Q4 (+,-)
90             else if(input[i][j].real >= 0 && input[i][j].imag < 0){
91                 // Berechnung des Winkel mit dem CORDIC und Verschiebung in den
92                 // ursprünglichen Quadranten
93                 angle8[i][j] = 360 - (cordic(input[i][j].real, (input[i][j].imag *
94                 (-1))) * (180/PI));
95                 Q4 = 1;
96             }
97         }
98     }
99
100     // Test, ob die Werte im ersten als auch im zweiten Quadranten liegen
101     // Umrechnung der Werte aus dem 1. Quadranten in den 4.
102     if (Q4 == 1 && Q1 == 1){
103         for(i=0;i<8;i++){
104             for(j=0;j<8;j++){
105                 if(angle8[i][j] < 180){
106                     angle8[i][j] += 360;
107                 }
108             }
109         }
110     }
111
112     // Zurücksetzen der Quadranten-Werte
113     Q1 = 0;
114     Q4 = 0;
115     // Addition der Winkel
116     for(i=0;i<8;i++){
117         for(j=0;j<8;j++){
118             meanAngle8 += angle8[i][j];
119         }
120     }
121
122     // Wenn der Wert über 360 Grad liegt, muss er zwangsläufig
123     // im ersten Quadranten liegen
124     meanAngle8 = meanAngle8 / 64;

```

```

118     if(meanAngle8 >= 360){
120         meanAngle8 -= 360;
121     }
122 }
123 /**
124  * @brief calcAngle15
125  * @param input
126  * Berechnet für jeden Sensor den Winkel
127  * und einen Mittelwert über alle 225 Sensoren
128  */
129 void calcAngle15(struct complex input[15][15]){
130
131     int i=0, j=0;
132     int Q1 = 0, Q4 = 0;    // Quadranten zurücksetzen
133     meanAngle15 = 0;    // Winkel zurücksetzen
134
135     for(i=0;i<15;i++){
136         for(j=0;j<15;j++){
137
138             // Wert befindet sich in Q1 (+,+)
139             if(input[i][j].real >= 0 && input[i][j].imag >= 0){
140                 // Berechnung des Winkel mit dem CORDIC
141                 angle15[i][j] = cordic(input[i][j].real, input[i][j].imag) * (180/
142                     PI);
143                 Q1 = 1;
144             }
145             // Wert befindet sich in Q2 (-,+)
146             else if(input[i][j].real < 0 && input[i][j].imag >= 0){
147                 // Berechnung des Winkel mit dem CORDIC und Verschiebung in den
148                 // ursprünglichen Quadranten
149                 angle15[i][j] = 180 - (cordic((input[i][j].real * (-1)), input[i][j]
150                     .imag) * (180/PI));
151             }
152             // Wert befindet sich in Q3 (-,-)
153             else if(input[i][j].real < 0 && input[i][j].imag < 0){
154                 // Berechnung des Winkel mit dem CORDIC und Verschiebung in den
155                 // ursprünglichen Quadranten
156                 angle15[i][j] = 180 + (cordic((input[i][j].real * (-1)), (input[i][j]
157                     .imag * (-1))) * (180/PI));
158             }
159             // Wert befindet sich in Q4 (+,-)
160             else{
161                 // Berechnung des Winkel mit dem CORDIC und Verschiebung in den
162                 // ursprünglichen Quadranten
163                 angle15[i][j] = 360 - (cordic(input[i][j].real, (input[i][j].imag *
164                     (-1))) * (180/PI));
165                 Q4 = 1;
166             }
167             // Addition der Winkel zur Berechnung des Mittelwertes
168             meanAngle15 += angle15[i][j];
169         }
170     }
171
172     // Test, ob die Werte im ersten als auch im zweiten Quadranten liegen
173     // Umrechnung der Werte aus dem 1. Quadranten in den 4.
174     if (Q4 == 1 && Q1 == 1){
175         for(i=0;i<15;i++){
176             for(j=0;j<15;j++){
177                 if(angle15[i][j] < 180){
178                     angle15[i][j] += 360;
179                 }
180             }
181         }
182     }
183 }

```

```
176 // Zurücksetzen der Quadranten-Werte
177 Q1 = 0;
178 Q4 = 0;
179 // Addition der Winkel
180 for(i=0;i<15;i++){
181     for(j=0;j<15;j++){
182         meanAngle15 += angle8[i][j];
183     }
184 }
185
186 // Wenn der Wert über 360 Grad liegt , muss er zwangsläufig
187 // im ersten Quadranten liegen
188 meanAngle15 = meanAngle15 / 225;
189 if(meanAngle15 >= 360){
190     meanAngle15 -= 360;
191 }
192 }
```

Quellcode A.7: Speichern der Eingangswerte von den Sensoren.

```

2  /**
   *      Name: Get_VAlues.c
   *      Created on: 04.04.2018
4   *      Author: abegic
   *      Bearbeitet: Simon Rindelaub - Ändern der Speicher-Matrizen
6   *                                     und Optimierung des Codes.
   */
8
10 #include "include.h"
11 #include "init_prototyp.h"
12
13 /**
14  * @param Get_Values
15  * Verarbeiten der Sensorsignale und speichern
16  * der Werte im Daten-Array für die Signalver-
17  * arbeitung.
18  */
19 void Get_Values(void)
20 {
21     int run = 0;
22
23     for (run=0;run<=7;run++)
24     {
25         enable_set_high(run);
26         // Wartezeit
27         SysCtlDelay(20000);
28         // Triggern des ADC-Processors => Starten des Abtastvorgangs
29         ADCProcessorTrigger(ADC0_BASE, 0);
30         ADCProcessorTrigger(ADC1_BASE, 1);
31         ADCProcessorTrigger(ADC1_BASE, 2);
32
33         while(!ADCIntStatus(ADC1_BASE, 2, false))
34         {
35             // Warten bis alle Sample_Sequencer fertig sind und ADC-Werte vorliegen
36         }
37         // Quittierung des Interrupts
38         ADCIntClear(ADC1_BASE, 2);
39
40         enable_set_low();
41         // Wartezeit
42         SysCtlDelay(5000);
43         // Auslesen der abgetasteten ADC-Werte und Speicherung in den globalen
44         // Variablen
45         ADCSequenceDataGet(ADC0_BASE, 0, ADC_Values_SS0);
46         ADCSequenceDataGet(ADC1_BASE, 1, ADC_Values_SS1);
47         ADCSequenceDataGet(ADC1_BASE, 2, ADC_Values_SS2);
48
49         // Schreiben der gesammelten ADC-Werte in das Daten-Array
50         inputData[run][0].imag = (double)ADC_Values_SS0[0];
51         inputData[run][1].imag = (double)ADC_Values_SS0[1];
52         inputData[run][2].imag = (double)ADC_Values_SS0[2];
53         inputData[run][3].imag = (double)ADC_Values_SS0[3];
54         inputData[run][4].imag = (double)ADC_Values_SS0[4];
55         inputData[run][5].imag = (double)ADC_Values_SS0[5];
56         inputData[run][6].imag = (double)ADC_Values_SS0[6];
57         inputData[run][7].imag = (double)ADC_Values_SS0[7];
58
59         inputData[run][0].real = (double)ADC_Values_SS1[0];
60         inputData[run][1].real = (double)ADC_Values_SS1[1];
61         inputData[run][2].real = (double)ADC_Values_SS1[2];
62         inputData[run][3].real = (double)ADC_Values_SS1[3];

```

```
62         inputData[run][4].real    = (double)ADC_Values_SS2[0];
        inputData[run][5].real    = (double)ADC_Values_SS2[1];
64         inputData[run][6].real    = (double)ADC_Values_SS2[2];
        inputData[run][7].real    = (double)ADC_Values_SS2[3];
66     } }
```



```

        twiddle(); // Twiddlematrizen
        initialisieren
62     InvTwiddle();
        twiddle15();
64     InvTwiddle15();

66     IntEnable(INT_UART0);
        break;
68     case '1': // Kalibrierung wird ausgeführt
        IntDisable(INT_UART0);
70
        Get_Values();
72     kurzOffset = 1; // Es soll der kurze Offset
        verwendet werden
        calculate_offset_8(inputData); // berechnet Offsetvektor
74     interpolieren(inputData);
        calculate_offset_15(interpoliert15); // berechnet Offsetvektor
76
        IntEnable(INT_UART0);
78     break;
//-----Winkel-Matrix angefordern-----//
80     case '2':
        IntDisable(INT_UART0);
82
        Get_Values();
84     // Interpolation == False
        if(rcv_char2[1] == '0'){
86         // Offset abziehen
            sub_offset8(inputData);
88
            if(rcv_char2[3] == '1' || rcv_char2[2] != '0'){
90
                // Aus dem String filterValues die Zahlen filtern
92         ptr = strtok(filterValues, ";");
            ptr_count = 0;
94         while(ptr != NULL)
            {
96             filters[ptr_count] = strtod(ptr, NULL);
            ptr = strtok(NULL, ";");
98             ptr_count++;
        }
100        if(rcv_char2[3] == '1'){
            // Quadranten in Filtermatrix kopieren
102        k = 0;
            for(i=0; i<4; i++){
104                for(j=0; j<4; j++){
                    CustomFilter_8[i][j] = filters[k];
106                k++;
            }
        }
108        k = 0;
            for(i=0; i<4; i++){
110                for(j=7; j>3; j--){
                    CustomFilter_8[i][j] = filters[k];
112                k++;
            }
        }
114
            k = 0;
            for(i=4; i<8; i++){
116                k++;
            for(j=0; j<8; j++){
118                    CustomFilter_8[i][j] = CustomFilter_8[i-k][
120                    j];
            }
        }
122        k++;

```

```

124         }
125     }
126     // Eingangsmatrix fourier-transformieren
127     fft();
128     // FFT-Output filtern
129     filter8(rcv_char2[2], rcv_char2[3], fftOutput8);
130     // Filteroutput zurücktransformieren
131     ifft();
132     // Winkel für 8x8 berechnen
133     calcAngle8(fftOutput8);
134     // Winkel-Matrix ausgeben
135     print_angles8();
136 }else{
137     // ungefilterte Werte zur Winkelberechnung nutzen
138     // Winkel für 8x8 berechnen
139     calcAngle8(inputData);
140     // Winkel-Matrix ausgeben
141     print_angles8();
142 }
143 }else{
144     // Interpolation == True
145     // inputData auf 15x15 interpolieren
146     interpolieren(inputData);
147     // Offset abziehen
148     sub_offset15(interpoliert15);
149
150     // Anpassen == 1 oder Filter != 0
151     if(rcv_char2[3] == '1' || rcv_char2[2] != '0'){
152         // Aus dem String filterValues die Zahlen filtern
153         ptr = strtok(filterValues, ",");
154         ptr_count = 0;
155         while(ptr != NULL)
156         {
157             filters[ptr_count] = strtod(ptr, NULL);
158             ptr = strtok(NULL, ",");
159             ptr_count++;
160         }
161         if(rcv_char2[3] == '1'){
162             // Quadranten in Filtermatrix kopieren
163             k = 0;
164             for(i=0; i<8; i++){
165                 for(j=0; j<8; j++){
166                     CustomFilter_15[i][j] = filters[k];
167                     k++;
168                 }
169             }
170             k = 0;
171             for(i=0; i<8; i++){
172                 for(j=14; j>=7; j--){
173                     CustomFilter_15[i][j] = filters[k];
174                     k++;
175                 }
176             }
177             k = 1;
178             for(i=8; i<15; i++){
179                 k++;
180                 for(j=0; j<15; j++){
181                     CustomFilter_15[i][j] = CustomFilter_8[i-k][j];
182                 }
183                 k++;
184             }
185         }
186     }
187     // Eingangsmatrix fourier-transformieren

```

```

188         fft15 ();
189         // FFT-Output filtern
190         filter15(rcv_char2[2], rcv_char2[3], fftOutput15);
191         // Filteroutput zurücktransformieren
192         ifft15 ();
193         // Winkel für 15x15 berechnen
194         calcAngle15(ifftOutput15);
195         // Winkel-Matrix ausgeben
196         print_angles15 ();
197     }else{
198         // Winkel für 15x15 berechnen
199         calcAngle15(interpoliert15);
200         // Winkel-Matrix ausgeben
201         print_angles15 ();
202     }
203     }
204     IntEnable(INT_UART0);
205     break;
206     //-----Sinus und Cosinus Matrizen anfordern-----//
207     case '3':
208         IntDisable(INT_UART0);
209         Get_Values();
210         if(rcv_char2[1] == '0'){//nicht interpolieren
211             // Offset abziehen
212             sub_offset8(inputData);
213
214             if(rcv_char2[3] == '1' || rcv_char2[2] != '0'){
215                 // Aus dem String filterValues die Zahlen filtern
216                 ptr = strtok(filterValues, ",");
217                 ptr_count = 0;
218                 while(ptr != NULL)
219                 {
220                     filters[ptr_count] = strtod(ptr, NULL);
221                     ptr = strtok(NULL, ",");
222                     ptr_count++;
223                 }
224                 // Quadranten in Filtermatrix kopieren
225                 if(rcv_char2[3] == '1'){
226                     k = 0;
227                     for(i=0;i<4;i++){
228                         for(j=0;j<4;j++){
229                             CustomFilter_8[i][j] = filters[k];
230                             k++;
231                         }
232                     }
233                     k = 0;
234                     for(i=0;i<4;i++){
235                         for(j=7;j>3;j--){
236                             CustomFilter_8[i][j] = filters[k];
237                             k++;
238                         }
239                     }
240                     k = 0;
241                     for(i=4;i<8;i++){
242                         k++;
243                         for(j=0;j<8;j++){
244                             CustomFilter_8[i][j] = CustomFilter_8[i-
245                                 k][j];
246                         }
247                     }
248                 }
249
250                 // Eingangsmatrix fourier-transformieren
251                 fft ();

```

```

252         // FFT-Output filtern
        filter8(rcv_char2[2], rcv_char2[3], fftOutput8);
254         // Filteroutput zurücktransformieren
        ifft();
256         // gefilterte Werte zum Raspberry Pi senden
        vals_to_terminal8(fftOutput8);
    }else{
258         // ungefilterte Werte zum Raspberry Pi senden
        vals_to_terminal8(inputData);
260     }
    }else{//Interpolation == True
262         // inputData auf 15x15 interpolieren
        interpolieren(inputData);
264         // Offset abziehen
        sub_offset15(interpoliert15);
266
        // Anpassen == 1 oder Filter != 0
268         if(rcv_char2[3] == '1' || rcv_char2[2] != '0'){
            // Aus dem String filterValues die Zahlen filtern
270             ptr = strtok(filterValues, ",");
            ptr_count = 0;
272             while(ptr != NULL)
            {
274                 filters[ptr_count] = strtod(ptr, NULL);
                ptr = strtok(NULL, ",");
276                 ptr_count++;
            }
            // Quadranten in Filtermatrix kopieren
278             if(rcv_char2[3] == '1'){
                k = 0;
280                 for(i=0; i<8; i++){
                    for(j=0; j<8; j++){
282                         CustomFilter_15[i][j] = filters[k];
                        k++;
284                     }
                }
                k = 0;
288                 for(i=0; i<8; i++){
                    for(j=14; j>=7; j--){
290                         CustomFilter_15[i][j] = filters[k];
                        k++;
292                     }
                }
                k = 1;
294                 for(i=8; i<15; i++){
                    k++;
296                     for(j=0; j<15; j++){
                        CustomFilter_15[i][j] = CustomFilter_15[
298                             i-k][j];
                    }
                    k++;
300                }
            }
302        }

304        // Eingangsmatrix fourier-transformieren
        fft15();
306        // FFT-Output filtern
        filter15(rcv_char2[2], rcv_char2[3], fftOutput15);
308        // Filteroutput zurücktransformieren
        ifft15();
310        // gefilterte Werte zum Raspberry Pi senden
        vals_to_terminal15(fftOutput15);
312    }else{
        // Rohe Daten zum Raspberry Pi senden
314        vals_to_terminal15(interpoliert15);
    }

```

```

316         }
317         IntEnable(INT_UART0);
318         break;
319 //-----Einzelnen Winkel senden-----//
320         case '4':
321             IntDisable(INT_UART0);
322             Get_Values();
323             sub_offset8(inputData);
324             // Mittelwert des Winkels berechnen
325             calcAngle8(inputData);
326             // Winkel zum Pi senden
327             calibration_to_terminal(meanAngle8);
328             IntEnable(INT_UART0);
329             break;
330 //-----Langzeitkalibrierung-----//
331         case '5':
332             IntDisable(INT_UART0);
333             Get_Values();
334             // Rohdaten zum Raspberry senden
335             vals_to_terminal8(inputData);
336             IntEnable(INT_UART0);
337             break;
338 //-----Kalibrierungsmatrix vom RasPi empfangen-----//
339         case '6':
340             IntDisable(INT_UART0);
341             kurzOffset = 0;
342             round += 1;
343             ptr = strtok(filterValues, ",");
344             ptr_count = 0;
345             // einlesen und filtern der Zahlen aus dem String
346             while(ptr != NULL)
347             {
348                 filters[ptr_count] = strtod(ptr, NULL);
349                 ptr = strtok(NULL, ",");
350                 ptr_count++;
351             }
352             if(round==1){
353                 // speichern realteil
354                 k=0;
355                 for(i=0;i<8;i++){
356                     for(j=0;j<8;j++){
357                         offsetMatrix[i][j].real = filters[k];
358                         k++;
359                     }
360                 }
361             }else{
362                 // speichern imagteil
363                 k=0;
364                 for(i=0;i<8;i++){
365                     for(j=0;j<8;j++){
366                         offsetMatrix[i][j].imag = filters[k];
367                         k++;
368                     }
369                 }
370             }
371             // speichern der Koeffs
372             IntEnable(INT_UART0);
373             break;
374         default:
375             break;
376     }
377 // leeren der Arrays
378     memset(rcv_char2, 0, sizeof(rcv_char2));
379     memset(filterValues, 0, sizeof(filterValues));

```

```
380         }  
382     }
```

Quellcode A.9: Ausgabe der Berechnungswerte an das UART-Terminal.

```
2  /**
   *      Name: vals_to_terminal.c
   *      Created on: 04.04.2018
   *      Author: abegic
   *      Bearbeitet: Simon Rindelaub - Hinzufügen neuer Funktionen:
   *
   *                               - vals_to_terminal15
   *                               - clibration_to_terminal
   *                               - print_angles8
   *                               - print_angles15
   */
10 /**
12 #include "include.h"
   #include "init_prototyp.h"
14
   /**
16  * @brief vals_to_terminal8
   * @param input
18  * Sendet die übergebene 8x8 Matrix an das UART Terminal
   */
20 void vals_to_terminal8(struct complex input[8][8])
   {
22     // Zwischenspeicher für printf-Funktionen
   char buffer [100];
24     int len = 0;
   int i = 0;
26     int j = 0;
28     for(i = 0 ; i<=7; i++)
   {
30         for(j = 7 ; j>=0; j--)
   {
32             if(j>0)
   {
34                 len = sprintf(buffer,"%4.2f", input[i][j].real);
   UARTSend((uint8_t*)buffer , len);
36                 SysCtlDelay(10);
   }
38             else
   {
40                 // Mit "\n" wird der Abschluss einer Line signalisiert
   // Dies wird für die Serial.readline() Funktion benötigt
42                 len = sprintf(buffer,"%4.2f", input[i][j].real);
   UARTSend((uint8_t*)buffer , len);
44                 SysCtlDelay(10);
   }
46         }
   }
48     for(i = 0 ; i<=7; i++)
   {
50         for(j = 7 ; j>=0; j--)
   {
52             if(j>0)
   {
54                 len = sprintf(buffer,"%4.2f", input[i][j].imag);
   UARTSend((uint8_t*)buffer , len);
56                 SysCtlDelay(10);
   }
58             else
   {
60                 // Mit "\n" wird der Abschluss einer Line signalisiert
62                 // Dies wird für die Serial.readline() Funktion benötigt
```

```
64         len = sprintf(buffer, "%4.2f", input[i][j].imag);
        UARTSend((uint8_t*)buffer, len);
        SysCtlDelay(10);
66     }
68 }
70 }
72 /**
73  * @brief vals_to_terminal15
74  * @param input
75  * Sendet die übergebene 15x15 Matrix an das UART Terminal
76  */
77 void vals_to_terminal15(struct complex input[15][15])
78 {
79     // Zwischenspeicher für printf-Funktionen
80     char buffer [100];
81     int len = 0;
82     int i = 0;
83     int j = 0;
84     for(i = 0 ; i<=14; i++)
85     {
86         for(j = 14 ; j>=0; j--)
87         {
88             if(j>0)
89             {
90                 len = sprintf(buffer, "%4.2f", input[i][j].real);
91                 UARTSend((uint8_t*)buffer, len);
92                 SysCtlDelay(10);
93             }
94             else
95             {
96                 // Mit "\n" wird der Abschluss einer Line signalisiert
97                 // Dies wird für die Serial.readline() Funktion benötigt
98                 len = sprintf(buffer, "%4.2f", input[i][j].real);
99                 UARTSend((uint8_t*)buffer, len);
100                SysCtlDelay(10);
101            }
102        }
103    }
104    for(i = 0 ; i<=14; i++)
105    {
106        for(j = 14 ; j>=0; j--)
107        {
108            if(j>0)
109            {
110                len = sprintf(buffer, "%4.2f", input[i][j].imag);
111                UARTSend((uint8_t*)buffer, len);
112                SysCtlDelay(10);
113            }
114            else
115            {
116                // Mit "\n" wird der Abschluss einer Line signalisiert
117                // Dies wird für die Serial.readline() Funktion benötigt
118                len = sprintf(buffer, "%4.2f", input[i][j].imag);
119                UARTSend((uint8_t*)buffer, len);
120                SysCtlDelay(10);
121            }
122        }
123    }
124 }
126 /**
```

```
128  * @brief calibration_to_terminal
129  * @param angle
130  * Sendet die übergebenen winkel an das UART Terminal
131  */
132  void calibration_to_terminal(double angle){
133      // Zwischenspeicher für printf-Funktionen
134      char buffer [10];
135      int len = 0;
136
137      len = sprintf(buffer,"%3.1f", angle);
138      UARTSend((uint8_t*)buffer, len);
139      SysCtlDelay(10);
140
141  }
142
143  /**
144  * @brief print_angles8
145  * Gibt die Winkel-Matrix für das 8x8 Sensorfeld aus
146  */
147  void print_angles8(void){
148
149      char buffer [100];
150      int len = 0;
151      int i = 0;
152      int j = 0;
153
154      for(i = 0 ; i<8; i++)
155      {
156          for(j = 0 ; j<8; j++)
157          {
158              if(j<7)
159              {
160                  len = sprintf(buffer,"%3.2f", angle8[i][j]);
161                  UARTSend((uint8_t*)buffer, len);
162                  SysCtlDelay(50);
163              }
164              else
165              {
166                  // Mit "\n" wird der Abschluss einer Line signalisiert
167                  // Dies wird für die Serial.readline() Funktion benötigt
168                  len = sprintf(buffer,"%3.2f", angle8[i][j]);
169                  UARTSend((uint8_t*)buffer, len);
170                  SysCtlDelay(50);
171              }
172          }
173      }
174  }
175
176  /**
177  * @brief print_angles15
178  * Gibt die Winkel-Matrix für das 15x15 Sensorfeld aus
179  */
180  void print_angles15(void){
181
182      char buffer [100];
183      int len = 0;
184      int i = 0;
185      int j = 0;
186
187      for(i = 0 ; i<=14; i++)
188      {
189          for(j = 0 ; j<=14; j++)
190          {
191              if(j<14)
192              {
```

```
194         len = sprintf(buffer, "%3.2f", angle15[i][j]);
        UARTSend((uint8_t*)buffer, len);
        SysCtlDelay(10);
196     }
    else
198     {
        // Mit "\n" wird der Abschluss einer Line signalisiert
        // Dies wird für die Serial.readline() Funktion benötigt
200     len = sprintf(buffer, "%3.2f", angle15[i][j]);
202     UARTSend((uint8_t*)buffer, len);
        SysCtlDelay(10);
204     }
    }
206 }
}
```

Quellcode A.10: Optimierung des Interrupt-Handlers

```

2  /*
   *      Name: Interrupt_Handler.c
   *      Created on: 04.04.2018
4   *      Author: abegic
   *      Bearbeitet: Simon Rindelaub - Entfernen der while-Schleife und
6   *                                     Umbau auf einzelnen Char-Empfang.
   */
8
10 #include "include.h"
11 #include "init_prototyp.h"
12
13 /**
14  * @brief UARTIntHandler
15  * Verarbeitet die eingehenden Befehle und setzt ein
16  * Flag, sobald der empfangene String fertig eingelesen
17  * wurde. Damit kann in der Main die Verarbeitung
18  * beginnen.
19  */
20 void UARTIntHandler(void)
21 {
22     uint32_t ui32Status;
23     int32_t rcv_char;
24     char empfang;
25
26     // Get the interrupt status.
27     ui32Status = UARTIntStatus(UART0_BASE, true);
28     // Clear the asserted interrupts.
29     UARTIntClear(UART0_BASE, ui32Status);
30
31     #if 0
32         ROM_UARTCharPutNonBlocking(UART0_BASE,
33         ROM_UARTCharGetNonBlocking(UART0_BASE));
34     #else
35         rcv_char = UARTCharGetNonBlocking(UART0_BASE);
36         empfang = (unsigned char) rcv_char;
37     #endif
38
39     if (empfang == 'r'){           // Abbruchbedingung ein "r" am Ende des Stings
40         rcv_char2[4] = 0;         // Terminieren mit \0
41         filterValues[index-4] = 0; // Terminieren mit \0
42         buffer_full = 1;         // Flag für die main zum Start der Verarbeitung
43         index = 0;
44     }else if(index < 4){         // Speichern des Befehls
45         rcv_char2[index] = empfang;
46         index++;
47         // Speichern der Filterkoeffizienten
48     }else if(index > 3 && (index-4) < (sizeof(filterValues)-1)){
49         filterValues[index-4] = empfang;
50         index++;
51     }
52 }
53
54
55 /**
56  * @brief Init_UART
57  * Initiiert die UART-Verbindung und Einstellungen
58  */
59 void Init_UART(uint32_t takt)
60 {
61
62     // Enable the GPIO Peripheral used by the UART.

```

```
64     SysCtlPeripheralEnable(SYSCTL_PERIPH_UART0);
        SysCtlPeripheralEnable(SYSCTL_PERIPH_GPIOA);

66     // Configure GPIO Pins for UART mode.
        GPIOPinConfigure(GPIO_PA0_U0RX);
68     GPIOPinConfigure(GPIO_PA1_U0TX);
        GPIOPinTypeUART(GPIO_PORTA_BASE, GPIO_PIN_0 | GPIO_PIN_1);

70     // Initialize the UART for console I/O.
72     UARTConfigSetExpClk(UART0_BASE, takt, 115200,
                          (UART_CONFIG_WLEN_8 | UART_CONFIG_STOP_ONE |
                           UART_CONFIG_PAR_NONE));
74     // Enable the UART interrupt.
76     IntEnable(INT_UART0);
        UARTIntEnable(UART0_BASE, UART_INT_RX | UART_INT_RT);
78     UARTIntRegister(UART0_BASE, UARTIntHandler);
    }
```

Quellcode A.11: Include der Bibliotheken und globaler Variablen.

```
/*
2  * include.h
3  *
4  * Created on: 03.04.2018
5  * Author: abegic
6  * Bearbeitet: Simon Rindelaub
7  */
8
9 #ifndef INCLUDE_H_
10 #define INCLUDE_H_
11
12 #include <stdint.h>
13 #include <stdbool.h>
14 #include <stdio.h>
15 #include "stdlib.h"
16 #include "inc/hw_ints.h"
17 #include "inc/hw_memmap.h"
18 #include "inc/hw_uart.h"
19 #include "inc/hw_timer.h"
20 #include "inc/hw_gpio.h"
21 #include "inc/hw_pwm.h"
22 #include "inc/hw_types.h"
23 #include "driverlib/adc.h"
24 #include "driverlib/timer.h"
25 #include "driverlib/gpio.h"
26 #include "driverlib/timer.h"
27 #include "driverlib/interrupt.h"
28 #include "driverlib/pin_map.h"
29 #include "driverlib/rom.h"
30 #include "driverlib/rom_map.h"
31 #include "driverlib/sysctl.h"
32 #include "driverlib/uart.h"
33 #include "driverlib/udma.h"
34 #include "driverlib/pwm.h"
35 #include "driverlib/ssi.h"
36 #include "driverlib/systick.h"
37 #include "driverlib/adc.h"
38 #include <string.h>
39 #include "driverlib/fpu.h"
40 #include "inc/hw_memmap.h"
41 #include "driverlib/debug.h"
42 #include "driverlib/adc.h"
43 #include "inc/hw_gpio.h"
44 #include "inc/hw_ints.h"
45 #include "inc/hw_memmap.h"
46 #include "inc/hw_sysctl.h"
47 #include "math.h"
48 #include "string.h"
49 #include "stdio.h"
50
51 #define PI 3.14159265
52 #define VDD 3.3
53 #define NBITS 1
54 #define RAD_TO_ANGLE 57.29577950560105 // => 180.0 / PI
55
56 #define SIN_1 ADC_CTL_CH9
57 #define SIN_2 ADC_CTL_CH10
58 #define SIN_3 ADC_CTL_CH11
59 #define SIN_4 ADC_CTL_CH13
60 #define SIN_5 ADC_CTL_CH16
61 #define SIN_6 ADC_CTL_CH17
62 #define SIN_7 ADC_CTL_CH18
```

```

#define SIN_8 ADC_CTL_CH19
64
#define COS_1 ADC_CTL_CH0
66 #define COS_2 ADC_CTL_CH1
#define COS_3 ADC_CTL_CH2
68 #define COS_4 ADC_CTL_CH3
#define COS_5 ADC_CTL_CH4
70 #define COS_6 ADC_CTL_CH6
#define COS_7 ADC_CTL_CH7
72 #define COS_8 ADC_CTL_CH8

74 #define HIGH 0xFF
#define LOW 0x00
76
// Arrays für die ADC-Werte
78 unsigned int ADC_Values_SS0[8];
unsigned int ADC_Values_SS1[4];
80 unsigned int ADC_Values_SS2[4];

82 struct complex{ // komplexe Zahl
    double real;
84     double imag;
};
86
struct complex inputData[8][8]; // Matrix mit 8x8 komplexen Zahlen
88
double meanAngle8; // Mittelwert der 8x8
    Sensorenwinkel
90 double meanAngle15; // Mittelwert der 15x15
    Sensorenwinkel
double angle8[8][8]; // Winkel der 8x8 Matrix Sensoren
92 double angle15[15][15]; // Winkel der 15x15 Matrix Sensoren

94 double transponiert2[3][64]; // 3x64 Matrix
double transponiert1[64][3]; // 64x3 Matrix
96 double transponiert215[3][225]; // 3x225 Matrix
double transponiert115[225][3]; // 225x3 Matrix
98 double Adj[3][3];
double B[3][3], B15[3][3], Inv_B[3][3], Inv_B15[3][3], C[3][64], C15[3][225], b
    [64][1], b15[225][1], resultOffset[3][1], resultOffset15[3][1]; // Matrizen zur
    Offsetberechnung
100
struct complex W[8][8]; // Twiddle Matrix 8x8
102 struct complex InvW[8][8]; // Inverse Twiddle Matrix 8x8
struct complex W15[15][15]; // Twiddle Matrix 15x15
104 struct complex InvW15[15][15]; // Inverse Twiddle Matrix 15x15

106 struct complex fftOutput8[8][8]; // Output Daten der FFT 8x8
struct complex ifftOutput8[8][8]; // Output Daten der IFFT 8x8
108 struct complex fftOutput15[15][15]; // Output Daten der FFT 15x15
struct complex ifftOutput15[15][15]; // Output Daten der IFFT 15x15
110
struct complex filterOutput8[8][8]; // Output der Filterung im 8x8
    Bildbereich
112 struct complex filterOutput15[15][15]; // Output der Filterung im 15x15
    Bildbereich

114 struct complex interpoliert15[15][15]; // Interpolierte Matrix -> 15x15

116 double CustomFilter_8[8][8]; // Filter-Matrizen
double CustomFilter_15[15][15];
118
volatile uint8_t buffer_full; // Gibt an, ob der Inputbuffer
    fertig gefüllt ist
120 int index; // globaler Index für Kommunikation

```

```
        zwischen Interrupt und Main
char rcv_char2[5];
122 char filterValues[550];

124 int kurzOffset;           // Gibt an, ob mit schnellem Offset
    gerechnet wird
    int langOffset;        // Gibt an, ob mit langem Offset
    gerechnet wird
126 struct complex offsetMatrix[8][8]; // Offsetmatrix aus
    Langzeitkalibrierung
128 struct complex offsetMatrix15[15][15]; // Offsetmatrix aus
    Langzeitkalibrierung

130 #endif /* INCLUDE_H_ */
```

Quellcode A.12: Include der Funktions-Prototypen.

```

2  /**
   *      Name: init_prototyp.h
   *      Created on: 04.04.2018
4   *      Author: abegic
   *      Bearbeitet: Simon Rindelaub - Ordnen der Prototypen zu den C-Datein
6   *      und hinzufügen neuer Prototypen.
   */
8
10 #ifndef INIT_PROTOTYP_H_
11 #define INIT_PROTOTYP_H_
12
13 //-----Controller-Steuerungs-Methoden-----//
14 void UARTSend(const uint8_t *pui8Buffer, uint32_t ui32Count);
15 void enable_init_gpios(void);
16 void gpio_set_input(void);
17 void enable_set_low(void);
18 void Init_UART(uint32_t takt);
19 void Init_ADCs(void);
20 void enable_set_high(int column);
21 void Get_Values(void);
22 void vals_to_terminal(void);
23 void UARTIntHandler(void);
24
25 //-----vals_to_terminal.c-----//
26 // Sendet Winkel-Matrix zum Terminal
27 void print_angles8(void);
28 // Sendet Winkel-Matrix 15x15 zum Terminal
29 void print_angles15(void);
30 // Sendet den Kalibrierungswinkel zum Terminal
31 void calibration_to_terminal(double angle);
32 // Sendet übergebenes 8x8 zum Terminal
33 void vals_to_terminal8(struct complex input[8][8]);
34 // Sendet übergebenes 15x15 zum Terminal
35 void vals_to_terminal15(struct complex input[15][15]);
36
37 //-----calculate_angle.c-----//
38 // CORDIC Algorithmus
39 double cordic(double real, double imag);
40 // Winkelrechnung für 8x8 Matrix
41 void calcAngle8(struct complex input[8][8]);
42 // Winkelrechnung für 15x15 Matrix
43 void calcAngle15(struct complex input[15][15]);
44
45 //-----offset_calc.c-----//
46 // Zieht den Berechneten Offset von 8x8 Messwertmatrix ab
47 void sub_offset8(struct complex input[8][8]);
48 // Zieht den Berechneten Offset von 15x15 Messwertmatrix ab
49 void sub_offset15(struct complex input[15][15]);
50 // Adjungiert die übergebene Matrix
51 void adjungieren(double input[3][3]);
52 // Bildet die Determinate der übergebenen matrix
53 double det3x3(double input[3][3]);
54 // Berechnet den Offsetvektor einer Matrix 8x8
55 void calculate_offset_8(struct complex input[8][8]);
56 // Berechnet den Offsetvektor einer Matrix 15x15
57 void calculate_offset_15(struct complex input[15][15]);
58
59 //-----fourier_transform.c-----//
60 // Berechnung der Twiddle Matrix für 8x8
61 void twiddle(void);
62 // Berechnung der inversen Twiddle Matrix für 8x8
63 void InvTwiddle(void);

```

```
64 // Berechnung der Twiddle Matrix für 15x15
64 void twiddle15(void);
65 // Berechnung der inversen Twiddle Matrix für 15x15
66 void InvTwiddle15(void);
67 // Berechnung der 2D-FFT für 8x8
68 void fft(void);
69 // Berechnung der 2D-IFFT für 8x8
70 void ifft(void);
71 // Berechnung der 2D-FFT für 15x15
72 void fft15(void);
73 // Berechnung der 2D-IFFT für 15x15
74 void ifft15(void);

76 //-----interpolation.c-----//
77 // Interpoliert eine Matrix von 8x8 auf 15x15
78 void interpolieren(struct complex input[8][8]);

80 //-----digital_filter.c-----//
81 // Verarbeitet die Filterung und wählt passenden 8x8 Filter
82 void filter8(char filtertyp, char anpassen, struct complex input[8][8]);
83 // Multipliziert skalar zwei 8x8 Matrizen zur Filterung
84 void multiply8(struct complex input[8][8], double filter[8][8]);
85 // Verarbeitet die Filterung und wählt passenden 15x15 Filter
86 void filter15(char filtertyp, char anpassen, struct complex input[15][15]);
87 // Multipliziert skalar zwei 15x15 Matrizen zur Filterung
88 void multiply15(struct complex input[15][15], double filter[15][15]);

90 #endif /* INIT_PROTOTYP_H_ */
```

B Quellcode auf dem Raspberry Pi

Quellcode B.1: Backend zum Kalibrierungsfenster und den zugehörigen Threads.

```
...
2     Diese Klasse ist das erste Fenster, dass der
3     Benutzer zu sehen bekommt. Es sorgt für die
4     Einstellung des Offsetausgleichs. Es kann eine
5     kurze und eine lange kalibrierung durchgeführt
6     werden.
...
8     class CalibrationWindow(QDialog):
9
10    # Initialisierung
11    def __init__(self):
12        QDialog.__init__(self)
13        self.ui = uic.loadUi("kalibrierung.ui", self)
14        self.setWindowTitle("Kalibrierung")
15        self.setFixedSize(230, 160)
16        self.move(500, 500)
17        self.progressCali.setMaximum(360)
18        self.progressCali.setValue(0)
19        self.count = 0
20
21        self.kurzkali = False
22
23        self.offsetReal = []
24        self.offsetImag = []
25
26    # Initialisierung von den Threads
27    self.thread1 = progressBarThread(1)
28    self.thread2 = longCaliThread(2)
29
30    # Verbindung der Threadsignale
31    self.thread1.update.connect(self.updateProgressBar)
32    self.thread1.Connected.connect(self.showDialog1)
33    self.thread1.finished.connect(self.fin1)
34
35    self.thread2.update.connect(self.updateProgressBar2)
36    self.thread2.Connected.connect(self.showDialog2)
37    self.thread2.updateSec.connect(self.updateMessung)
38    self.thread2.messung.connect(self.messung)
39    self.thread2.finished.connect(self.fin2)
40
41    # Anpassung der Button Namen
42    self.startLastCali.setText("Langzeitkalibrierung")
43    self.startNewCali.setText("schnelle Kalibrierung")
44    self.withoutCali.setText("Langzeitkalibrierung verwenden")
45
46    # Signale einrichten zu den Buttons
47    self.ui.startNewCali.clicked.connect(self.startfastCalibration)
48    self.ui.withoutCali.clicked.connect(self.noCalibration)
49    self.ui.startLastCali.clicked.connect(self.startLongCali)
50
51    # Diese Funktion wird beim klicken "Zum Hauptfenster" aufgerufen
52    def noCalibration(self):
```

```
54     if self.thread1.isRunning() == True:
55         print("Es wird noch kalibriert!")
56     elif self.thread2.isRunning() == True:
57         print("Es wird noch kalibriert!")
58     else:
59         if (self.kurzkali == False):
60             # Real und Imag Datei öffnen und einlesen
61             fCos = open("OffsetCosinus.txt", "r")
62             Cosdata = fCos.readlines()
63             fCos.close()
64
65             for item in Cosdata:
66                 self.offsetReal.append(float(item.rstrip()))
67
68             CosinusWerte = "6000" + ';' .join(map(str, self.offsetReal)) + "r"
69
70             fSin = open("OffsetSinus.txt", "r")
71             Sindata = fSin.readlines()
72             fSin.close()
73
74             for item in Sindata:
75                 self.offsetImag.append(float(item.rstrip()))
76
77             SinusWerte = "6000" + ';' .join(map(str, self.offsetImag)) + "r"
78
79             print(SinusWerte, CosinusWerte)
80
81             # serielle Verbindung einrichten
82             try:
83                 self.ser = serial.Serial('/dev/ttyACM0', baudrate = 115200,
84                                         timeout = 0.3)
85             except Exception as e:
86                 print(e)
87
88             try:
89                 self.ser = serial.Serial('/dev/ttyACM1', baudrate = 115200,
90                                         timeout = 0.3)
91             except Exception as e:
92                 print("Kalibrierungsfenster:", e)
93
94             os.system('stty -icanon min 1 eof ^A-F /dev/ttyACM0')
95
96             # Offsetwerte an den MC senden
97
98             self.ser.flushOutput()
99             self.ser.flushInput()
100            time.sleep(0.2)
101            self.ser.write(CosinusWerte.encode("ascii"))
102            time.sleep(0.2)
103
104            self.ser.flushOutput()
105            self.ser.flushInput()
106            time.sleep(0.2)
107            self.ser.write(SinusWerte.encode("ascii"))
108            time.sleep(0.2)
109
110            # weiter zum Hauptfensters
111            self.ser.close()
112            self.close()
113            mainWindow = MainWindow()
114            mainWindow.show()
115        else:
116            self.close()
117            mainWindow = MainWindow()
118            mainWindow.show()
```

```
116
    # Start der Langzeitkalibrierung
118    def startLongCali(self):
        if (self.thread2.isRunning() == False):
120            self.withoutCali.setText("Bitte_warten ... ")
            self.progressCali.setValue(0)
122            self.kurzkali = False
            self.thread2.start()
124        else:
            print("Kalibrierung_wird_bereits_durchgefuehrt!")
126
    # Thread 1 ist fertig
128    def fin1(self):
        self.thread1.quit()
130
    # Thread 2 ist fertig
132    def fin2(self):
        self.thread2.quit()
134        self.msg2.setText("Messung_abgeschlossen!")
136
    # Schnelle Kalibrierung durchführen
138    def startfastCalibration(self):
        if (self.thread1.isRunning() == False):
140            self.withoutCali.setText("Bitte_warten ... ")
            self.progressCali.setValue(0)
142            self.kurzkali = True
            self.thread1.start()
144        else:
            print("Kalibrierung_wird_bereits_durchgefuehrt!")
146
    # Werte auf der ProgressBar aktualisieren(Thread 1)
148    def updateProgressBar(self, updateNum):
        if (int(updateNum) < 359):
150            self.progressCali.setValue(self.progressCali.value() + 1)
152        elif (int(updateNum) == 360):
            self.progressCali.setValue(self.progressCali.value() + 1)
154            print("kalibrierung_abgeschlossen!")
            self.withoutCali.setText("Weiter_zum_Hauptmenue")
156
    # Werte auf der ProgressBar aktualisieren(Thread 2)
158    def updateProgressBar2(self):
        self.count = self.count + 1
160        self.progressCali.setValue(self.progressCali.value() + 15)
        if (self.count == 24):
162            self.progressCali.setValue(self.progressCali.value() + 4)
            print("kalibrierung_abgeschlossen!")
164            self.withoutCali.setText("Weiter_zum_Hauptmenue")
166
    # Dialogfenster Thread 1
168    def showDialog1(self, info):
        self.serialInfo = info
        self.msg = QMessageBox()
170        self.msg.setIcon(QMessageBox.Warning)
        self.msg.setWindowTitle("Serial - Connection_Info")
172        self.msg.setText(self.serialInfo)
174
        self.msg.setStandardButtons(QMessageBox.Ok)
        self.msg.buttonClicked.connect(self.msg.close)
176        self.msg.exec_()
178
    # Dialogfenster Thread 2
180    def showDialog2(self, info):
        self.serialInfo = info
```



```
244         if (self.connected == True):
245             self.ser.flushOutput()
246             self.ser.flushInput()
247             self.sleep(0.1)
248             # initialisierung auf dem Tiva Board
249             self.ser.write("0000r".encode("ascii"))
250             self.sleep(0.1)
251             self.ser.flushOutput()
252             self.ser.flushInput()
253             self.sleep(0.1)
254             # initialisierung auf dem Tiva Board
255             self.ser.write("0000r".encode("ascii"))
256             self.sleep(0.1)
257
258             self.ser.flushOutput()
259             self.ser.flushInput()
260             self.sleep(0.1)
261             # Offset auf dem Tiva Board berechnen
262             self.ser.write("1000r".encode("ascii"))
263             self.sleep(0.1)
264             self.ser.flushOutput()
265             self.ser.flushInput()
266             self.sleep(0.1)
267             # Offset auf dem Tiva Board berechnen
268             self.ser.write("1000r".encode("ascii"))
269             self.sleep(0.1)
270
271             # Simulation des Ladebalkens
272             for i in range(361):
273                 self.update.emit(i)
274                 self.sleep(0.5)
275
276         # schließt zum Abschluss die serielle Verbindung
277         self.ser.close()
278
279     '''
280     Diese Klasse ist für die Durchführung einer Lang-
281     zeitkalibrierung zuständig. Es wird alle drei
282     Sekunden eine Messung bei 15 Grad durchgeführt.
283     '''
284     class longCaliThread(QThread):
285
286         # Signale zum Kalibrierungsfenster
287         update = pyqtSignal()
288         Connected = pyqtSignal(str)
289         updateSec = pyqtSignal(int)
290         messung = pyqtSignal()
291
292         # Initialisierung der Klasse
293         def __init__(self, threadID):
294             QThread.__init__(self)
295             self.threadID = threadID
296             self.connected = False
297             self.OffsetBufferReal = np.zeros(shape=(8,8))
298             self.OffsetBufferImag = np.zeros(shape=(8,8))
299             self.finish = ""
300             self.updateInt = 0
301             self.cosBuffer = []
302             self.sinBuffer = []
303
304         # Wartefunktion des Threads
305         def __del__(self):
306             self.wait()
307
308
```

```
310     # Run-Methode wird nach start() des Threads ausgeführt
311     def run(self):
312         # Verbindung mit dem MC herstellen
313         try:
314             self.ser = serial.Serial('/dev/ttyACM0', baudrate = 115200, timeout =
315                                     1)
316         except Exception as e:
317             print(e)
318
319         try:
320             self.ser = serial.Serial('/dev/ttyACM1', baudrate = 115200, timeout =
321                                     1)
322         except Exception as e:
323             print(e)
324
325         try:
326             self.serialInfo = "Verbindung hergestellt mit: " + str(self.ser.name)
327             self.connected = True
328         except Exception as e:
329             self.serialInfo = "Es konnte keine Verbindung hergestellt werden."
330             self.connected = False
331
332         os.system('stty -icanon min 1 eof ^A-F /dev/ttyACM0')
333
334         # Signal an das Kalib.-Fenster, dass die Verbindung zum MC steht
335         self.Connected.emit(self.serialInfo)
336         print("Langzeitkalibrierung gestartet\n")
337
338         DATNEU_FLOAT = []
339
340         if (self.connected == True):
341
342             # Initialisierung auf dem Tiva Board
343
344             self.ser.write("0000r".encode("ascii"))
345             self.ser.flushInput()
346             time.sleep(0.02)
347
348             for cycle in range(1,25,1):
349
350                 for i in range(3):
351                     self.updateSec.emit(3-i)
352                     time.sleep(1)
353
354                 # Senden des Befehls zur Wertbeschaffung
355
356                 self.ser.write("5000r".encode("ascii"))
357                 time.sleep(0.02)
358                 DAT = self.ser.read(4000)
359                 DATNEU_FLOAT.clear()
360                 DATNEU = DAT.decode("ascii").replace("\x00", ";")
361                 for value in DATNEU.split(';'):
362                     if (value is not ''):
363                         DATNEU_FLOAT.append(float(value))
364
365                 # Falls Buffer zu klein, Senden wiederholen
366                 if (len(DATNEU_FLOAT) != 128):
367                     self.ser.flushInput()
368                     time.sleep(0.02)
369                     self.ser.write("5000r".encode("ascii"))
370                     time.sleep(0.02)
371                     DAT = self.ser.read(4000)
372                     DATNEU_FLOAT.clear()
373                     DATNEU = DAT.decode("ascii").replace("\x00", ";")
```

```

372         for value in DATNEU.split(';'):
373             if (value is not ''):
374                 DATNEU_FLOAT.append(float(value))
375
376         # Zuordnen der Werte aus dem Buffer zu Sinus und Cosinus
377         for i in range(0, 64, 1):
378             self.cosBuffer.append(DATNEU_FLOAT[i])
379         for i in range(64, 128, 1):
380             self.sinBuffer.append(DATNEU_FLOAT[i])
381
382         DATNEU_FLOAT.clear()
383
384         # Speichern des Buffers in den Matrizen
385         k = 0
386         for i in range(8):
387             for j in range(8):
388                 self.OffsetBufferReal[i][j] = self.OffsetBufferReal[i][j] +
389                     self.cosBuffer[k]
390                 self.OffsetBufferImag[i][j] = self.OffsetBufferImag[i][j] +
391                     self.sinBuffer[k]
392                 k = k + 1
393
394         # Signal an das Fenster zur ProgressBaraktualisierung
395         self.update.emit()
396
397         # Mittelwert über die Messung bilden
398         for i in range(8):
399             for j in range(8):
400                 self.OffsetBufferReal[i][j] = self.OffsetBufferReal[i][j] / 24
401                 self.OffsetBufferImag[i][j] = self.OffsetBufferImag[i][j] / 24
402
403         # Senden der Messwerte Cosinuswerte
404         self.ser.flushOutput()
405         self.ser.flushInput()
406         self.sleep(0.1)
407         self.finish = "6000" + str(self.OffsetBufferReal) + "r"
408         self.ser.write(self.finish.encode("ascii"))
409         self.sleep(0.1)
410
411         # Senden der Messwerte Sinuswerte
412         self.ser.flushOutput()
413         self.ser.flushInput()
414         self.sleep(0.1)
415         self.finish = "6000" + str(self.OffsetBufferImag) + "r"
416         self.ser.write(self.finish.encode("ascii"))
417         self.sleep(0.1)
418         #print("Cosinus:", self.OffsetBufferReal)
419
420         # Speichern der Messwerte im .txt File
421         f = open("OffsetCosinus.txt", "w+")
422         k = 0
423         for i in range(8):
424             for j in range(8):
425                 f.write("%f\r" % self.OffsetBufferReal[i][j])
426         f.close()
427
428         f = open("OffsetSinus.txt", "w+")
429         for i in range(8):
430             for j in range(8):
431                 f.write("%f\r" % self.OffsetBufferImag[i][j])
432         f.close()
433
434         self.ser.close()

```

Quellcode B.2: Backend zum Hauptfensterfenster mit dem Send-Recieve-Thread.

```

'''
2     Klasse des Hauptfensters. Diese wird aufgerufen nach der Kalibrierung.
    Aus der Klasse werden alle weiteren Einstellungen gesteuert. Mit der
4     Initialisierung der Klasse wird auch der Daten-Thread gestartet, der
    zur Kommunikation mit dem Mikrocontroller dient.
6 '''
class MainWindow(QMainWindow):
8
    startWindow1 = pyqtSignal()
10
    '''
12     Initialisierung des Hauptfensters. Dazu gehören auch die Ini-
    tialisierungen der einzelnen Dialog-Fenster (diagramme, filtersetting)
14     '''
    def __init__(self):
16
        QMainWindow.__init__(self)
18        self.ui = uic.loadUi("MainWindow.ui", self)
        self.move(500, 500)
20        self.setFixedSize(280, 210)
        self.filterType = 0
22        self.customType = False
        self.diagramm = 0
24        self.interpol = False
        self.filterValues = []
26
        # Initialisierung der Diagrammfenster
28        self.diagram1 = Window1()
        self.diagram2 = Window2()
30        self.diagram3 = Window3()
        self.diagram4 = Window4()
32
        # Slots zu den Buttons einrichten
34        self.ui.setCoeff.clicked.connect(self.openCoeff)
        self.ui.setSettings.clicked.connect(self.changeSettings)
36        self.ui.callHelp.clicked.connect(self.callHelpPDF)
38
        # Filtersetting 8x8 initialisieren und Signal verbinden
        self.coeff8Window = CoeffWindow8()
40        self.coeff8Window.sendData8.connect(self.saveFilterData)
42
        # Filtersetting 15x15 initialisieren und Signal verbinden
        self.coeff15Window = coeffWindow15()
44        self.coeff15Window.sendData15.connect(self.saveFilterData)
46
        # Data-Send-Recieve-Thread initialisieren und starten
        self.dataThread = SendRecieveThread()
48        #self.dataThread.notConnected.connect(self.showDialog)
        self.dataThread.start()
50
    '''
52     Wenn die Einstellungen vorgenommen worden sind und der Button
    "Diagramm erstellen" betätigt wird, wird diese Funktoin zur
54     Speicherung der Werte und zum öffnen und verwalten der Diagramm-
    fenster aufgerufen.
56     '''
    def changeSettings(self):
58
        # Globale Variablen, die in dieser Funktion benötigt werden
60        global w1_diagramm
        global w2_diagramm
62        global w3_diagramm

```

```

64         global w4_diagramm
65
66         global w1_interpolation
67         global w2_interpolation
68         global w3_interpolation
69         global w4_interpolation
70
71         global w1_filtertype
72         global w2_filtertype
73         global w3_filtertype
74         global w4_filtertype
75
76         global w1_befehl
77         global w2_befehl
78         global w3_befehl
79         global w4_befehl
80
81         global w1_anpassen
82         global w2_anpassen
83         global w3_anpassen
84         global w4_anpassen
85
86         global w1_filter
87         global w2_filter
88         global w3_filter
89         global w4_filter
90
91         global w1_diaName
92         global w2_diaName
93         global w3_diaName
94         global w4_diaName
95
96         #####
97         # Fenster 1 einrichten #
98         #####
99         if (self.diagram1.isVisible() == False):
100
101             # Welches Diagramm wurde gewählt?
102             if self.ui.chooseDiag.currentText() == "Histogramm":
103                 w1_diagramm = 2 # Befehl für Interrupt_Handler
104             else:
105                 w1_diagramm = 3 #Sonst werden immer Sinus und Cosinus Werte ben
106                 #ötigt
107             # Speichern des Filtertyps
108             w1_filtertype = self.filterType
109             # Speichern, ob die Koeffizienten angepasst wurde oder nicht
110             if (self.customType == True):
111                 w1_anpassen = 1
112             else:
113                 w1_anpassen = 0
114             # Speichern der Filterwerte
115             w1_filter = self.filterValues
116             w1_diaName = self.ui.chooseDiag.currentText()
117             # Speichern, ob interpoliert werden soll oder nicht
118             if (self.setInterpol.isChecked()):
119                 w1_interpolation = 1
120             else:
121                 w1_interpolation = 0
122             # Informationen als String in "w1_befehl" schreiben
123             w1_befehl = str(w1_diagramm) + str(w1_interpolation) + str(
124                 w1_filtertype) + str(w1_anpassen) + ';'.join(map(str, w1_filter)) +
125                 "r"
126             #print(w1_befehl)
127             self.diagram1.show()

```

```
126
128 #####
# Fenster 2 einrichten #
#####
130 elif (self.diagram2.isVisible() == False):
132     # Welches Diagramm wurde gewählt?
    if self.ui.chooseDiag.currentText() == "Histogramm":
134         w2_diagramm = 2     # Befehl für Interrupt_Handler
    else:
136         w2_diagramm = 3     #Sonst werden immer Sinus und Cosinus Werte ben
                                ötigt
    # Speichern des Filtertyps
138     w2_filtertype = self.filterType
    # Speichern, ob die Koeffizienten angepasst wurde oder nicht
140     if (self.customType == True):
        w2_anpassen = 1
142     else:
        w2_anpassen = 0
144     # Speichern der Filterwerte
        w2_filter = self.filterValues
146     w2_diaName = self.ui.chooseDiag.currentText()
    # Speichern, ob interpoliert werden soll oder nicht
148     if (self.setInterpol.isChecked()):
        w2_interpolation = 1
150     else:
        w2_interpolation = 0
152     # Informationen als String in "w2_befehl" schreiben
        w2_befehl = str(w2_diagramm) + str(w2_interpolation) + str(
            w2_filtertype) + str(w2_anpassen) + ';'.join(map(str, w2_filter)) +
            "r"
154
    self.diagram2.show()
156
158 #####
# Fenster 3 einrichten #
#####
160 elif (self.diagram3.isVisible() == False):
162     # Welches Diagramm wurde gewählt?
    if self.ui.chooseDiag.currentText() == "Histogramm":
164         w3_diagramm = 2     # Befehl für Interrupt_Handler
    else:
166         w3_diagramm = 3     #Sonst werden immer Sinus und Cosinus Werte ben
                                ötigt
    # Speichern des Filtertyps
168     w3_filtertype = self.filterType
    # Speichern, ob die Koeffizienten angepasst wurde oder nicht
170     if (self.customType == True):
        w3_anpassen = 1
172     else:
        w3_anpassen = 0
174     # Speichern der Filterwerte
        w3_filter = self.filterValues
176     w3_diaName = self.ui.chooseDiag.currentText()
    # Speichern, ob interpoliert werden soll oder nicht
178     if (self.setInterpol.isChecked()):
        w3_interpolation = 1
180     else:
        w3_interpolation = 0
182     # Informationen als String in "w3_befehl" schreiben
        w3_befehl = str(w3_diagramm) + str(w3_interpolation) + str(
            w3_filtertype) + str(w3_anpassen) + ';'.join(map(str, w3_filter)) +
```

```

        "r"
186         self.diagram3.show()
188
189         #####
190         # Fenster 4 einrichten #
191         #####
192         elif (self.diagram4.isVisible() == False):
193
194             # Welches Diagramm wurde gewählt?
195             if self.ui.chooseDiag.currentText() == "Histogramm":
196                 w4_diagramm = 2 # Befehl für Interrupt_Handler
197             else:
198                 w4_diagramm = 3 #Sonst werden immer Sinus und Cosinus Werte ben
199                 #ötigt
200             # Speichern des Filtertyps
201             w4_filtertype = self.filterType
202             # Speichern, ob die Koeffizienten angepasst wurde oder nicht
203             if (self.customType == True):
204                 w4_anpassen = 1
205             else:
206                 w4_anpassen = 0
207             # Speichern der Filterwerte
208             w4_filter = self.filterValues
209             w4_diaName = self.ui.chooseDiag.currentText()
210             # Speichern, ob interpoliert werden soll oder nicht
211             if (self.setInterpol.isChecked()):
212                 w4_interpolation = 1
213             else:
214                 w4_interpolation = 0
215             # Informationen als String in "w4_befehl" schreiben
216             w4_befehl = str(w4_diagramm) + str(w4_interpolation) + str(
217                 w4_filtertype) + str(w4_anpassen) + ';'.join(map(str, w4_filter)) +
218                 "r"
219
220             self.diagram4.show()
221
222             #####
223             # alle Fenster offen #
224             #####
225             else:
226                 self.showDialog()
227
228         ...
229         Dialogfenster, welches angezeigt wird,
230         wenn bereits 4/4 Fenster Geöffnet sind.
231         ...
232         def showDialog(self):
233             self.msg = QMessageBox()
234             self.msg.setIcon(QMessageBox.Warning)
235             self.msg.setWindowTitle("Window_Counter_Warning")
236             self.msg.setText("Es_sind_bereits_4_Fenster_geöffnet.")
237
238             self.msg.setStandardButtons(QMessageBox.Ok)
239             self.msg.buttonClicked.connect(self.msg.close)
240             self.msg.show()
241
242         ...
243         Funktion, die durch das Signal von den Koeffizienten-
244         fenster aufgerufen wird. Die empfangenen Daten werden in lokale
245         Variablen gespeichert.
246         ...
247         def saveFilterData(self, filterType, customType, filterValues):
248             self.filterType = filterType

```

```
246         self.customType = customType
247         self.filterValues = filterValues
248     '''
249     Funktion, die aufgerufen wird, wenn ein Filtereinstellungs-
250     fenster geöffnet werden soll. Es wird Anhand Interpolation
251     (True, False) entschieden.
252     '''
253     def openCoeff(self):
254         if self.setInterpol.isChecked():
255             # Interpolation ist gecheckt
256             self.coeff15Window.exec_()
257         else:
258             # es soll nicht interpoliert werden
259             self.coeff8Window.exec_()
260     '''
261     Öffnet eine PDF. Diese soll Anleitungen zur Programmnutzung
262     enthalten.
263     '''
264     def callHelpPDF(self):
265         self.cmd = 'qpdfview┘anleitung.pdf'
266         help = os.system(self.cmd)
267     '''
268     Die Klasse SendRecieveThread() ist ein Thread-Objekt,
269     welches koninuiertlich die Fensterbefehle an den MC
270     sendet und die Werte empfängt, verarbeitet und in
271     den Fenstervariablen speichert.
272     '''
273     class SendRecieveThread(QThread):
274         # Initialisierung
275         def __init__(self):
276             QThread.__init__(self)
277             # Lokale Buffer
278             self.connected = False
279             self.IOBuffer1 = []
280             self.IOBuffer2 = []
281             self.IOBuffer3 = []
282             self.IOBuffer4 = []
283             self.errorcount = 0
284             self.count = 0
285
286             self.sinBuffer = []
287             self.cosBuffer = []
288
289
290
291     # Wartefunktion
292     def __del__(self):
293         self.wait()
294
295     # Wird durch Thread.start() aufgerufen
296     def run(self):
297
298         # globale Variablen
299         global w1_befehl
300         global w2_befehl
301         global w3_befehl
302         global w4_befehl
303
304         global w1_sinus
305         global w1_cosinus
306         global w2_sinus
307         global w2_cosinus
308         global w3_sinus
309         global w3_cosinus
```

```
312     global w4_sinus
312     global w4_cosinus
314     global w1_angles
314     global w2_angles
316     global w3_angles
316     global w4_angles
318
318     global w1_filter
320     global w2_filter
320     global w3_filter
322     global w4_filter
324
324     global w1_diagramm
326     global w2_diagramm
326     global w3_diagramm
328     global w4_diagramm
328
330     global w1_interpolation
330     global w2_interpolation
332     global w3_interpolation
332     global w4_interpolation
334
334     global angle
336
336     global w1_kreisDataCount
338     global w2_kreisDataCount
338     global w3_kreisDataCount
340     global w4_kreisDataCount
340
342     #help = os.system('stty -icanon -F /dev/ttyACM0')
342
344     # Serielle Verbindung herstellen
344     try:
344         self.ser = serial.Serial('/dev/ttyACM0', baudrate = 115200, timeout =
346             0.4)
346     except Exception as e:
348         print(e)
348
350     try:
350         self.ser = serial.Serial('/dev/ttyACM1', baudrate = 115200, timeout =
352             0.4)
352     except Exception as e:
354         print("SendeEmpfangsThread:", e)
354
356     try:
356         self.serialInfo = "Verbindung hergestellt mit: " + str(self.ser.name)
358         self.connected = True
358     except Exception as e:
360         self.serialInfo = "Es konnte keine Verbindung hergestellt werden."
362         print(self.serialInfo)
362
364     # Konsolenausgabe
364     print("Starting Data-Thread")
364
366     os.system('stty -icanon min 1 eof ^A-F /dev/ttyACM0')
366
368     DATNEU_FLOAT = []
368     while(True):
370
370         #####
372         # Senden befehl 1 #
372         #####
```

```
374         # Damit keine Änderung nach dem Einlesen kommen kann
376
377         self.ser.flushInput()
378         time.sleep(0.02)
379         self.ser.write(w1_befehl.encode("ascii"))
380         time.sleep(1)
381         DAT = self.ser.read(4000)
382         #print(len(DAT))
383         DATNEU_FLOAT.clear()
384         DATNEU = DAT.decode("ascii").replace("\x00", ";")
385         for value in DATNEU.split(';'):
386             if (value is not ''):
387                 DATNEU_FLOAT.append(float(value))
388         staticInterpol = w1_interpolation
389         # Wiederholtes Senden, falls nichts/zu wenig eingelesen wurde
390         if (len(DATNEU_FLOAT) != (128 + (staticInterpol * 322))):
391             self.ser.flushInput()
392             time.sleep(0.02)
393             self.ser.write(w1_befehl.encode("ascii"))
394             time.sleep(1)
395             DAT = self.ser.read(4000)
396             DATNEU_FLOAT.clear()
397             DATNEU = DAT.decode("ascii").replace("\x00", ";")
398             for value in DATNEU.split(';'):
399                 if (value is not ''):
400                     DATNEU_FLOAT.append(float(value))
401
402         #rint(len(DATNEU_FLOAT))
403         # Speichern der Antwort für ein Histogramm
404         if (w1_diagramm == 2):
405             for index in range(0, 64 + (staticInterpol * 161), 1):
406                 if (DATNEU_FLOAT[index] > 360.0):
407                     self.IOBuffer1.append(int(DATNEU_FLOAT[index] - 360.0))
408                 else:
409                     self.IOBuffer1.append(int(DATNEU_FLOAT[index]))
410
411         # Speichern der Sinus- und Cosinuswerte
412         if (w1_diagramm == 3):
413             #if (w1_diaName == "Kreisplot"):
414             #    w1_interpolation = 0
415             #    staticInterpol = 0
416             for i in range(0, 64 + (staticInterpol * 161), 1):
417                 self.cosBuffer.append(DATNEU_FLOAT[i])
418             for i in range(64 + (staticInterpol * 161), 128 + (staticInterpol *
419 322), 1):
420                 self.sinBuffer.append(DATNEU_FLOAT[i])
421
422         # Werte übertragen und Buffer leeren
423         w1_angles = self.IOBuffer1[:]
424         self.IOBuffer1.clear()
425         w1_cosinus = self.cosBuffer[:]
426         self.cosBuffer.clear()
427         w1_sinus = self.sinBuffer[:]
428         self.sinBuffer.clear()
429
430         #####
431         # Senden befehl 2 #
432         #####
433
434         # Damit keine Änderung nach dem Einlesen kommen kann
435         staticInterpol = w2_interpolation
436
437         self.ser.write(w2_befehl.encode("ascii"))
438         time.sleep(0.04)
```

```

438         DAT = self.ser.read(4000)
         DATNEU_FLOAT.clear()
440         DATNEU = DAT.decode("ascii").replace("\x00", ";")
         for value in DATNEU.split(';'):
442             if(value is not ''):
                 DATNEU_FLOAT.append(float(value))
444
         # Wiederholtes Senden, falls nichts/zu wenig eingelesen wurde
446         if (len(DATNEU_FLOAT) != (128 + (staticInterpol * 322))):
             self.ser.flushInput()
448             time.sleep(0.02)
             self.ser.write(w2_befehl.encode("ascii"))
450             time.sleep(0.02)
             DAT = self.ser.read(4000)
452             DATNEU_FLOAT.clear()
             DATNEU = DAT.decode("ascii").replace("\x00", ";")
454             for value in DATNEU.split(';'):
                 if(value is not ''):
456                     DATNEU_FLOAT.append(float(value))
458
         # Speichern der Antwort für ein Histogramm
460         if (w2_diagramm == 2):
             for index in range(0, 64 + (staticInterpol * 161), 1):
462                 if (DATNEU_FLOAT[index] > 360.0):
                     self.IOBuffer2.append(int(DATNEU_FLOAT[index] - 360.0))
464                 else:
                     self.IOBuffer2.append(int(DATNEU_FLOAT[index]))
466
         # Speichern der Sinus- und Cosinuswerte
468         if(w2_diagramm == 3):
             #if (w2_diaName == "Kreisplot"):
             #    w2_interpolation = 0
             #    staticInterpol = 0
472             for i in range(0, 64 + (staticInterpol * 161), 1):
                 self.cosBuffer.append(DATNEU_FLOAT[i])
474             for i in range(64 + (staticInterpol * 161), 128 + (staticInterpol *
                 322), 1):
                 self.sinBuffer.append(DATNEU_FLOAT[i])
476
         # Werte übertragen und Buffer leeren
478         self.IOBuffer2.clear()
         w2_cosinus = self.cosBuffer[:]
480         self.cosBuffer.clear()
         w2_sinus = self.sinBuffer[:]
482         self.sinBuffer.clear()
484
         #####
         #    Senden befehl 3    #
         #####
488
         # Damit keine Änderung nach dem Einlesen kommen kann
         staticInterpol = w3_interpolation
490
         self.ser.write(w3_befehl.encode("ascii"))
492         time.sleep(0.04)
         DAT = self.ser.read(4000)
494         DATNEU_FLOAT.clear()
         DATNEU = DAT.decode("ascii").replace("\x00", ";")
496         for value in DATNEU.split(';'):
             if(value is not ''):
498                 DATNEU_FLOAT.append(float(value))
500
         # Wiederholtes Senden, falls nichts/zu wenig eingelesen wurde
         if (len(DATNEU_FLOAT) != (128 + (staticInterpol * 322))):

```

```
502         self.ser.flushInput()
503         time.sleep(0.02)
504         self.ser.write(w3_befehl.encode("ascii"))
505         time.sleep(0.02)
506         DAT = self.ser.read(4000)
507         DATNEU_FLOAT.clear()
508         DATNEU = DAT.decode("ascii").replace("\x00", ";")
509         for value in DATNEU.split(';'):
510             if (value is not ''):
511                 DATNEU_FLOAT.append(float(value))
512
513
514     # Speichern der Antwort für ein Histogramm
515     if (w3_diagramm == 2):
516         for index in range(0, 64 + (staticInterpol * 161), 1):
517             if (DATNEU_FLOAT[index] > 360.0):
518                 self.IOBuffer3.append(int(DATNEU_FLOAT[index] - 360.0))
519             else:
520                 self.IOBuffer3.append(int(DATNEU_FLOAT[index]))
521
522     # Speichern der Sinus- und Cosinuswerte
523     if (w3_diagramm == 3):
524         #if (w3_diaName == "Kreisplot"):
525         #    w3_interpolation = 0
526         #    staticInterpol = 0
527         for i in range(0, 64 + (staticInterpol * 161), 1):
528             self.cosBuffer.append(DATNEU_FLOAT[i])
529         for i in range(64 + (staticInterpol * 161), 128 + (staticInterpol *
530             322), 1):
531             self.sinBuffer.append(DATNEU_FLOAT[i])
532
533     # Werte übertragen und Buffer leeren
534     w3_angles = self.IOBuffer3[:]
535     self.IOBuffer3.clear()
536     w3_cosinus = self.cosBuffer[:]
537     self.cosBuffer.clear()
538     w3_sinus = self.sinBuffer[:]
539     self.sinBuffer.clear()
540
541     #####
542     # Senden befehl 4 #
543     #####
544
545     # Damit keine Änderung nach dem Einlesen kommen kann
546     staticInterpol = w4_interpolation
547
548     self.ser.write(w4_befehl.encode("ascii"))
549     time.sleep(0.04)
550     DAT = self.ser.read(4000)
551     DATNEU_FLOAT.clear()
552     DATNEU = DAT.decode("ascii").replace("\x00", ";")
553     for value in DATNEU.split(';'):
554         if (value is not ''):
555             DATNEU_FLOAT.append(float(value))
556
557     # Wiederholtes Senden, falls nichts/zu wenig eingelesen wurde
558     if (len(DATNEU_FLOAT) != (128 + (staticInterpol * 322))):
559         self.ser.flushInput()
560         time.sleep(0.02)
561         self.ser.write(w4_befehl.encode("ascii"))
562         time.sleep(0.02)
563         DAT = self.ser.read(4000)
564         DATNEU_FLOAT.clear()
565         DATNEU = DAT.decode("ascii").replace("\x00", ";")
```

```
566         for value in DATNEU.split(';'):
567             if (value is not ''):
568                 DATNEU_FLOAT.append(float(value))
569
570     # Speichern der Antwort für ein Histogramm
571     if (w4_diagramm == 2):
572         for index in range(0, 64 + (staticInterpol * 161), 1):
573             if (DATNEU_FLOAT[index] > 360.0):
574                 self.IOBuffer4.append(int(DATNEU_FLOAT[index] - 360.0))
575             else:
576                 self.IOBuffer4.append(int(DATNEU_FLOAT[index]))
577
578     # Speichern der Sinus- und Cosinuswerte
579     if (w4_diagramm == 3):
580         #if (w4_diaName == "Kreisplot"):
581         #    w4_interpolation = 0
582         #    staticInterpol = 0
583         for i in range(0, 64 + (staticInterpol * 161), 1):
584             self.cosBuffer.append(DATNEU_FLOAT[i])
585         for i in range(64 + (staticInterpol * 161), 128 + (staticInterpol *
586             322), 1):
587             self.sinBuffer.append(DATNEU_FLOAT[i])
588
589     # Werte übertragen und Buffer leeren
590     w4_angles = self.IOBuffer4[:]
591     self.IOBuffer4.clear()
592     w4_cosinus = self.cosBuffer[:]
593     self.cosBuffer.clear()
594     w4_sinus = self.sinBuffer[:]
595     self.sinBuffer.clear()
```

Quellcode B.3: Backend zu den Filtereinstellungsfenstern.

```

'''
2     Diese Klasse wird von dem Main-Window aufgerufen und ermöglicht
3     die Einstellungen der Filter für eine 8x8 Matrix vorzunehmen.
4     Beim Speichern der Werte werden diese an das Main-Window gesendet.
5     '''
6     class CoeffWindow8(QtWidgets.QDialog):

7
8     # Signal zum Main-Window zum übermitteln der Filtereinstellungen
9     sendData8 = pyqtSignal(int, bool, list)
10
11    #Initialisierung des Filterfensters
12    def __init__(self):
13        QtWidgets.QDialog.__init__(self)
14        self.ui = uic.loadUi("Filtersettings_8.ui", self)
15        self.setFixedSize(530, 245)
16        self.groupBox.setEnabled(False)
17        self.filterValues8 = []
18        # Vorberechnete Filterwerte
19        self.tiefpass = [0.004,0.004,0.004,0.004,0.004,0.043,0.043,0.043,
20                        0.004,0.043,0.140,0.140,0.004,0.043,0.14,0.235]
21        self.bandpass = [1,1,1,1,1,1,1,1,1,1,1,1,1,1,1,1]
22        self.fullFilter = np.zeros(shape=(8,8))

23
24    # Signale der Buttons
25    self.ui.cancelFilter8.clicked.connect(self.close)
26    self.ui.saveFilter8.clicked.connect(self.saveFilter8Settings)
27    self.ui.customFilter8.stateChanged.connect(self.customCoeffsEnable)
28    self.ui.chooseFilter8.currentIndexChanged.connect(self.showKoeffs)
29    self.ui.showFilter8.clicked.connect(self.plotKoeffs)

30
31    # Speichern der Filtereinstellungen und senden an das Hauptfenster
32    def saveFilter8Settings(self):
33        self.custom = self.customFilter8.isChecked()
34        self.filterType = self.chooseFilter8.currentIndex()
35        self.filterValues8.clear()
36        # Speichern der angepassten Filterwerte in Schleife von 0-3,
37        # da die 8x8 Matrix Achsensymmetrisch ist
38        for i in range(4):
39            for j in range(4):
40                # erstellen der SpinBox Widget Namen zum Zugriff auf den Wert
41                self.name = "spinBox_" + str(i) + str(j)
42                label = getattr(self, self.name)
43                # Speichern des Wertes mit 2 Nachkommastellen (float-Fehler)
44                # in der Filterkoeff.-Liste
45                self.filterValues8.append(float("%.2f" % label.value()))
46        # Übermitteln der Werte
47        self.sendData8.emit(self.filterType, self.custom, self.filterValues8)
48        # Schließen des Fensters
49        self.close()

50
51    # Passende Werte in den SpinBoxen anzeigen, je nach Filterwahl
52    def showKoeffs(self):
53        if self.chooseFilter8.currentText() == "Tiefpass":
54            # Q1 der Tiefpass Koeffs anzeigen
55            k = 0
56            for i in range(4):
57                for j in range(4):
58                    # erstellen der SpinBox Widget Namen zum Zugriff auf den Wert
59                    self.name = "spinBox_" + str(i) + str(j)
60                    self.label = getattr(self, self.name)
61                    # Speichern des Wertes mit 2 Nachkommastellen (float-Fehler)
62                    # in der Filterkoeff.-Liste

```

```

        self.ui.label.setValue(self.tiefpass[k])
        k = k + 1
64     elif self.chooseFilter8.currentText() == "Bandpass":
66         # Q1 der Bandpass Koeffs anzeigen
            k = 0
68         for i in range(4):
            for j in range(4):
70             # erstellen der SpinBox Widget Namen zum Zugriff auf den Wert
                self.name = "spinBox_" + str(i) + str(j)
72             self.label = getattr(self, self.name)
                # Speichern des Wertes mit 2 Nachkommastellen (float-Fehler)
74             # in der Filterkoeff.-Liste
                self.ui.label.setValue(self.bandpass[k])
76             k = k + 1

78     # Plotten der derzeitig eingegebenen Koeffizienten
    def plotKoeffs(self):
80         self.filterValues8.clear()
            for i in range(4):
82                 for j in range(4):
                    # erstellen der SpinBox Widget Namen zum Zugriff auf den Wert
84                     self.name = "spinBox_" + str(i) + str(j)
                        label = getattr(self, self.name)
86                         # Speichern des Wertes mit 2 Nachkommastellen (float-Fehler)
                            # in der Filterkoeff.-Liste
88                             self.filterValues8.append(float("%.2f" % label.value()))

90         k = 0
            for i in range(4):
92                 for j in range(4):
                    self.fullFilter[i][j] = self.filterValues8[k]
94                 k = k + 1

96         k = 0
            for i in range(4):
98                 for j in range(7,3,-1):
                    self.fullFilter[i][j] = self.filterValues8[k]
100                k = k + 1

102        k = 0
            for i in range(4,8,1):
104                k = k + 1
                    for j in range(0,8,1):
106                        self.fullFilter[i][j] = self.fullFilter[i-k][j]
                            k = k + 1

108        plt.xlabel('Zeile')
110        plt.ylabel('Spalte')
            plt.title('8x8_Koeffizienten-Matrix')
112            plt.imshow(self.fullFilter)
            plt.colorbar()
114            plt.show()

116    # Eingabefelder für die Koeffs. freigeben, wenn anpassen betätigt
    def customCoeffsEnable(self):
118        if self.customFilter8.isChecked():
            self.groupBox.setEnabled(True)
120        else:
            self.groupBox.setEnabled(False)
122

124    '''
126        Diese Klasse wird von dem Main-Window aufgerufen und ermöglicht
        die Einstellungen der Filter für eine 15x15 Matrix vorzunehmen.
        Beim Speichern der Werte werden diese an das Main-Window gesendet.

```

```

128 '''
129 class coeffWindow15(QDialog):
130     # Signal zum Main-Window zum übermitteln der Filtereinstellungen
131     sendData15 = pyqtSignal(int, bool, list)
132
133     #Initialisierung des Filterfensters
134     def __init__(self):
135         QtWidgets.QDialog.__init__(self)
136         self.ui = uic.loadUi("Filtersettings_15.ui", self)
137         self.setFixedSize(650, 410)
138         self.groupBox.setEnabled(False)
139         self.filterValues15 = []
140         # Speichern der berechneten Filterwerte
141         self.tiefpass = [-0.0028955, -0.0028955, -0.0028955, -0.0028955,
142             -0.0028955, -0.0028955, -0.0028955, -0.0028955, -0.0028955, -0.0028955, -0.0089048,
143             -0.0089048, -0.0089048, -0.0089048, -0.0089048, -0.0089048, -0.0139550, -0.0139550,
144             -0.0139550, -0.0139550, -0.0139550, -0.0139550, -0.0139550, -0.0139550, -0.0139550,
145             -0.0139550, 0.0000000, 0.0000000, 0.0000000, 0.0000000, 0.0000000, 0.0000000,
146             -0.0028955, -0.0089048, -0.0139550, 0.0000000, 0.05117900,
147             0.05117900, 0.05117900, 0.05117900, -0.0028955, -0.0089048, -0.0139550,
148             0.0000000, 0.05117900, 0.13493000, 0.13493000, 0.13493000, 0.13493000,
149             -0.0028955, -0.0089048, -0.0139550, 0.0000000, 0.05117900, 0.13493000,
150             0.21613000, 0.21613000, -0.0028955, -0.0089048, -0.0139550,
151             0.0000000, 0.05117900, 0.13493000, 0.21613000, 0.25000000]
152         self.bandpass = [-0.0028955, -0.0028955, -0.0028955, -0.0028955, -0.0028955,
153             -0.0028955, -0.0028955, -0.0028955, -0.0028955, -0.0028955, -0.0089048,
154             -0.0089048, -0.0089048, -0.0089048, -0.0089048, -0.0089048, -0.0139550,
155             -0.0139550, -0.0139550, -0.0139550, -0.0139550, -0.0139550, -0.0139550,
156             -0.0139550, -0.0139550, 0.0000000, 0.0000000, 0.0000000, 0.0000000, 0.0000000,
157             -0.0028955, -0.0089048, -0.0139550, 0.0000000, 0.05117900,
158             0.05117900, 0.05117900, 0.05117900, -0.0028955, -0.0089048, -0.0139550,
159             0.0000000, 0.05117900, 0.13493000, 0.13493000, 0.13493000, 0.13493000,
160             -0.0028955, -0.0089048, -0.0139550, 0.0000000, 0.05117900, 0.13493000,
161             0.21613000, 0.21613000, -0.0028955, -0.0089048, -0.0139550,
162             0.0000000, 0.05117900, 0.13493000, 0.21613000, 0.0000000]
163
164         self.fullFilter = np.zeros(shape=(15,15))
165
166         # Signale der Buttons
167         self.ui.cancelFilter15.clicked.connect(self.close)
168         self.ui.saveFilter15.clicked.connect(self.saveFilter15Settings)
169         self.ui.customFilter15.stateChanged.connect(self.costumCoeffsEnable)
170         self.ui.chooseFilter15.currentIndexChanged.connect(self.showKoeffs)
171         self.ui.showFilter15.clicked.connect(self.plotKoeffs)
172
173         # Speichern der Filtereinstellungen und senden an das Hauptfenster
174         def saveFilter15Settings(self):
175             self.custom = self.customFilter15.isChecked()
176             self.filterType = self.chooseFilter15.currentIndex()
177             self.filterValues15.clear()
178             # Speichern der angepassten Filterwerte
179             # Schleife geht von 0-7, da die Matrix nicht ganz Achsen-
180             # symmetrisch ist
181             for i in range(8):
182                 for j in range(8):
183                     # erstellen der SpinBox Widget Namen zum Zugriff auf den Wert
184                     self.name = "spinBox_" + str(i) + str(j)
185                     label = getattr(self, self.name)
186                     # Speichern des Wertes mit 2 Nachkommastellen (float-Fehler)
187                     # in der Filterkoeff.-Liste
188                     self.filterValues15.append(float("%.3f" % label.value()))
189
190         # Übermitteln der Werte

```

```
self.sendData15.emit(self.filterType, self.custom, self.filterValues15)
172 # Schließen des Fensters
    self.close()
174
# Passende Werte in den SpinBoxen anzeigen, je nach Filterwahl
176 def showKoeffs(self):
    if self.chooseFilter15.currentText() == "Tiefpass":
178         # Q1 der Tiefpass Koeffs anzeigen
            k = 0
180         for i in range(8):
            for j in range(8):
182                 # erstellen der SpinBox Widget Namen zum Zugriff auf den Wert
                    self.name = "spinBox_" + str(i) + str(j)
184                 self.label = getattr(self, self.name)
                    # Speichern des Wertes mit 2 Nachkommastellen (float-Fehler)
186                 # in der Filterkoeff.-Liste
                    self.ui.label.setValue(self.tiefpass[k])
188                 k = k + 1
            elif self.chooseFilter15.currentText() == "Bandpass":
190                 # Q1 der Bandpass Koeffs anzeigen
                    k = 0
192                 for i in range(8):
                    for j in range(8):
194                         # erstellen der SpinBox Widget Namen zum Zugriff auf den Wert
                            self.name = "spinBox_" + str(i) + str(j)
196                         self.label = getattr(self, self.name)
                            # Speichern des Wertes mit 2 Nachkommastellen (float-Fehler)
198                         # in der Filterkoeff.-Liste
                            self.ui.label.setValue(self.bandpass[k])
200                         k = k + 1

# Plotten der derzeitig eingegebenen Koeffizienten
202 def plotKoeffs(self):
    self.filterValues15.clear()
204     for i in range(8):
        for j in range(8):
206             # erstellen der SpinBox Widget Namen zum Zugriff auf den Wert
                self.name = "spinBox_" + str(i) + str(j)
208             label = getattr(self, self.name)
                # Speichern des Wertes mit 2 Nachkommastellen (float-Fehler)
210             # in der Filterkoeff.-Liste
                self.filterValues15.append(float("%.3f" % label.value()))
212

    k = 0
214     for i in range(8):
        for j in range(8):
216             self.fullFilter[i][j] = self.filterValues15[k]
                k = k + 1
218

    k = 0
220     for i in range(8):
        for j in range(14,6,-1):
222             self.fullFilter[i][j] = self.filterValues15[k]
                k = k + 1
224

    k = 1
226     for i in range(8,15,1):
        k = k + 1
228         for j in range(0,15,1):
            self.fullFilter[i][j] = self.fullFilter[i-k][j]
230             k = k + 1
232

    plt.xlabel('Zeile')
234    plt.ylabel('Spalte')
    plt.title('15x15_Koeffizienten-Matrix')
```

```
236         plt.imshow(self.fullFilter)
237         plt.colorbar()
238         plt.show()

240     # Eingabefelder für die Koeffs. freigeben, wenn anpassen betätigt
241     def costumCoeffsEnable(self):
242         if self.customFilter15.isChecked():
243             self.groupBox.setEnabled(True)
244         else:
245             self.groupBox.setEnabled(False)
```

Quellcode B.4: Backend zum Diagrammfenster und den Plot-Funktionen.

```
'''
2     Die Klasse Window2 stellt das zweite von vier Fenstern
      dar, im dem Diagramme dargestellt werden können.
4     '''
class Window2(QtWidgets.QDialog):
6
      # Initialisierung des Fensters
8     def __init__(self, parent = None):
          super(Window2, self).__init__(parent)
10         self.ui = uic.loadUi("window2.ui", self)
12
          # Klassenvariablen
          self.bottom= None
14         self.top=None
          self.left=None
16         self.right=None
          self.n=None
18         self.data=None
          self.bins=None
20         self.verts=None
          self.patches=None
22         self.X = None
          self.Y = None
24         self.U = None
          self.V = None
26         self.Q = None
          self.cosList = np.zeros(15500)
28         self.sinList = np.zeros(15500)
          self.sc = None
30         self.kreisDataCount = 0
32
          # Einrichten des Layouts
34         self.figure = plt.figure(num = 2)
          self.ax = self.figure.add_subplot(111)
36         self.canvas = FigureCanvas(self.figure)
          self.toolbar = NavigationToolbar(self.canvas, self)
38
          self.buttonPlot = QPushButton('Plot')
40         self.buttonQuit = QPushButton('Schließen')
42
          self.buttonQuit.clicked.connect(self.closewindow)
          self.buttonPlot.clicked.connect(self.plot)
44
          self.horizontalGroupBox = QGroupBox()
46         layoutBtn = QHBoxLayout()
          layoutBtn.addWidget(self.buttonPlot)
48         layoutBtn.addWidget(self.buttonQuit)
          self.horizontalGroupBox.setLayout(layoutBtn)
50
          layout = QVBoxLayout()
52         layout.addWidget(self.toolbar)
          layout.addWidget(self.canvas)
54         layout.addWidget(self.horizontalGroupBox)
56
          self.figure.clf()
          self.ax.cla()
58
          self.setLayout(layout)
60
      # Beim schließen des Fensters den Figurepointer löschen
62     def closewindow(self):
```

```

64         self.close()

66     # Animationsfunktion: Histogramm
67     def aniHistogram(self, i):
68         self.data = np.array(w2_angles)
69         self.n, self.bins = np.histogram(self.data)
70         self.left = np.array(self.bins[:-1])
71         self.right = np.array(self.bins[1:])
72         self.top = self.bottom + self.n
73         self.verts[0::5, 0] = self.left
74         self.verts[0::5, 1] = self.bottom
75         self.verts[1::5, 0] = self.left
76         self.verts[1::5, 1] = self.top
77         self.verts[2::5, 0] = self.right
78         self.verts[2::5, 1] = self.top
79         self.verts[3::5, 0] = self.right
80         self.verts[3::5, 1] = self.bottom

82         self.ax.set_xlim(self.left[0], self.right[-1])
83         self.ax.set_ylim(self.bottom.min(), self.top.max())

84         return [self.patch, ]

86     # Animationsfunktion: Quiver-Plot
87     def aniQuiver(self, i):
88         self.U = np.array(w2_cosinus)
89         self.V = np.array(w2_sinus)
90         self.Q.set_UVC(self.U, self.V)

92         return self.Q,

94     # Animationsfunktion: Scatter-Plot
95     def aniScatter(self, i):
96         if (self.kreisDataCount >= 15275):
97             self.kreisDataCount = 0
98             for cos, sin in zip(w2_cosinus, w2_sinus):
100                 self.cosList[self.kreisDataCount] = cos/(4095) * 3.3
101                 self.sinList[self.kreisDataCount] = sin/(4095) * 3.3
102                 self.kreisDataCount = self.kreisDataCount + 1
103             self.sc.set_offsets(np.c_[self.cosList, self.sinList])

104     # Auswahl des zu plottenden Diagramms
105     def plot(self):

108         # Lokale Variablen
109         self.cosList = np.zeros(15500)
110         self.sinList = np.zeros(15500)
111         self.kreisDataCount = 0
112         self.figure.clf()
113         self.ax.cla()

114

115         # Wenn ein Histogramm geplottet werden soll
116         if (w2_diaName == "Histogramm"):
117             time.sleep(1)
118             self.ax = self.figure.add_subplot(111)
119             # Daten fürs Histogramm
120             self.data = np.array(w2_angles)
121             # Übergabe der Daten an die Histogramm-Funktion
122             self.n, self.bins = np.histogram(self.data)
123             # Die Ecken der Rechtecke
124             self.left = np.array(self.bins[:-1])
125             self.right = np.array(self.bins[1:])
126             #print(len(self.left), len(self.right))
127             self.bottom = np.zeros(len(self.left))

```

```

128         self.top = self.bottom + self.n
130         nrects = len(self.left)
132         nverts = nrects*(1 + 3 + 1)
133         self.verts = np.zeros((nverts, 2))
134         codes = np.ones(nverts, int) * path.Path.LINETO
135         codes[0::5] = path.Path.MOVETO
136         codes[4::5] = path.Path.CLOSEPOLY
137         self.verts[0::5, 0] = self.left
138         self.verts[0::5, 1] = self.bottom
139         self.verts[1::5, 0] = self.left
140         self.verts[1::5, 1] = self.top
141         self.verts[2::5, 0] = self.right
142         self.verts[2::5, 1] = self.top
143         self.verts[3::5, 0] = self.right
144         self.verts[3::5, 1] = self.bottom
146         barpath = path.Path(self.verts, codes)
147         self.patch = patches.PathPatch(barpath, facecolor='green', edgecolor='
            blue', alpha = 0.5)
148         self.ax.add_patch(self.patch)
150         self.ax.set_xlim(self.left[0], self.right[-1])
151         self.ax.set_ylim(self.bottom.min(), self.top.max())
152
153         self.ax.set_xlabel('Winkel [°]')
154         self.ax.set_ylabel('Anzahl')
155         self.ax.set_title('Histogramm der Sensor-Winkel')
156         self.ax.grid(True)
158
159         # Starten der Animate-Funktion
160         self.ani2 = animation.FuncAnimation(self.figure, self.aniHistogram)
161         self.canvas.draw()
162
163         # Wenn ein Quiver geplottet werden soll
164         elif (w2_diaName == "Quiver-Plot"):
165             time.sleep(1)
166             self.ax = self.figure.add_subplot(111)
167             #print("Länge: ", len(w1_cosinus), len(w1_sinus))
168             self.X = np.arange(1,(9 + (7 * w2_interpolation)),1)
169             self.Y = np.arange(1,(9 + (7 * w2_interpolation)),1)
170             self.X, self.Y = np.meshgrid(self.X, self.Y)
171             self.U = np.array(w2_cosinus)
172             self.V = np.array(w2_sinus)
174
175             # Füllen der Quiver-Funktion
176             self.Q = self.ax.quiver(self.X, self.Y, self.U, self.V, color='r')
177             self.ax.set_xlim(0,(9 + (7 * w1_interpolation)))
178             self.ax.set_ylim(0,(9 + (7 * w1_interpolation)))
179             self.ax.set_aspect('equal', 'box')
181
182             self.ax.set_xlabel('Zeile')
183             self.ax.set_ylabel('Spalte')
184             self.ax.set_title('Quiver-Plot der Sensormatrix')
185             self.ax.grid(True)
186
187             # Starten der Animate-Funktion
188             self.ani2 = animation.FuncAnimation(self.figure, self.aniQuiver)
189             self.canvas.draw()
190
191         # Wenn ein Scatter geplottet werden soll
192         elif (w2_diaName == "Kreisplot"):
193             time.sleep(1)
194             self.ax = self.figure.add_subplot(111)

```

```
192         self.kreisDataCount = 0
193         for cos, sin in zip(w1_cosinus, w1_sinus):
194             self.cosList[self.kreisDataCount] = cos/(4095) * 3.3
195             self.sinList[self.kreisDataCount] = sin/(4095) * 3.3
196             self.kreisDataCount = self.kreisDataCount + 1
197
198         # Füllen der Scatter-Funktion
199         self.sc = self.ax.scatter(self.cosList, self.sinList, c="g", alpha=0.5,
200                                 marker=".")
201         self.ax.set_xlim(-0.4,0.4)
202         self.ax.set_ylim(-0.4,0.4)
203         self.ax.set_aspect('equal', 'box')
204
205         self.ax.set_xlabel('Cosinus')
206         self.ax.set_ylabel('Sinus')
207         #self.ax.set_legend(loc='upper left')
208         self.ax.set_title('Scatter-Plot der Sensormatrix')
209         self.ax.grid(True)
210
211         # Starten der Animate-Funktion
212         self.ani2 = animation.FuncAnimation(self.figure, self.aniScatter)
213         self.canvas.draw()
```

Quellcode B.5: Mein-Funktion, globale Variablen und Importe.

```
from __future__ import unicode_literals
2
import sys
4 import time
import os
6 import matplotlib
matplotlib.use('Qt5Agg')
8 import matplotlib.pyplot as plt
import matplotlib.animation as animation
10 import matplotlib.path as path
import matplotlib.patches as patches
12 import random
import serial
14 import numpy as np

16 from matplotlib.pylab import *
from serial import Serial
18 from serial import SerialException
from numpy import arange, sin, pi
20 from PyQt5 import QtGui, uic, QtWidgets, QtPrintSupport
from PyQt5.QtCore import pyqtSignal, QObject, QThread, QTimer
22 from PyQt5.QtWidgets import *
from matplotlib.backends.backend_qt5agg import FigureCanvasQTAgg as FigureCanvas
24 from matplotlib.backends.backend_qt5agg import NavigationToolbar2QT as
NavigationToolbar
from matplotlib.figure import Figure

26
# Globale Variablen
28 angle = 0.0

30 # Fenster 1
w1_befehl = "3000r"
32 w1_sinus = []
w1_cosinus = []
34 w1_diagramm = 0
w1_interpolation = 0
36 w1_filtertype = 0
w1_filter = []
38 w1_angles = []
w1_anpassen = 0
40 w1_diaName = ""
w1_kreisDataCount = 1
42

# Fenster 2
44 w2_befehl = "3000r"
w2_sinus = []
46 w2_cosinus = []
w2_diagramm = 0
48 w2_interpolation = 0
w2_filtertype = 0
50 w2_filter = []
w2_angles = []
52 w2_anpassen = 0
w2_diaName = ""
54 w2_kreisDataCount = 1

56 # Fenster 3
w3_befehl = "3000r"
58 w3_sinus = []
w3_cosinus = []
60 w3_diagramm = 0
w3_interpolation = 0
```

```
62 w3_filtertype      = 0
   w3_filter         = []
64 w3_angles         = []
   w3_anpassen       = 0
66 w3_diaName        = 0
   w3_kreisDataCount = 1
68
   # Fenster 4
70 w4_befehl         = "3000r"
   w4_sinus          = []
72 w4_cosinus        = []
   w4_diagramm       = 0
74 w4_interpolation = 0
   w4_filtertype     = 0
76 w4_filter         = []
   w4_angles         = []
78 w4_anpassen       = 0
   w4_diaName        = ""
80 w4_kreisDataCount = 1

82
   ...
84     main() Klasse, die für einen sauberen Programmstart aufgerufen wird
       und die QApplication initialisiert und das erste Fenster.
86     ...
   class main():
88         app = QtWidgets.QApplication(sys.argv)
90         # initialisierung des Kalibrierungsfensters
           calib = CalibrationWindow()
92         # öffnen des Kalibrierungsfensters
           calib.show()
94
           sys.exit(app.exec_())
96
98     ...
       Überleitung in die main() Funktion
100     ...
   if __name__ == "__main__":
102         main()
```

C Berechnungen mit Octave

Quellcode C.1: Berechnung der Filterkoeffizienten.

```
%%%%%%%%%%%%%%%%%%%%%%%%%%%%%%%%%%%%%%%%%%%%%%%%%%%%%%%%%%%%%%%%%%%%%%%%%
2  %       Datum: 24.07.2018                                     %
   %       Autor: Simon Rindelaub                               %
4  %       Name : filterkoeff_berechnung.m                       %
   %%%%%%%%%%%%%%%%%%%%%%%%%%%%%%%%%%%%%%%%%%%%%%%%%%%%%%%%%%%%%%%%%%%%%%%%%%
6
   close all
8  clear all
   clc
10
   tau = 100 * 10^-6;      %Timeconstant tau
12  fs = 80 * 10^3;       %Samplingfreq.
   fc = 1/tau;            %Grenzfrequenz Durchlassbereich
14  Omega_C = (2 * pi * fc) / fs;
   % N=8                  % Größe der Filtermatrix 8x8
16  N = 15;               % Größe der Filtermatrix 15x15
   buff = (N-1)/2;
18
   w = zeros(N,N);
20  h1 = zeros(N,N);
22  for j = 1 : N
       for i = 0 : N-1
24     % Berechnung der Fensterkoeffizienten
       w(i+1,j) = 0.54 + 0.46 * cos((2 * pi * ((i)-buff)) / N);
26
       % Berechnung der idealen Tiefpasskoeffizienten
28     if i == ((N-1)/2)
           h1(i+1,j) = Omega_C/pi;
30     else
           h1(i+1,j) = sin(((i) - buff) * Omega_C) / (((i) - buff) * pi);
32     end
       end
34  end
36  % Multiplikation von Fenster- und Filterfunktion
   h2 = h1 * w;
```

D Grafiken und Schaltpläne

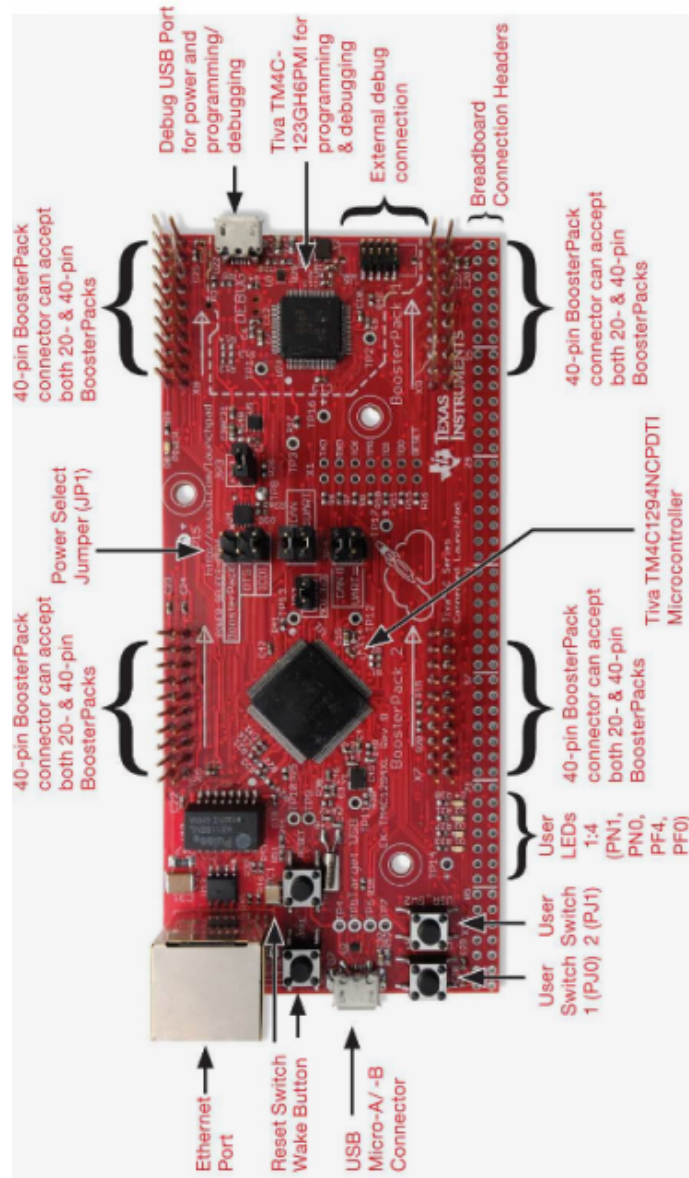


Abbildung D.1: Pinbelegung des Tiva Boards TM4C1294 [7].

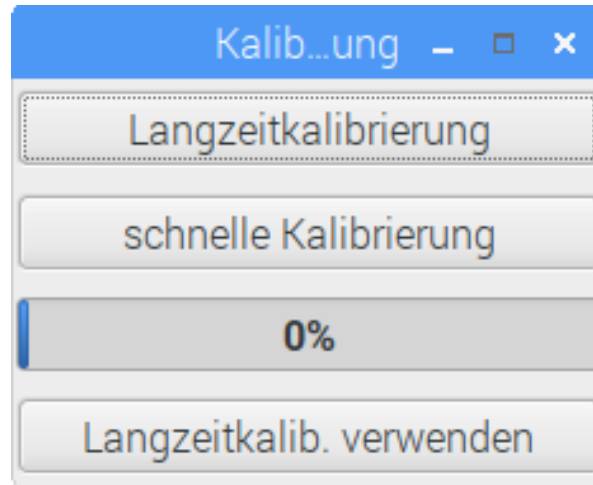


Abbildung D.2: Fenster zum Durchführen oder Laden einer Kalibrierung.

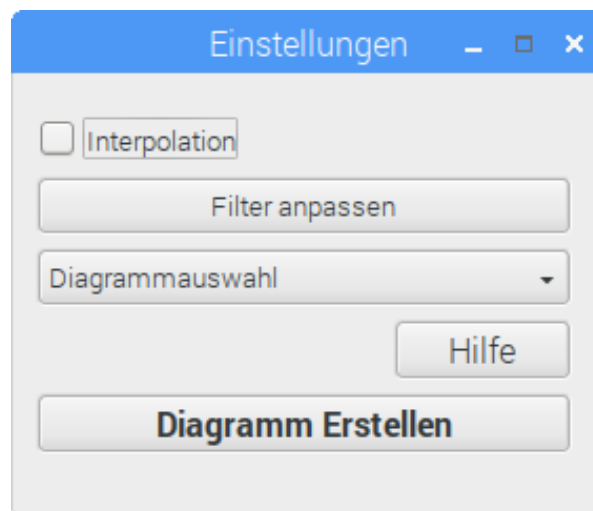


Abbildung D.3: Hauptfenster für grundlegende Einstellungsmöglichkeiten.

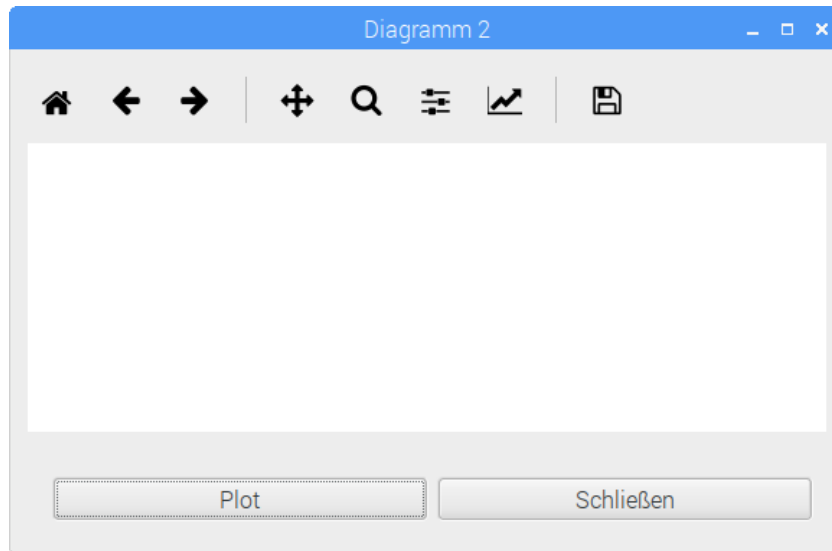


Abbildung D.4: Beispiel eines Diagrammfensters.

Abbildung D.5: Einstellungsfenster für eine 8×8 Filtermatrix.

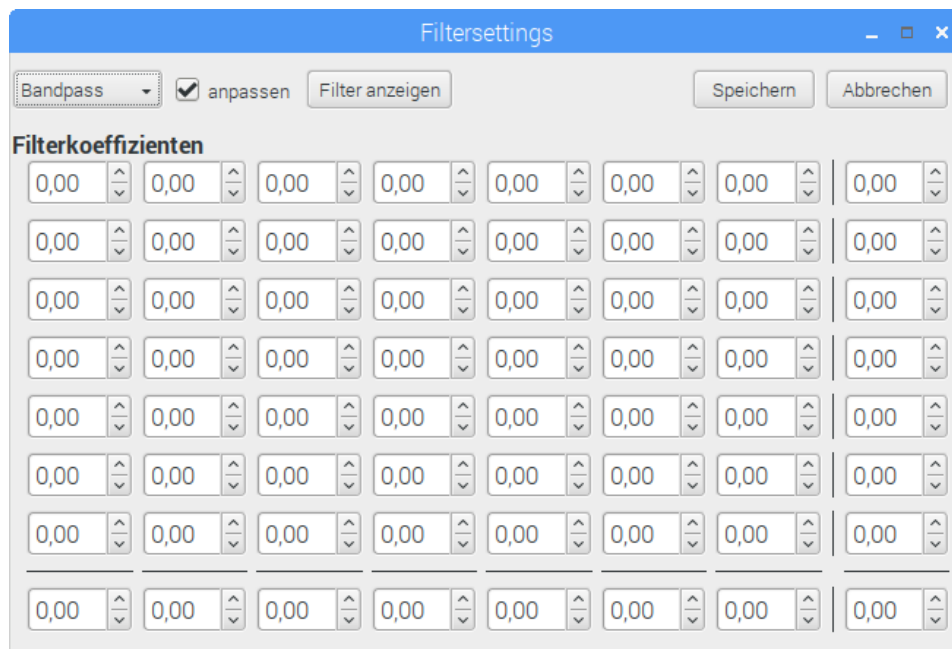


Abbildung D.6: Einstellungsfenster für eine 15×15 Filtermatrix.



Abbildung D.7: 15kA/m Halbacharray zum durchführen der Langzeitmessung.



Abbildung D.8: Quadrupol zum durchführen der schnellen Kalibrierung.

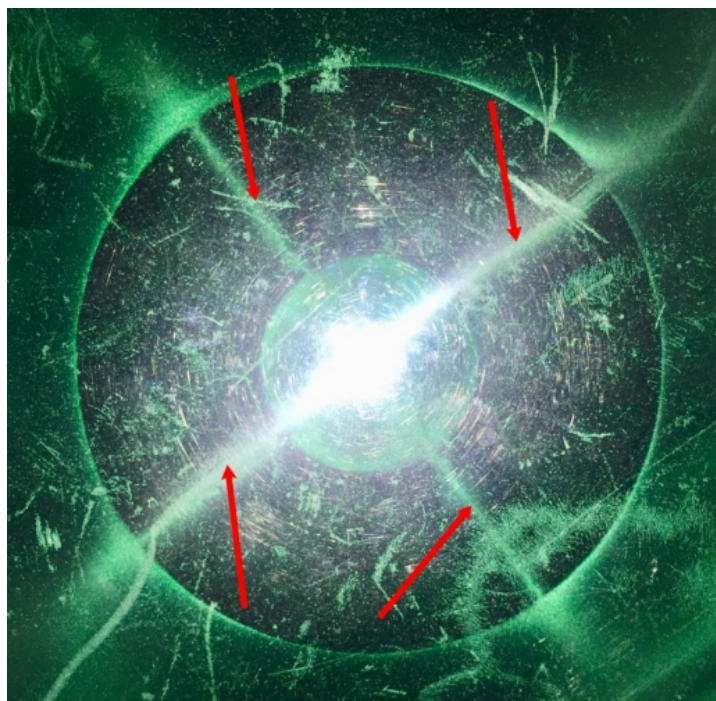


Abbildung D.9: Quadrupol mit Metallspanfolie zur Visualisierung der Feldlinien.

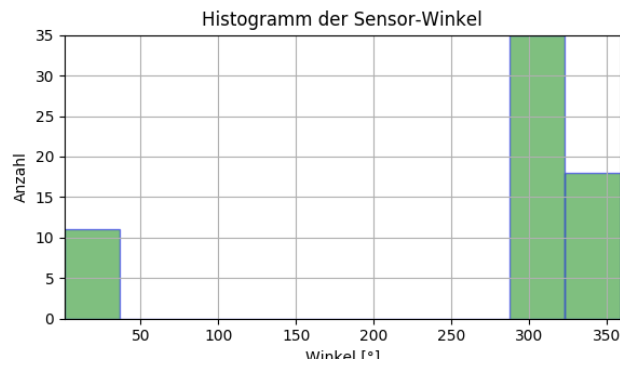


Abbildung D.10: Aussteuerung von 0° bis 360° des Histogramms für eine 8 × 8 Matrix.

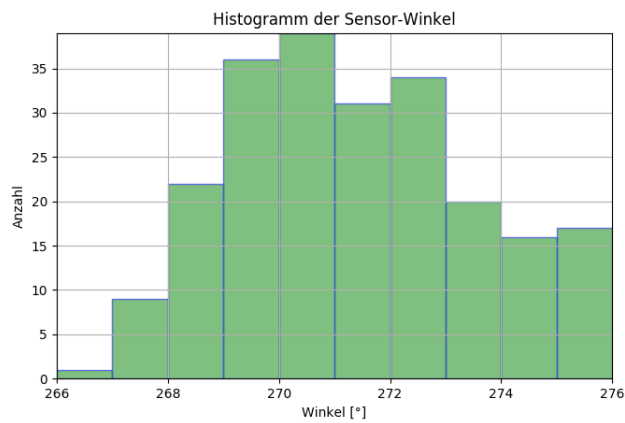


Abbildung D.11: Histogramm für eine 15 × 15 Matrix ohne Filterung.

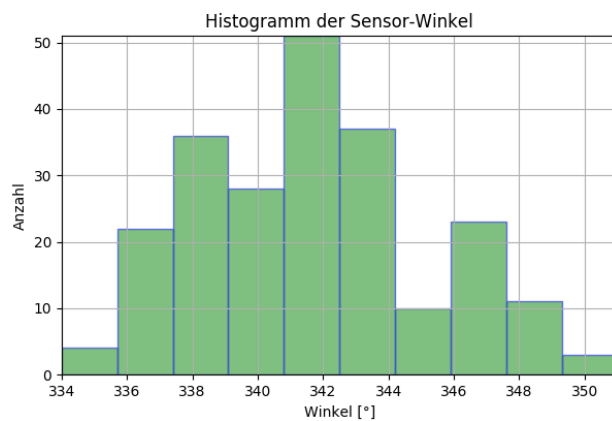
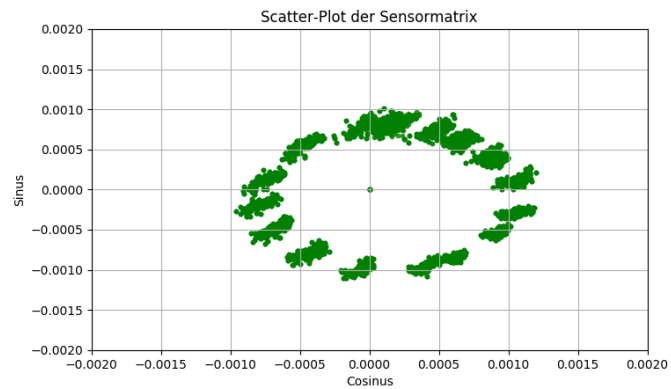
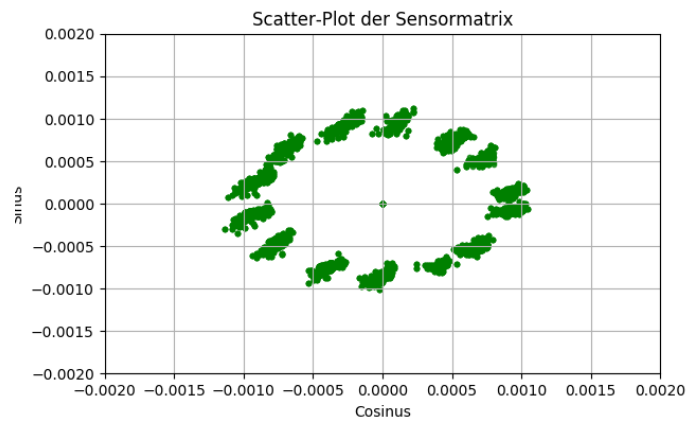
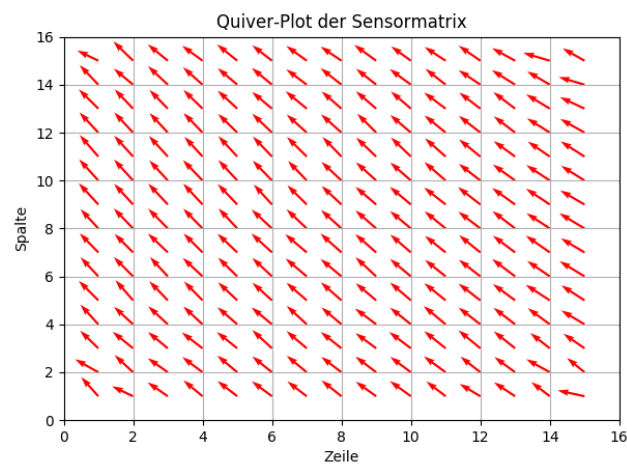


Abbildung D.12: Histogramm für eine 15 × 15 Matrix mit Bandpass-Filterung.

Abbildung D.13: Scatter-Plot einer 15×15 Matrix mit Bandpass.Abbildung D.14: Scatter-Plot einer 15×15 Matrix mit Tiefpass.Abbildung D.15: Quiver-Plot einer 15×15 Matrix mit Tiefpass.

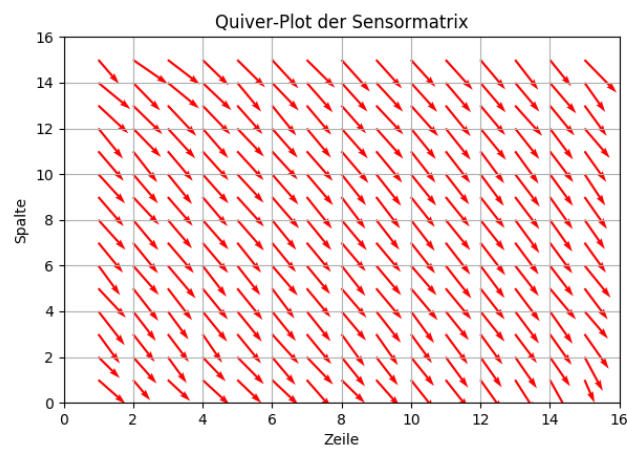


Abbildung D.16: Quiver-Plot einer 15×15 Matrix mit Bandpass.

E Bedienungsanleitung



BEDIENUNGSANLEITUNG

Für das Demonstrationssystem des
Sensor-Arrays im ISAR Projekt

Simon Rindelaub

Department Informations- und Elektrotechnik
der Fakultät Technik und Informatik
der Hochschule für Angewandte Wissenschaften Hamburg

Vorwort

Hamburg, den 26.09.2018

Diese Anleitung wurde im Rahmen der Bachelorarbeit „Signalverarbeitung für magnetoresistive Sensor-Arrays mit Controller und Einplatinen-Computer“ erstellt.

Es wird keine Gewährleistung für die Richtigkeit aller Angaben übernommen und der Nutzer wird dazu angehalten, diese vor der Umsetzung kritisch zu prüfen.

Das Gesamtsystem wurde lediglich in Betrieb genommen und nicht ausgiebig getestet, da es sich um einen Prototyp handelt. Es können daher noch Fehler in Soft- und Hardware vorhanden sein. Eine Liste von Verbesserungsvorschlägen und bekannten Fehlern ist in der Bachelorarbeit im Kapitel „Zusammenfassung und Ausblick“ angegeben.

Das Gesamtsystem wurde mit den in dieser Anleitung verwendeten Controllern und Softwareversionen für die Controller betrieben. Bei Abweichungen dazu kann ein Funktionieren nicht gewährleistet werden.

Inhalt

Systemvoraussetzungen	1
Software	1
Hardware	1
Aufbau des Systems	2
Programmstart	3
Kalibrierungsfenster	4
Langzeitkalibrierung	5
Schnelle Kalibrierung	6
Hauptfenster	7
Filtereinstellungsfenster	8
Diagrammfenster	10
Histogramm	10
Quiver-Plot	11
Scatter-Plot	12
Anhang	13

Systemvoraussetzungen

Software

- Auf dem Raspberry Pi ist Raspian in der Version XY installiert
- Die Software auf dem Mikrocontroller ist auf der CD im Ordner „Software Tiva-Board“ zu finden
- Der C-Code wurde mit dem Code Composer Studio v6 8.0.0 auf eine PC mit Ubuntu v17.04 entwickelt
- Der Python-Code befindet sich auf der CD im Ordner „Software Raspberry Pi“
- Der Python-Code wurde auf dem Raspberry Pi mit der IDE Geany 1.29 entwickelt
- Eine Liste der installierten Pakete auf dem Raspberry Pi ist im Anhang einzusehen

Hardware

- Tiva Board TM4C1294
- TMR Sensormatrix mit NVE AAT00-10E Sensoren
- Raspberry Pi 3 Model B
- Mini-USB Kabel
- Netzteil mit 5V Mini USB Versorgung
- HDMI Kabel
- USB-Maus
- USB-Tastatur
- Monitor mit HDMI Eingang
- Netzkabel für den Monitor

Aufbau des Systems

Die Sensorplatine wird mit der langen Pinleiste auf der langen Pinleiste des Tiva-Boards fixiert, sodass die Platinen sich übereinander befinden. In den „Debug“-Eingang des Tiva-Boards wird das Mini-USB Kabel eingesteckt und mit dem Raspberry Pi verbunden. An zwei weitere USB-Steckplätzen werden die Maus und die Tastatur angeschlossen. Das HDMI Kabel verbindet den Raspberry Pi und den Monitor. Es kann für den Monitor auch ein Adapter von HDMI zu VGA/DVI verwendet werden. Der Aufbau ist in Abbildung 1 dargestellt.

Zum Schluss wird der Raspberry Pi mit der Stromversorgung verbunden. Dann startet das System.

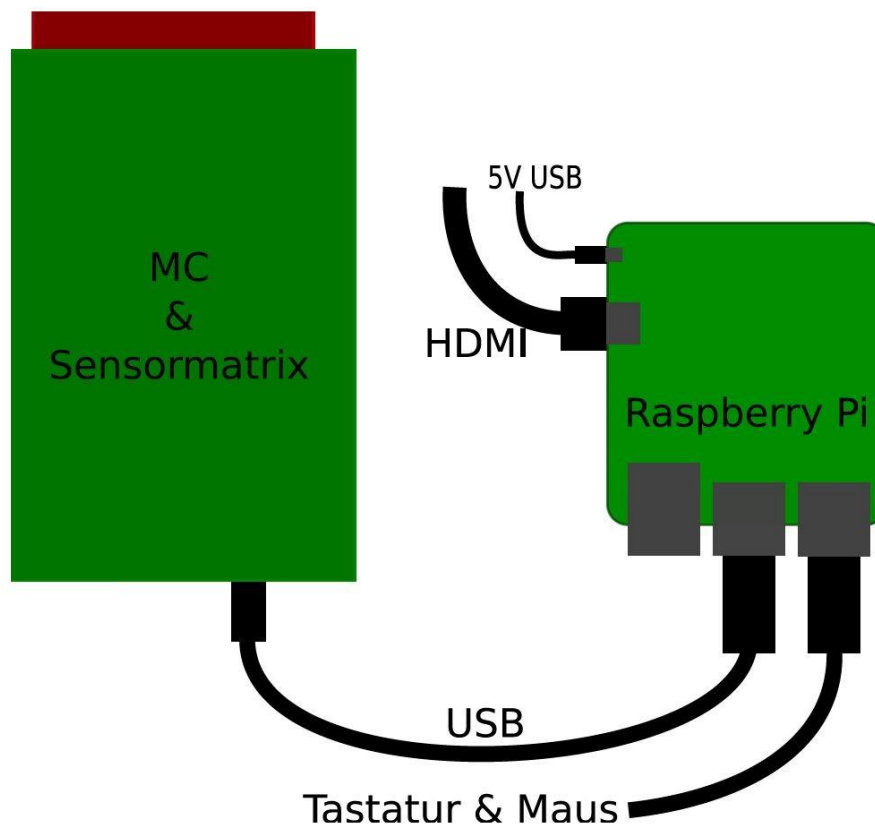


Abbildung 1: Systemaufbau des Controllers und Einplatinen-Computers

Programmstart

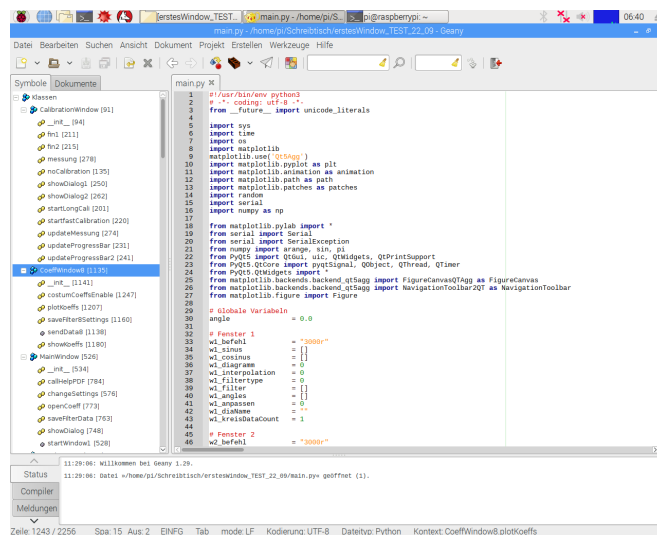
Nachdem der Raspberry Pi hochgefahren ist, wird eine Meldung zur SSH Verbindung angezeigt. Diese kann geschlossen werden, weil das Standardpasswort bestehen bleiben soll.

In dem Ordner „Python GUI Bachelorarbeit“ befinden sich alle notwendigen Dateien. Darunter die .txt Files für den Offset, die Layouts der Fenster und der Python Programmcode. Mit einem Rechtsklick auf die Datei „main.py“ wird ein Auswahlm Menü angezeigt. Hier wird auf öffnen mit „Geany“ geklickt. Abbildung 2 zeigt den Bildschirm, den man jetzt sehen sollte.

Zum Programmstart geht man nun wie folgt vor:

1. Klicken auf den Reiter Erstellen > Kommandos zum Erstellen konfigurieren. Hier wird überprüft ob in den Felder der Befehl mit „python3“ ausgeführt wird, siehe Abbildung 3
2. Durch Schließen des Einstellungsfensters werden die Änderungen gespeichert.
3. Mit klicken auf den Button „Build“ (markiert in Abbildung 4) wird der Code ausgeführt

Nachfolgend werden die einzelnen Fenster mit ihren Auswahlmöglichkeiten erläutert.



```
1 #!/usr/bin/env python3
2 # -*- coding: utf-8 -*-
3 from __future__ import unicode_literals
4
5 import sys
6 import time
7
8 import matplotlib
9 matplotlib.use('Qt5Agg')
10 import matplotlib.pyplot as plt
11 import matplotlib.animation as animation
12 import matplotlib.path as path
13 import matplotlib.patches as patches
14 import random
15 import serial
16
17 import numpy as np
18
19 from matplotlib.pyplot import *
20 from serial import Serial
21 from numpy import arange, sin, pi
22 from PyQt5 import QtCore, QtWidgets, QtPrintSupport
23 from PyQt5.QtCore import pyqtSignal, QObject, QThread, QTimer
24 from PyQt5.QtWidgets import *
25 from matplotlib.backends.backend_qt5agg import FigureCanvasQTAgg as FigureCanvas
26 from matplotlib.backends.backend_qt5agg import NavigationToolbar2QT as NavigationToolbar
27 from matplotlib.figure import Figure
28
29 # Globale Variablen
30
31 angle = 0.0
32
33 # Fenster 1
34 w1_befehl = "3000r"
35 w1_sinus = []
36 w1_cosinus = []
37 w1_interpolation = 0
38 w1_filtertype = 0
39 w1_filter = 0
40 w1_analog = 0
41 w1_angular = 0
42 w1_cislausgabe = 1
43 w1_kreisdatapoint = 1
44
45 # Fenster 2
46 w2_befehl = "3000r"
```

Abbildung 2: Startbildschirm nach dem Öffnen von GEANY

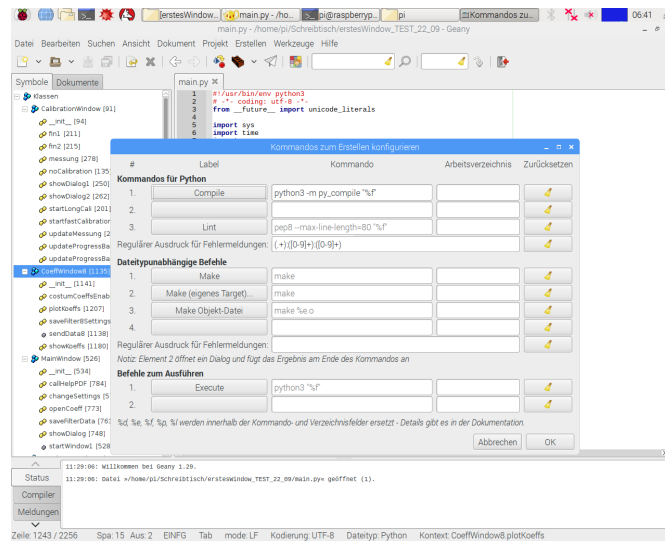


Abbildung 3: Einstellungen für ein Python3 Skript

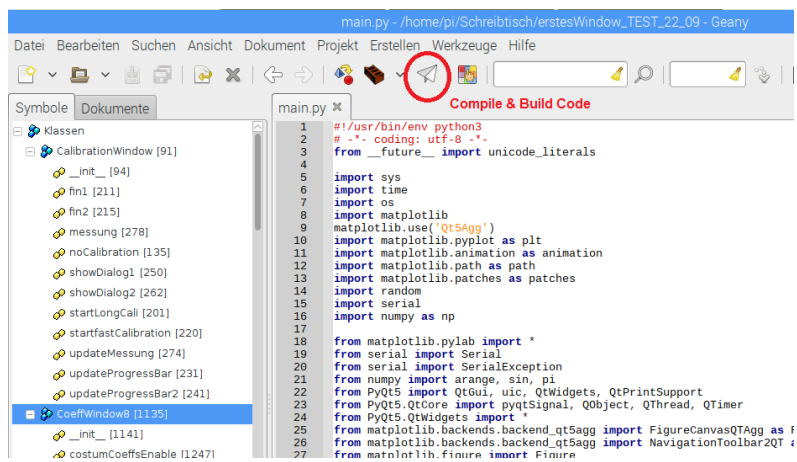


Abbildung 4: Button zum Compilieren und Starten des Programms

Kalibrierungsfenster

Das Kalibrierungsfenster dient dazu, den Offset der Sensoren zu kalibrieren. Dazu gibt es zwei Möglichkeiten. Mit der **Langzeitkalibrierung** wird alle 15° eine Messung durchgeführt und am Ende der Mittelwerte über alle Messungen gebildet. Dadurch wird für spätere Rechnungen ein individueller Offset von jedem Sensor abgezogen.

Die **schnelle Kalibrierung** ist eine „one-shot“ Aufnahme und es wird mit dem Mittelwert über alle Sensoren gerechnet. Damit fallen Ausreißer deutlich mehr auf die anderen Sensoren zurück.

Mit dem Button „**Langzeitkalib. verwenden**“ wird direkt zum Hauptfenster gewechselt. Vorher werden jedoch die Werte der letzten Langzeitkalibrierung aus den .txt Dateien an den Mikrocontroller gesendet.

In Abbildung 5 ist das Kalibrierungsfenster mit den Buttons dargestellt.

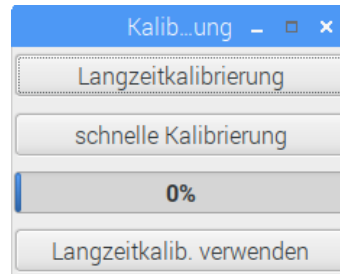


Abbildung 5: Kalibrierungsfenster mit Bedienflächen

Langzeitkalibrierung

Durch diese Kalibrierung wird der Nutzer vom Programm geführt. Es wird ein Dialog-Fenster angezeigt, wo die Anweisungen ausgegeben werden. Vor einer Messung hat man 3 Sekunden Zeit, das Halbacharray um 15° zu drehen. Dann wird eine Messung durchgeführt und der Count-Down von neuem gestartet. Das Halbacharray ist in Abbildung 6 dargestellt. Dieses wird im Laufe der Kalibrierung um 360° über der Sensormatrix rotiert. Somit finden 24 Messungen statt.



Abbildung 6: 15kA/m Halbacharray zur Kalibrierung

Schnelle Kalibrierung

Vor dem Start der Kalibrierung muss der Quadrupol, abgebildet in Bild 7, bereits über den Sensoren platziert werden. Bei betätigen des Buttons **schnelle Kalibrierung**, wird die Messung direkt durchgeführt.



Abbildung 7: Quadrupol zur "one-shot" Kalibrierung

Hauptfenster

Das Hauptfenster, dargestellt in Abbildung 8, steuert jegliche Einstellungsmöglichkeiten.

Mit der Checkbox **Interpolation** wird die eigentliche 8x8 Matrix virtuell auf eine 15x15 Matrix erweitert. Damit gibt es dann 225 Sensoren, deren Messwerte in den Diagrammen dargestellt werden können. Wenn diese Box gecheckt ist, wird bei den Filtereinstellungen ein größeres Fenster geöffnet, um die Einstellungen für die 15x15 Matrix vornehmen zu können.

Unter dem Drop-Down Menü zur **Diagrammauswahl** können drei verschiedene Diagramme ausgewählt werden. Darauf wird im Kapitel Diagrammfenster weiter eingegangen.

Eine Schaltfläche, die ein weiteres Fenster öffnet, ist der Button **Filter anpassen**. Das anschließend geöffnete Fenster wird in Kapitel „Filtereinstellungsfenster“ näher beschrieben.

Der Button **Hilfe** hat zu dieser Anleitung geführt.

Mit dem letzten Button **Diagramm Erstellen**, wird erst einmal überprüft, ob bereits vier Fenster geöffnet sind. Ist dies nicht der Fall werden die Einstellungen übernommen und das Diagrammfenster wird geöffnet.

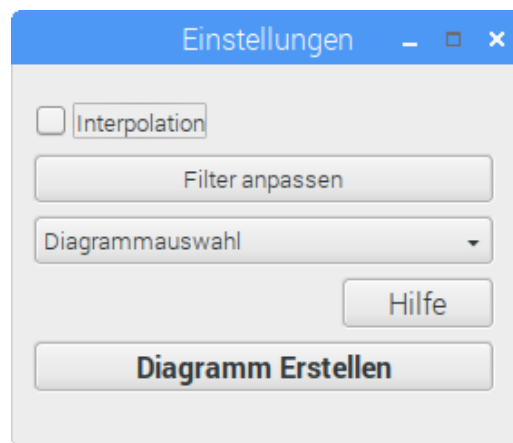


Abbildung 8: Hauptfenster mit Schaltflächen

Filtereinstellungsfenster

Dieses Fenster dient der alleinigen Einstellung für die Signalfilterung. Wenn hier keine Änderungen vorgenommen werden, werden die Messwerte lediglich offsetbereinigt.

Das Auswahlm Menü **Filter wählen** bietet die Möglichkeit der Wahl zwischen Tiefpass- und Bandpassfilterung. Die Koeffizienten dafür sind bereits berechnet worden und werden in dem unteren Feld angezeigt. Bei einer 8x8 Matrix wird ein 4x4 Feld angezeigt, wie in Abbildung 9 dargestellt, da die Filtermatrix X- und Y-Achsen-Symmetrisch ist. Zur Übersicht wird daher nur ein Viertel aller Werte angezeigt. Für die Filterung werden diese Werte in die restliche Matrix übertragen. Veranschaulicht wird dies in Abbildung 11, für eine 8x8 Matrix und in Abbildung 12 für eine 15x15 Matrix. Für eine 15x15 Matrix wird hingegen ein 8x8 Feld zur Bearbeitung angezeigt, wie in Abbildung 10 dargestellt. Die siebte Zeile und die siebte Spalte kommen nur einmal mit den Werten in der Matrix vor. Dafür gilt die Symmetrie für den Rest des Quadranten. Quadrant eins wird in Quadrant zwei kopiert und anschließend beide in den Quadranten drei.



Abbildung 9: Darstellung des Einstellungsfenster für eine 8x8 Matrix

Die Checkbox **Anpassen** muss gesetzt werden, wenn die Koeffizienten manuell angepasst werden sollen. Dann werden die Felder für eine Eingabe freigegeben.

Mit dem Button **Filter anzeigen** werden die Koeffizienten in einem Plot visualisiert. Man kann direkt die getätigte Eingabe überprüfen. Mit einer Farbskala ist eine Zuordnung von Farbe und Wert sofort möglich.



Abbildung 10: Darstellung des Einstellungsfenster für eine 15x15 Matrix

Mit der Schaltfläche **Speichern** werden die alle Einstellungen übernommen und das Fenster wird geschlossen.

Durch **Abbrechen** wird das Fenster ohne Speicherung geschlossen.

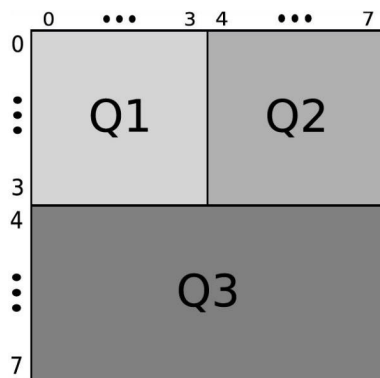


Abbildung 11: Darstellung des Kopierens der Quadranten bei einer 8x8 Matrix

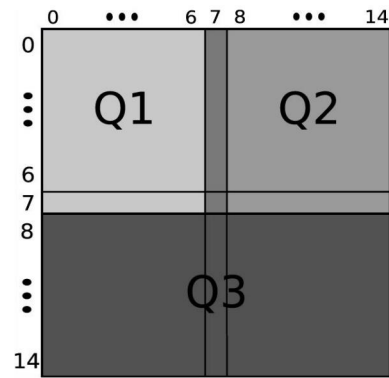


Abbildung 12: Darstellung des Kopierens der Quadranten bei einer 15x15 Matrix

Diagrammfenster

Die Diagrammfenster sind für das Darstellen des Plots zuständig. In Abbildung 13 ist zu sehen, dass das Fenster nur zwei Buttons benötigt. Mit dem Button **Plot** werden die Eingabedaten geladen und der gewünschte Plot dargestellt.

Mit der Schaltfläche **Abbrechen** wird das Fenster wieder geschlossen.

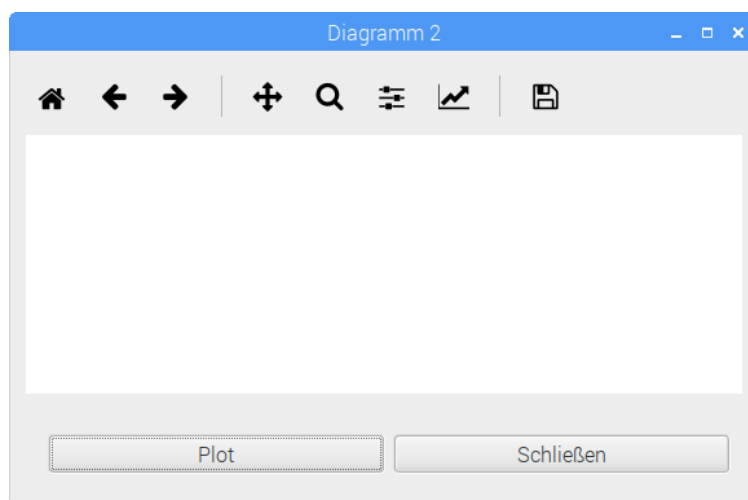


Abbildung 13: Beispiel eines Diagrammfensters

Die Toolbar von Matplotlib ist am oberen Fensterrand positioniert. Hier kann in die Grafik gezoomt werden, der Sichtbereich verschoben, Auflösungseinstellungen vorgenommen oder der Graf als Bild gespeichert werden.

Nachfolgende Diagramme sind in der Auswahl möglich. Es wird kurz erklärt was dargestellt wird und ein Beispielplot gezeigt.

Histogramm

Bei einem Histogramm wird die relative Anzahl in einem Wertebereich vorkommender zahlen angegeben. Die wird durch die Höhe des Balkens angegeben. Die Breite gibt den Wertebereich an.

Bei dem Histogramm werden die mit dem CORDIC berechneten Winkel der Sensoren angegeben. Die

Streuung kann hier sehr gut beobachtet werden. Ein Beispiel von dem Raspberry Pi ist in Abbildung 14 dargestellt.

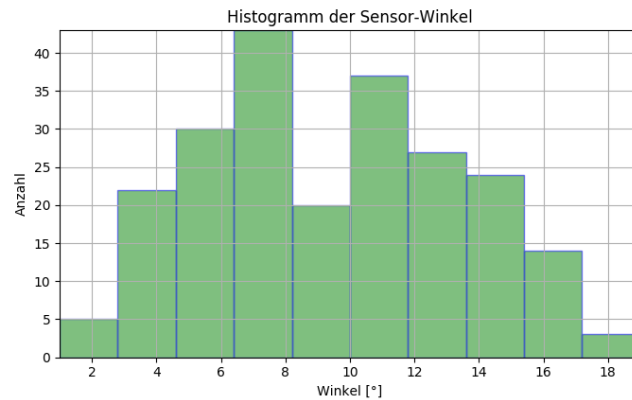


Abbildung 14: Beispiel eines Histogramm mit 15x15 Sensoren

Quiver-Plot

Mit einem Quiver-Plot können Feldlinien und Feldstärken dargestellt werden. Dieses geschieht mit Pfeilen. Die Länge des Pfeils ist proportional zur Signalstärke und die Richtung des Pfeils gibt den Winkel des Feldes an. Diese Informationen werden aus den Messdaten der Sinus- und Cosinussignale gewonnen. Ein Pfeil steht für einen Sensor.

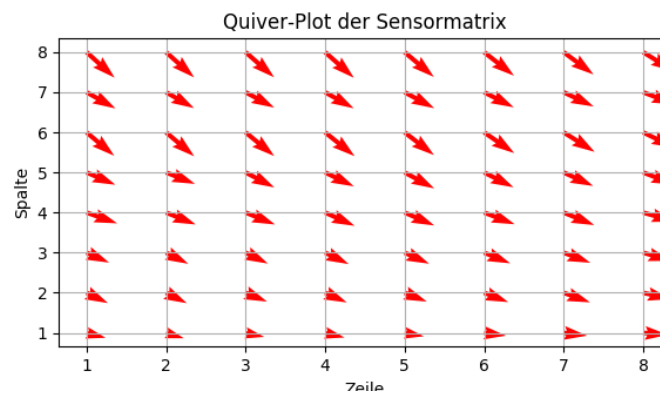


Abbildung 15: Beispiel eines Quiver-Plots mit 8x8 Sensoren

Scatter-Plot

Der Scatter Plot stellt für zwei übergebene Arrays die index-gleichen Werte in einem XY-Diagramm als Punkte dar. Diese Punkte-Wolken sollen sich nach einem vorigen Offsetsausgleich auf einer Kreisbahn um den Nullpunkt bewegen. Jeder Sensor wird für den jeweiligen Messzeitpunkt als Punkt in dem Koordinatensystem dargestellt. Somit können auffällige Streuungen der Sensoren oder eines einzelnen Sensors festgestellt werden. Ein Punkt einer Wolke steht für einen Sensor.

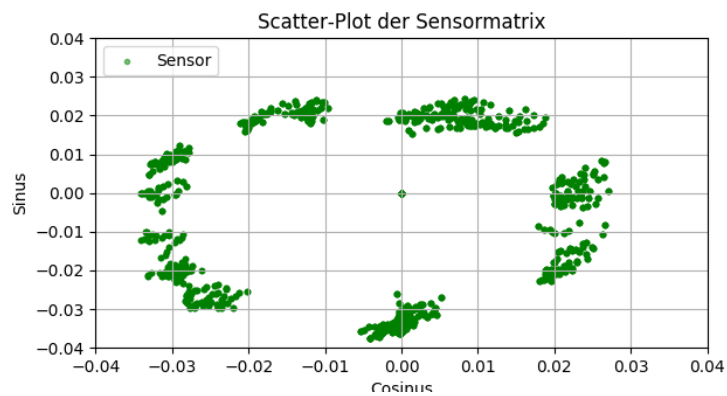


Abbildung 16: Beispiel eines Scatter-Plots mit 8x8 Sensoren

Anhang

Liste der wichtigen Python Bibliotheken:

- python3-matplotlib 2.0.0+dfsg1
- python3-numpy 1:1.12.1-3
- python3-pip 9.0.1-2+rpt2
- python3-pyqt5 5.7+dfsg-5
- python3-serial 3.2.1-1
- qt5-default 5.7.1+dfsg-3
- qt5-gtk-platfo 5.7.1+dfsg-3
- qt5-qmake:armh 5.7.1+dfsg-3
- qt5-style-plug 5.0.0+git16.

F CD

Auf der beigefügten CD befinden sich sämtlich Programme, Messdaten und Benutzerhandbücher, die für diese Arbeit erstellt bzw. verwendet worden. Abbildung F.1 zeigt die Ordnerstruktur, wie sie auf der CD vorhanden ist.

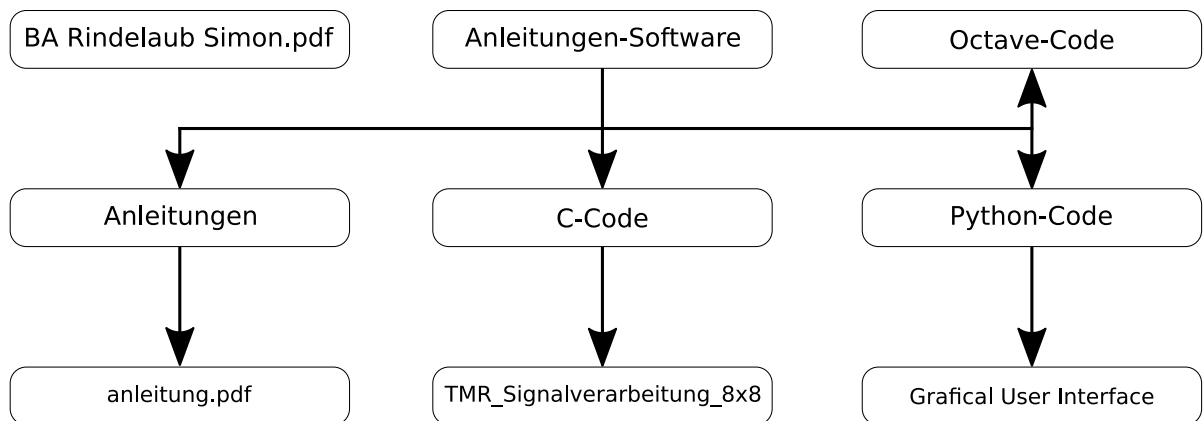


Abbildung F.1: Ordnerstruktur der beigefügten CD.

Selbstständigkeitserklärung

Hiermit versichere ich, Simon Karl Eduard Rindelaub, dass ich die vorliegende Arbeit im Sinne der Prüfungsordnung nach §16(5) APSO-TI-BM ohne fremde Hilfe selbstständig verfasst und nur die angegebenen Hilfsmittel benutzt habe. Wörtlich oder dem Sinn nach aus anderen Werken entnommene Stellen habe ich unter Angabe der Quellen kenntlich gemacht.

Hamburg, 26. September 2018